REPUBLIQUEALGERIENNEDEMOCRATIQUEETPOPULAIRE MINISTERE DE L'ENSEIGNEMENT SUPERIEUR ET DE LA RECHERCHE SCIENTIFIQUE

UNIVERSITESALAHBOUBNIDERCONSTANTINE3



FACULTEDEGENIEDESPROCEDES

DEPARTEMENT DE GENIE PHARMACEUTIQUE

N°d'ordre:	
Série :	

Mémoire de Master / Projet Start-up dans le cadre de l'arrêté ministériel 1275

Filière: Génie des Procédés Spécialité: Génie Pharmaceutique

Intitulé:

FORMULATION, OPTIMISATION ET CARACTERISATION D'UNE CREME REPARATRICE DE LA PEAU A BASE DES PLANTES MÉDICINALES.

Dirigé par: Présenté par:

-RABTI Hadjira - KEROUH Chiraz

Maitre assistante A - SAOULI Aya Nour El Houda

Session: (Juillet 2024)

Remerciement

Avant toute chose, nous remercions « Allah » le tout puissant de nous avoir donné la force, le courage et la patience d'accomplir ce modeste travail.

Nos plus vifs remercîments vont également à notre encadreur du projet de fin d'études Mme RABTI Hadjira, qui nous a accordé l'honneur de diriger ce modeste travail, de nous orienter et de nous aider. Merci à sa disponibilité, sa patience son soutien moral et ses conseils pertinents qui ont été pour nous un solide repère et réconfort dans tous les moments.

Nous tenons à remercier vivement Monsieur BELMAHI Mohamed Habib, le doyen de la Faculté de Génie des Procédés, et Monsieur BEKKOUCHE Salim, le Chef de Département de Génie Pharmaceutique ainsi que tous les enseignants de la faculté de Génie des Procédés surtout madame LOUAER Wahida, madame LAMMARI Narimane et madame NACEF Houda Sara, qui ont grandement contribué à notre parcours d'étude et pour leur conseils précieux. Nous sommes Reconnaissantes pour leur soutien constant.

Nous souhaitons également adresser nos remerciements sincères aux membres de jury pour avoir accepté de consacrer leur temps et leur expertise à évaluer ce mémoire. Leurs commentaires constructifs et leurs suggestions judicieuses vont grandement contribuer à l'amélioration de notre travail.

Nous exprimons nos remerciements à l'équipe de l'Ecole Polytechnique (université Constantine 3) surtout madame LABED Hala et Monsieur SAOULI Wassil.

Nous présentons aussi nos sincères gratitudes à l'équipe du l'incubateur, ainsi qu'à tous les ingénieurs de la faculté de génie des procédés, pour nous avoir aider au le bon déroulement du travail.

Nous présentons aussi nos sincères gratitudes à l'équipe du Centre de Recherche en Sciences Pharmaceutiques de Constantine (CRSP), et celle du Centre de Recherche en Biotechnologie (CRBT) pour nous avoir accueillis durant la période de notre travail.

Nous adressons nos remerciements également à Mme BENCHAIB FERIEL, Cheffe de service du Laboratoire de contrôle de qualité de l'unité LDM(Constantine), et à Mr BENATIA ZAKARIA et à toute l'équipe du groupe LDM, et nous avoir procuré l'appui et l'aide pour accomplir ce travail.

Enfin, nous remercions tous ceux qui ont participé de près ou de loin à la réalisation de ce travail.

Merci.

Dédicace

Avec l'aide de Dieu tout puissant, qui a tracé le Chemin de ma vie, j'ai pu réaliser ce travail que je dédie à :

La lumière de mes yeux, l'ombre de mes pas et le bonheur de ma vie ma mère hayet qui m'a apporté son appui durant toutes mes années d'étude, pour son sacrifice et soutien qui m'ont donné confiance, courage et sécurité. A mon cher père Messaoud qui ma supportée et m'a aidée dans les pires moments.

A mes très chers frères; Ayoub, Charaf et Chiheb Eddine

A toute ma famille surtout ma tante Souad, des remerciements spéciaux, Je tiens à leur exprimer l'assurance de mes sentiments respectueux et dévoués pour leurs aides lors de la réalisation de ce mémoire et pour le soutien moral qu'ils n'ont cessé de m'apporter.

A ma belle copine et partenaire depuis toutes ces années Aya Nour El Houda, merci pour ta patience et ta gentillesse à mon égard.

A mes amies avec qui j'ai vécu des beaux moments au cours de mon cursus à l'université surtout : Hadil, Rayene, Rania, Safa, Imen, Yasmine, Amina, Racha et ma moitié Samah, Ritedj, Sara, Chaima.

A tous mes collègues surtout Abdou et Marouane

Finalement à notre promotrice Mme Rabti hadjira, merci pour vos merveilleux efforts et vos conseils tout au long de la réalisation de ce projet.



Dédicace

Préalablement, je tiens à exprimer ma profonde gratitude au Bon Dieu, ALLAH le Tout-Puissant, de m'avoir donné la force et la patience pour réaliser ce merveilleux travail.

Je dédie ce travail à mes chers parents, mon père Samir pour ses sacrifices et son encouragement, et ma mère Samia, qui est la bougie illuminant ma route.

À ma très jolie sœur Ritedj Nour Israe, avec qui je partage tous les bons et les mauvais moments.

À mes deux frères, Mohamed Taki Eddine et LouayAbdEl Rahman, qui me soutiennent toujours.

À toute ma famille, et surtout à Mima, Sidi Omar, et Amina.

Je tiens également à dédie ce travail à ma belle binôme KEROUH CHIRAZ, mon amie et ma sœur, avec elle j'ai partagé de nombreux souvenirs.

À ma chère encadrante, Mme RABTI Hadjira, pour sa patience et son soutien.

À tous mes amis : Alia, Malek, Feriel et Chayma, sans oublier le groupe avec lequel nous avons étudié et réussi ensemble, mes belles amies Chiraz, Rayen, Hadil, Nouara et Lina.

À tous mes collègues de laboratoire et à tous ceux qui m'ont aidé, de près ou de loin.

Bya Nour El Houda

Table des matières

Liste des figures
Liste des Tableau
Liste des abréviations
Résumé
INTRODUCTION GENERALE 1
CHAPITRE I. REVUE BIBLIOGRAPHIQUE
I.1. Généralités sur les plantes étudiées
I.1.1. Cardoncelle bleue
I.1.1.1 Dénomination
I.1.1.2. Origine
I.1.1.3.Répartition géographique
I.1.1.4.Composition chimique
I.1.1.5.Utilisation de traditionnelles
I.1.1.6.Activités pharmacologiques
I.1.2.Cyprès
I.1.2.1. Dénomination8
I.1.2.2. Origine8
I.1.2.3. Répartition géographique
I.1.2.4.Composition9
I.1.2.5.Utilisation de cyprès
I.1.2.6.Activités pharmacologiques
I.2. Techniques d'extraction des plantes médicinales
I.2.1. Infusion
I.2.2.Décoction
I.2.3.Distillation
I.2.4. Hydro distillation
I.2.5.Macération
I.3. Crèmes pour application cutanée
I.3.1. Peau humaine
I.3.1.1. Définition
I.3.2. Pénétration à travers la peau
I.3.4.Emulsions

	ulsion15
I.3.4.2. Emulsifiant	16
I.3.5. Procédure de	fabrication d'une crème16
I.4. Brûlures cutané	és18
I.4.1. Définition	18
I.4.2. Classificati	ion des brûlures18
I.4.3. Facteurs de	e gravité18
I.4.3.1. Profonder	ur de la brûlure18
I.4.3.2.Surface bi	rûlée20
I.4.3.3. Localisati	ion20
I.4.3.4. Terrain	20
I.4.4. Cicatrisation	on normale20
I.5. Plan d'expéri	iences22
I.5.1. Différent ty	ypes des facteurs22
I.5.2. Types de p	lans d'expériences22
1.5.3. Plan Box F	Behnken2
I.5.4. Validation	des modèles24
C HAPITRE II. MATERIE I II.1. Matériel	L ET METHODES
II.1. Matériel	
II.1. Matériel II.1.1. Matériel du	
II.1. Matériel II.1.1. Matériel du	
II.1. Matériel II.1.1. Matériel du II.1.2. Equipement II.1.3.Logiciels	
II.1. Matériel II.1.1. Matériel du II.1.2. Equipement II.1.3.Logiciels	
II.1. Matériel II.1.1. Matériel du II.1.2. Equipement II.1.3.Logiciels II.1.4.Matière végétale II.1.5.Produits	2
II.1. Matériel II.1.1. Matériel du II.1.2. Equipement II.1.3.Logiciels II.1.4.Matière végétale II.1.5.Produits	laboratoire
II.1. Matériel II.1.1. Matériel du II.1.2. Equipement II.1.3.Logiciels II.1.4.Matière végétale II.1.5.Produits II.1.6.Produits Sou II.2.Méthodes	2 laboratoire
II.1. Matériel II.1.1. Matériel du II.1.2. Equipement II.1.3.Logiciels II.1.4.Matière végétale II.1.5.Produits II.1.6.Produits Sou II.2.Méthodes II.2.1.Extraction de	laboratoire
II.1. Matériel II.1.1. Matériel du II.1.2. Equipement II.1.3.Logiciels II.1.4.Matière végétale II.1.5.Produits II.1.6.Produits Sou II.2.Méthodes II.2.1.Extraction de II.2.2.Extraction pa	laboratoire
II.1. Matériel II.1.1. Matériel du II.1.2. Equipement II.1.3.Logiciels II.1.4.Matière végétale II.1.5.Produits II.1.6.Produits Sou II.2.Méthodes II.2.1.Extraction de II.2.2.Extraction per II.2.3.Caractérisati	laboratoire
II.1. Matériel II.1.1. Matériel du II.1.2. Equipement II.1.3.Logiciels II.1.4.Matière végétale II.1.5.Produits II.1.6.Produits Sou II.2.Méthodes II.2.1.Extraction de II.2.2.Extraction par II.2.3.Caractérisati II.2.4.Détermination	laboratoire
II.1.1. Matériel du II.1.2. Equipement II.1.3.Logiciels II.1.4.Matière végétale II.1.5.Produits II.1.6.Produits Sou II.2.Méthodes II.2.1.Extraction de II.2.2.Extraction par II.2.3.Caractérisati II.2.4.Détermination	laboratoire
II.1. Matériel II.1.1. Matériel du II.1.2. Equipement II.1.3.Logiciels II.1.4.Matière végétale II.1.5.Produits II.1.6.Produits Sou II.2.Méthodes II.2.1.Extraction de II.2.2.Extraction par II.2.3.Caractérisati II.2.4.Détermination II.2.5.Détermination II.2.6.Etude de l'ef	laboratoire

II.2.9. Formulation et caractérisation de la crème
II.2.9.1. Etapes de la formulation
II.2.9.2. Optimisation de la formulation
II.2.9.3. Contrôle de qualité de la crème formulée45
CHAPITRE III RESULTATS ET DISCUSSIONS
III.1. Extraction par macération et par hydrodistillation
III.1.1. Rendement de la macération par Box Benken
III.1.2. Rendement de l'extraction des huiles essentielles
III.2. Caractérisation des huiles essentielles
III.3. Dosage des polyphénols et flavonoïdes
III.4. Activité Antioxydante
III.5. Test de cytotoxicité
III.6. Activité anti bactérienne
III.7. Activité antifongique69
III.8. Optimisation de la formulation des crèmes
III.8.1. Type de la crème
III.9. Contrôle qualité de la crème
III.9.1 Caractéristique organoleptique de la crème
III.9.2 pH de la crème78
III.9.3 Viscosité79
III.9.4 Type de l'émulsion80
III.9.5 Etude de stabilité80
III.9.6. Etude <i>In vivo</i>
III.9.6.1. Test d'irritation sur la peau humaine
III.9.6.2. Test des brûlures et de cicatrisation chez les animaux81
CONCLUSION GENERALE
BIBLIOGRAPHIE 88
ANNEXES

Liste des abréviations

ABTS: 2,2'-azino-bis (3-ethylbenzothiazoline-6-sulfonic acid).

ANOVA: Analyse de variance.

CM: Carré moyen.

CRBT: Centre de recherche en biotechnologie.

CRSP: Centre de Recherche en Sciences Pharmaceutiques.

DPPH: 2,2-diphényl 1-picrylhydrazyle.

E/H: Eau-dans-huile.

FRAP: Ferricreducingantioxidant power.

FOL: Fusariumoxysporum f.sp. lycopersici.

HE: Huile essentielle.

HEs: Huiles essentielles.

H/E: Huile-dans-eau.

GC-MS: Chromatographie en phase gazeuse couplée à la spectrométrie de masse.

GC-MS: Chromatographie en phase gazeuse couplée à la spectrométrie de masse.

mg: Milligramme.

MPE : Méthodologie des plans d'expériences.

NI*: Non identifié.

nm: Nanomètres.

PDA: Potato dextrose agar.

Pa.s: Pascal seconde.

rpm: Tours par minute.

SCEL :Somme des carrées des écarts dus à la liaison.

SCER : Somme des carrées des écarts des résidus.

SCET : Somme des carrées des écarts totale.

UFC: Unité formatrice de colonie.

μg: Microgramme.

μl: Nanomètre.

Liste des Figure

Figure I.1.Différentes parties de la cardoncelle (A): plante complète, (B): racine, (C): tige, (D): fleur, (E
: feuille]
Figure I. 2.Répartition de la cardoncelle dans le monde
Figure I. 3. Les différentes parties de la plante $Cupressus sempervirens L.$ [(A): plante complète, (B):
feuille, (C): fleur, (D): écorce, (E): fruits
Figure I. 4. Aire et répartition du cyprès dans le monde
Figure I. 5.Distillation ou l'obtention d'huile essentielle
Figure I. 6.Extraction par hydro-distillation.
Figure I. 7.Étapes de macération.
Figure I. 8.Structure de la peau.
Figure I. 9.Phase dispersée et phase dispersante d'une émulsion
Figure I. 10.Les différents types d'émulsions.
Figure I. 11.Schéma d'un tensioactif
Figure I. 12. Différant degrés des brulures.
Figure I. 13.Étapes de la cicatrisation de peau
Figure I. 14.Plan Box-Behnken à 3 facteurs
Figure II. 1. Préparation de la drogue du cyprès [A) Récolte ; B) Broyage ;C) Poudre]27
Figure II. 2.Préparation de la drogue de la cardoncelle bleue [A) Récolte ; B) Epluchage ; C) Découpage ;
D) Poudre]
Figure II. 3.Procédé d'extraction des huiles essentielles du cyprès
Figure II. 4.Procédé d'extraction des huiles essentielles de Carthamus caeruleus L
Figure II. 5.Procédure de la macération effectuée pour la plante Cupressus sempervirens L
Figure II. 6.Procédure de la macération effectuée pour la plante Carthamus caeruleus L31
Figure II. 7.Protocole suivi pour l'étude de l'activité antioxydant "DPPH"
Figure II. 8. Protocole suivi pour l'étude de l'activité antioxydant "ABTS"
Figure II. 9.Protocole suivi pour l'étude de l'activité antioxydante phénantroline
Figure II. 10.Protocole suivi pour l'étude de l'activité antioxydant FRAP
Figure II. 11.Procédés d'évaluation de la cytotoxicité des extraits et des huiles
Figure II. 12.Technique des stries pour réactivation des souches antibactérienne

Figure II. 13.Préparation de l'inoculum
Figure II. 14.Ensemencement des boites par différentes souches bactériennes
Figure II. 15.Méthode des puits
Figure II. 16. Diagramme du procédé de fabrication d'une émulsion
Figure II. 17.Répartition des rats
Figure II. 18.Induction des brûlures et des plaies sur les rats
Figure III. 1.Comparaison des valeurs réelles et prédites du rendement d'extraction du cyprès (A) et de la
cardoncelle (B)
Figure III. 2.Tracés des effets principaux des facteurs sur le rendement. A) du cyprès; B) de la cardoncelle.
Figure III. 3.Tracé de contour du rendement d'extraction du cyprès
Figure III. 4.Tracé de contour du rendement d'extraction de la cardoncelle
Figure III. 5.Optimisation des paramètres pour le cyprès (A) et la cardoncelle (B)
Figure III. 6.Extraits des plantes : cyprès (A) et cardoncelle (B)
Figure III. 7. Huiles essentielles des plantes (: cyprès (A) et cardoncelle B)
Figure III. 8. Activité anti-radicalaire des huiles et des extraits contre le radical DPPH
Figure III. 9. Activité antiradicalaire des huiles et des extraits contre le radical ABTS
Figure III. 10. Activité antiradicalaire des huiles et des extraits par la méthode de phénantroline
Figure III. 11. Activité antiradicalaire des huiles et des extraits par la méthode FRAP
Figure III. 12. Résultats de suivi pendant le cinquième jour de cytotoxicité des : (T) Témoin, (A) Extrait
cardoncelle, (B) Extrait cyprès, (C) HE cardoncelle, (D) HE cyprès64
Figure III. 13. Diamètres d'inhibition de la croissance des différentes souches bactériennes après application
du témoin, des huiles de cardoncelle (A) et du cyprès (B) et des extraits de cardoncelle (C) et du cyprès (D).
Figure III. 14.Diamètres d'inhibition de la croissance des différentes souches bactériennes après application
des : mélange des huiles (A), mélange des extraits (B), mélange de l'huile du cyprès avec l'extrait du
cardoncelle (C) et mélange de l'huile du cyprès avec les extraits des deux plantes (D)
Figure III. 15.Diamètres d'inhibition de la croissance des différentes souches fongiques après application
du témoin, des huiles de cardoncelle (A) et du cyprès (B) et des extraits de cardoncelle (C) et du cyprès (D).
Figure III. 16.Diamètres d'inhibition de la croissance des différentes souches fongiques après application
des : mélange des huiles (A), mélange des extraits (B), et mélange de l'huile du cyprès avec les extraits des
deux plantes (C)
Figure III. 17.Crème hydrophile (A) et crème lipophile (B)
1 iguie III. 17. eteme nyaropime (11) et eteme npopime (11)

Figure III. 18. Résultats de l'activité antibactérienne et antifongique sur les crèmes de différents types.	74
Figure III. 19.Crèmes hydrophiles à différente concentration (1) 0.2%, (2) 0.35% et(3) 0.5%	75
Figure III. 20. Résultats de l'activité antibactérienne et antifongique sur les crèmes de différents dosag	ges.77
Figure III. 21. Aspect de la crème.	78
Figure III. 22.PH de la crème.	78
Figure III. 23.Type d'émulsion par dilution.	79
Figure III. 24.Type d'émulsion par microscope.	79
Figure III. 25. Vieillissement en enceinte climatique (A) Vieillissement au chaud (B) Vieillissement à	froid.
	80
Figure III. 26.Sédimentation forcée.	80
Figure III. 27.Avant et Après application de la crème.	81
Figure III. 28. Evolution de la surface des brulures appliquées sur différents lots de rats.	82

Liste des Tableaux

Tableau I. 1.Classification phylogénique de la cardoncelle	4
Tableau I. 2Diverses appellations de la cardoncelle bleue.	4
Tableau I. 3.Classification systématique du cyprès .	8
Tableau I. 4.Diverses appellations de cyprès.	8
Tableau I. 5.Essais pharmaco-techniques des crèmes.	17
Tableau I. 6.Table d'ANOVA	25
Tableau II. 1.Différant matérielle utilisé avec leur référence.	26
Tableau II. 2.Solvants, réactifs et produits utilisés.	28
Tableau II. 3. Souches bactériennes et fongiques utilisées.	29
Tableau II. 4.Matrice d'expérience générée par le plan Box-Behnken	32
Tableau II. 5.Conditions opératoires des analyses par GC-MS pour les huiles essentielles	33
Tableau II. 6.Répartition des rats en lots	47
Tableau III. 1.Résultats des essais du plan Box Benken	49
Tableau III. 2.Table d'ANOVA pour le rendement d'extraction	50
Tableau III. 3.Effets des facteurs et leurs interactions sur le rendement	51
Tableau III. 4. Rendements théorique et expérimentale de l'extraction des plantes sous conditions optiments de l'extraction de l'extract	males
Tableau III. 5.Rendement des huiles essentielles pour chaque plante.	58
Tableau III. 6.Analyse qualitative et quantitative de l'HE du cyprès par GC-MS	59
Tableau III. 7.Résultats du dosage des polyphénols et flavonoïdes	60
Tableau III. 8. Valeurs des IC50 obtenues des huiles et des extraits contre le radical DPPH	61
Tableau III. 9. Valeurs des IC50 obtenues des huiles et des extraits contre le radical ABTS	62
Tableau III. 10. Valeurs des IC50 obtenues des huiles et des extraits par la méthode de phénantroline	63
Tableau III. 11. Valeurs des IC50 obtenues des huiles et des extraits par la méthode de FRAP	63
Tableau III. 12. Pourcentages de survivants des larves de Tenebrio Molitor après 5 jours de surveillance	e.64
Tableau III. 13. Echelle de Poncé des diamètres d'inhibition	65
Tableau III. 14. Résultats de l'activité antibactérienne des extraits et des huiles	65
Tableau III. 15. Résultats de l'activité antibactérienne des mélanges des extraits et des huiles	66
Tableau III. 16. Résultats de l'activité antifongique des extraits et des huiles.	69
Tableau III. 17. Résultats de l'activité antifongique des mélanges des extraits et des huiles	70

Tableau III. 18.Résultats de l'activité antibactérienne et antifongique sur les crèmes de différents types.72
Tableau III. 19. Résultats de l'activité antibactérienne et antifongique sur les crèmes de différents dosages.
73

Résumé

L'objectif de ce travail est la formulation d'une crème à base d'extraits obtenus par deux méthodes (macération et hydrodistilation) pour utilisation parapharmaceutique. Deux plantes ont été étudiées à savoir : la cardoncelle bleu (*Carthamus caeruleus L.*) et le cyprès (*Cupressus semprevirens L.*). Le travail est réparti en quatre parties. La première a porté sur l'optimisation de la macération par plan Box Behnken et l'extraction par macération et hydrodistillation. La deuxième sur l'étude de la cytotoxicité et l'activité antimicrobienne, antifongique, et antioxydant des différents extraits et les huiles essentielles (HEs). Enfin, la troisième et la quatrième parties ont porté sur le développement des crèmes, leur caractérisation ainsi que l'étude de l'activité anti-brûlure et cicatrisante *in vivo*. Les résultats montrent que la crème préparée exerce un potentiel antioxydant, antimicrobien, anti-brûlure et cicatrisant très élevés par rapports aux standards.

Mots clés : Cardoncelle bleu, Cyprès, Antioxydant, Antimicrobien, Anti-brûlure, Cicatrisant, Crème.

INTRODUCTION GENERALE

INTRODUCTION GENERALE

INTRODUCTION GENERALE

Les brûlures constituent un problème de santé majeur dans le monde entier, causant environ 180 000 décès par an selon les estimations de l'Organisation mondiale de la santé. Elles peuvent être causées par diverses sources, telles que la chaleur, les produits chimiques, l'électricité et le rayonnement. La gravité d'une brûlure est définie selon la surface corporelle brûlée, la profondeur, la localisation, le terrain (âge et antécédents) et l'existence de lésions associées [1].

Depuis des siècles, les plantes médicinales ont été utilisées dans diverses cultures pour traiter les maladies connu sur le noms phytothérapie[2]. Les plantes médicinales sont une source majeure de traitement pour de nombreuses maladies humaines à travers le monde. Ainsi, la demande de remèdes issus de sources naturelles pour remplacer les médicaments thérapeutiques synthétiques, et minimiser leurs effets secondaires ainsi que leur toxicité, n'a cessé d'augmenter [3].

L'utilisation des plantes à des fins médicinales a été éclipsée par l'avènement de la synthèse chimique et l'industrie pharmaceutique moderne. Cependant, cette tendance s'inverse progressivement grâce aux avancées scientifiques, en particulier le développement de méthodes d'analyse sophistiquées qui permettent de mieux comprendre les propriétés thérapeutiques du règne végétal. De plus, face aux effets secondaires indésirables et aux échecs thérapeutiques observés avec certains médicaments de synthèse, ainsi qu'à leurs coûts élevés, le public s'interroge sur l'efficacité, la sécurité et l'innocuité des traitements pharmaceutiques. Dans ce contexte, les plantes médicinales occupent une place de choix dans la médecine et la pharmacie contemporaines, que ce soit comme source exclusive de principes actifs, comme matière première pour la synthèse de médicaments ou encore comme excipients. De ce fait, les plantes médicinales, longtemps délaissées au profit des médicaments de synthèse, regagnent aujourd'hui du terrain dans le domaine de la santé, tirant parti des avancées scientifiques et des préoccupations du public face aux limites des traitements pharmaceutiques conventionnels [4].

L'Algérie possède une richesse floristique considérable, comprenant des espèces méditerranéennes, sahariennes et une flore paléo-tropicale, estimée à plus de 3000 espèces appartenant à plusieurs familles botaniques, dont 15% sont endémiques [5].

Parmi les ressources locales, nous sommes particulièrement intéressés à la cardoncelle bleu (*Carthamus caeruleus L.*), dont les racines sont traditionnellement utilisées pour leurs propriétés anti brûlures [6]. Pour renforcer l'effet cicatrisant on a ajouté une deuxième plante riche en propriétés thérapeutiques connue par son effet anti bactérien et cicatrisant, c'est le cyprès (*Cupressus sempervirens L.*) [7].

Dans le contexte de l'exploitation des ressources naturelles, s'inscrit notre travail qui porte sur la

INTRODUCTION GENERALE

formulation, pour la première fois, d'une crème anti brulure et cicatrisante à base de l'extrait de cardoncelle bleue de du cyprès, pour application parapharmaceutique.

Une optimisation de la macération par le plan d'expérience Box Behnken a été réalisée afin d'étudier les effets des facteurs influençant et de maximiser le rendement d'extraction. Une hydrodistillation a été accomplie afin d'obtenir les huiles essentielles (HEs) des plantes étudiées. Puis, l'activité antimicrobienne des extraits et des HEs a été investigué. Le pouvoir antioxydant de l'extrait obtenu a été évalué en utilisant plusieurs méthodes à savoir : DPPH, ABTS, FRAP et phénantroline. Par la suite, une crème anti brûlure et cicatrisante à base des extraits et des HEs a été préparée, optimisée et caractérisée.

Le travail présenté dans ce mémoire est structuré en trois chapitres principaux

Le premier chapitre bibliographique est dédié aux généralités sur les plantes utilisées, les méthodes d'extraction, les crèmes pour application cutanée, les brûlures et le plan d'expérience

Le deuxième chapitre englobe tous le matériel, les produits utilisés ainsi que les méthodes suivies pour réaliser ce travail.

Le troisième chapitre consacré aux résultats obtenus et à leur interprétation.

Enfin, nous terminons notre travail par une conclusion générale englobant ainsi les principaux résultats avec les perspectives futures.

CHAPITRE I REVUE BILIOGRAPHIQUE

CHAPITRE I. REVUE BIBLIOGRAPHIQUE

I.1. Généralités sur les plantes étudiées

Les plantes médicinales ont été utilisées depuis des millénaires pour traiter diverses maladies et affections. Deux plantes en particulier ont été historiquement utilisées à ces fins ; le "Mers'gouss", une plante connue dans le nord de l'Algérie, dont le rhizome est traditionnellement utilisé sous forme de pommade pour traiter les brûlures cutanées et le cyprès, une plante présente dans les régions méditerranéennes, qui figurait dans un texte assyrien vieux de 3 500 ans révélant son utilisation pour traiter la douleur et les cicatrices à long terme.

I.1.1. Cardoncelle bleue

La plante décrite correspond au *Carthamus caeruleus* L. ou cardoncelle bleu (FigureI.1.), une plante vivace mesurant entre 2 et 6 décimètres, avec une tige dressée peu rameuse et anguleuse [8]. Elle possède un rhizome composé d'une racine principale évoluant horizontalement, avec des racines secondaires verticales. Les feuilles sont coriaces, luisantes, fortement dentées, et piquantes, surtout les supérieures. Son inflorescence se présentent en capitule avec des fleurs bleues, en capitules terminaux solitaires, fleurissant de mai à juillet. Les fruits de la cardoncelle sont des akènes [9].

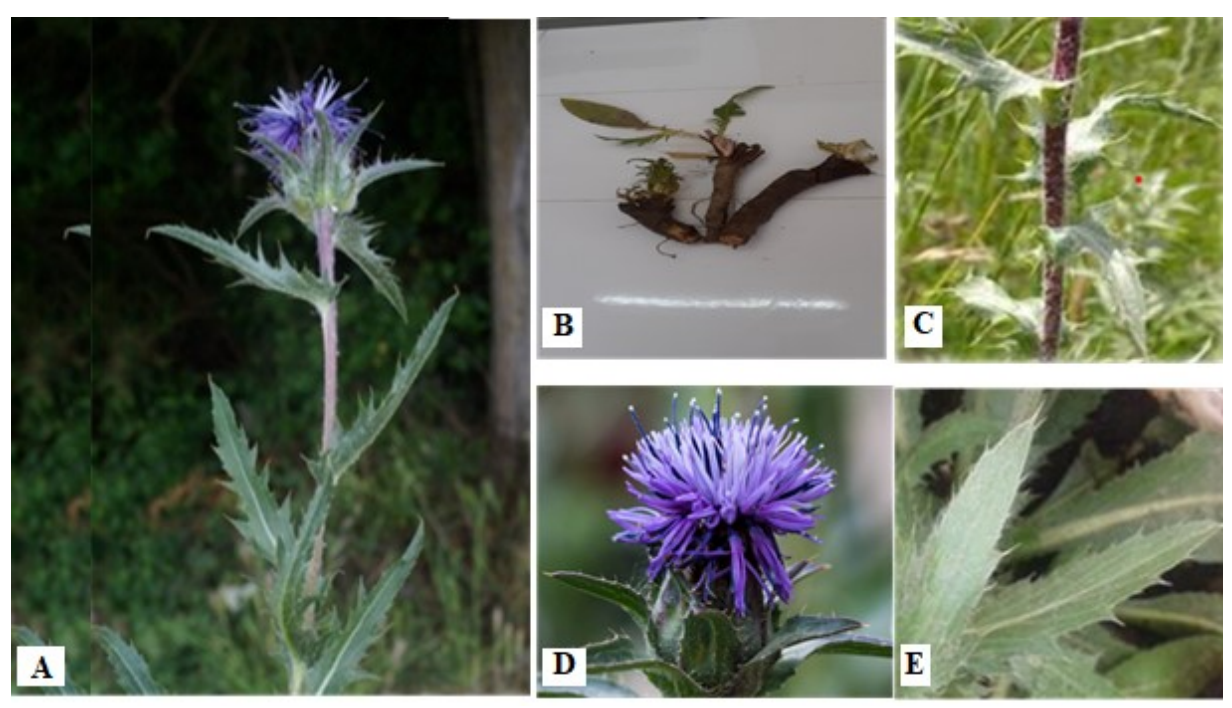


Figure I.1. Différentes parties de la cardoncelle (A) : plante complète, (B) : racine, (C) : tige, (D) : fleur, (E) : feuille [10].

La classification de la cardoncelle est représentée sur le Tableau I.1.

Tableau I. 1.Classification phylogénique de la cardoncelle [11].

Règne	Plantae
Embranchement	Tracheophyta
Classe	Magnoliopsida
Ordre	Asterales
Famille	Asteraceae
Genre	Carthamus
Espèce	Carthamus caeruleus L.

I.1.1.1. Dénomination

L'espèce *Carthamus caeruleus L*. est connue également sous le nom cardoncelle bleue ou carduncellus bleu, est connue sous diverses appellations, comme illustré dans le Tableau I.2.

Tableau I. 2Diverses appellations de la cardoncelle bleue [8].

Langue	Nom vernaculaire
Français	Cardoncelle bleue.
Anglais	Blue thistle.
Espagnol	Cardosantoazul.
Italienne	Cardoncelloazzurro.
Arabe	Kendjar, Gergaa, Qartum, MerghesGhers.
Berbère	Tagalekhla, amersgus.

I.1.1.2. Origine

Le nom de genre "Carthamus" provient du mot arabe "qūrtūm" qui signifie "teinture". L'espèce "tinctorius" fait référence à ses usages en teinturerie. Le carthame est une plante de la famille des Astéracées, comme le chardon, qui est son cousin sauvage. Le genre Carthamus comprend environ 20 espèces annuelles ou vivaces, originaires d'Asie tempérée, d'Europe centrale et du pourtour méditerranéen. Le carthame est connu depuis l'Égypte antique, où ses fleurs rouges étaient utilisées

pour teindre les textiles. Il s'est ensuite répandu en Inde, en Chine et dans tout le bassin méditerranéen. C'est une plante herbacée annuelle de 30 à 150 cm de haut, avec des feuilles épineuses et une racine pivotante puissante. Ses fleurs rouges ou jaunes permettent d'extraire des pigments tinctoriaux comme La carthamine et la carthamone.

I.1.1.3. Répartition géographique

La répartition géographique de cette espèce peu commune est assez large, bien qu'elle préfère les endroits ensoleillés du bassin méditerranéen. En Algérie, elle se rencontre dans les régions côtières méditerranéennes (Tipaza, Annaba, Béjaïa, Boumerdès, Sidi Bel Abbès et Bouira) ainsi que dans les hauts plateaux de Sétif [9].



Figure I. 2. Répartition de la cardoncelle dans le monde [9].

1.1.1.1. Composition chimique

Le screening phytochimique du rhizome du *Carthamus caeruleus* L. a révélé une richesse en composés polyphénoliques, mucilages et amidon, qui sont des métabolites secondaires et des polysaccharides jouant des rôles importants dans la physiologie et l'écologie des plantes[8].

Polyphénols

Le rhizome du *Carthamus caeruleus L*. est riche en polyphénols, qui sont des substances naturelles présentes dans le règne végétal.

Mucilage

Le rhizome contient également des mucilages, qui sont des macromolécules biologiques solubles dans l'eau, responsables de la viscosité des solutions et pouvant former des gels à faible concentration. Chimiquement, les mucilages sont de nature polysaccharidique et sont utilisés comme épaississants et stabilisants de suspensions, en évitant la cristallisation. Ils ont principalement un effet calmant sur les

tissus irrités.

• Amidon

Enfin, le rhizome renferme de l'amidon, qui est le principal polysaccharide de réserve des plantes supérieure [12].

I.1.1.4. Utilisation de traditionnelles

Les extraits des rhizomes de la cardoncelle sont utilisés en médecine traditionnelle algérienne pour traiter les brûlures grâce à leurs propriétés astringentes. Les extraits aqueux des racines de cette plante présentent également des effets cicatrisants et anti-inflammatoires. Les extraits de la cardoncelle semblent donc être une source prometteuse de nouveaux agents thérapeutiques naturels [13].

I.1.1.5. Activités pharmacologiques

A. Activité antioxydant

Le rhizome de *Carthamus caeruleus L*. est riche en composés polyphénoliques (tanins, flavonoïdes, acides phénoliques) qui lui confèrent une forte activité antioxydant. Les extraits polyphénoliques ont montré un pouvoir réducteur élevé et une activité anti-radicalaire importante, comparable à celle de l'acide ascorbique.

B. Activité anti-inflammatoire

L'extrait des racines de *Carthamus caeruleus L*. a démontré un excellent effet anti-inflammatoire chez l'animal. Il inhibe l'œdème, l'infiltration des cellules inflammatoires et la sécrétion de médiateurs inflammatoires, grâce à sa richesse en flavonoïdes.

C. Activité antimicrobienne

Les racines de *Carthamus caeruleus L*. ont un pouvoir inhibiteur important sur les bactéries multirésistantes responsables d'infections. Ses substances flavoniques présentent un fort potentiel antimicrobien contre de nombreuses souches bactériennes.

D. Activité cicatrisante

Le pouvoir cicatrisant de *Carthamus caeruleus L.* s'explique par sa composition en substances phénoliques antioxydantes, anti-inflammatoires et antibactériennes, ainsi que par ses stérols végétaux[8].

I.1.2.Cyprès

Le *Cupressus sempervirens L*. ou le cyprès est un arbre conifère persistant qui peut atteindre une hauteur de 25 mètres. Il a un tronc élancé avec des branches disposées en longue cyme pyramidale étroite et en aigue. L'écorce de l'arbre est grise rougeâtre et fissurée. Les caractéristiques de l'arbre sont :

- Feuilles : Les feuilles sont persistantes, aromatiques, vert foncé, et disposées en écailles fines le long des rameaux.
- **Fleurs :** Les fleurs sont unisexuées et situées aux extrémités des rameaux. Les chatons mâles sont de couleur jaune à marron clair, chargés de pollen, et peuvent être allergisants.
- Écorce : L'écorce est grise-brun, fibreuse, sillonnée verticalement avec des crêtes filamenteuses disposées par paires opposées à l'extrémité des rameaux écailleux.
- Fruits: Les fruits sont des cônes coniques, sphériques, de 3 à 4 cm de diamètre, verts et brillants, avec de légères épines à leurs extrémités [14].



Figure I. 3. Les différentes parties de la plante *Cupressus sempervirens L*. [(A) : plante complète, (B) : feuille, (C) : fleur, (D) : écorce, (E) : fruits[15].

La classification de Cyprès, Cupressus Sempervirens L. est représentée sur le Tableau 1.3

Tableau I. 3. Classification systématique du cyprès [16].

Embranchement	Spermaphytes ou phanérogames
Sous- embranchement	Gymnospermes (graine nue)
Classe	Pinopsida
Ordre	Pinales
Famille	Cupressacées
Genre	Cupressus
Espèce	Cupressus sempervirens. L.

I.1.2.1. Dénomination

Cupressus sempervirens L, connu sous le nom de cyprès méditerranéen, est aussi connue sous diverses appellations, comme illustré dans le **Tableau I.4**.

Tableau I. 4.Diverses appellations de cyprès [16].

Français	cyprès d'Italie, cyprès de Montpellier, cyprès de Provence, cyprès pyramidal,	
	sempervirent.	
Anglais	Italiancypress.	
Allemand	EchteZypresse	
Néerlandais	Italiaanse Cipres	
Espagnol	Cipréscomún, ciprésfino, xifrer, xiper	
Italien	cipressocomune Arabe sarwel	
Arabe	sarwel, سرول	

I.1.2.2. Origine

Le nom du genre Cupressus vient du latin, qui désigne le genre, et du grec "Kuparissos", qui signifie l'espèce. Certains auteurs pensent que le nom pourrait plutôt venir de Chypre, suggérant que le cyprès est originaire de cette île. Le nom d'espèce sempervirens signifie "toujours vert" en latin, composé de "semper" (toujours) et "virens" (vert). Le cyprès méditerranéen (*Cupressus sempervirens*) est une espèce d'arbre conifère de la famille des Cupressaceae, originaire des régions tempérées chaudes de l'hémisphère nord, notamment du bassin méditerranéen[16].

I.1.2.2. Répartition géographique

• Dans le monde

Le cyprès sempervirent est originaire de la région méditerranéenne et du Moyen-Orient. Il est présent à l'état naturel ou naturalisé dans plusieurs régions comme l'Afrique du Nord (Tunisie, Algérie, Maroc), l'Europe du Sud (Grèce, Italie, Espagne, Corse, Sardaigne), l'Asie occidentale (Iran, Palestine, Jordanie, Liban, Syrie, Irak, Turquie[14].

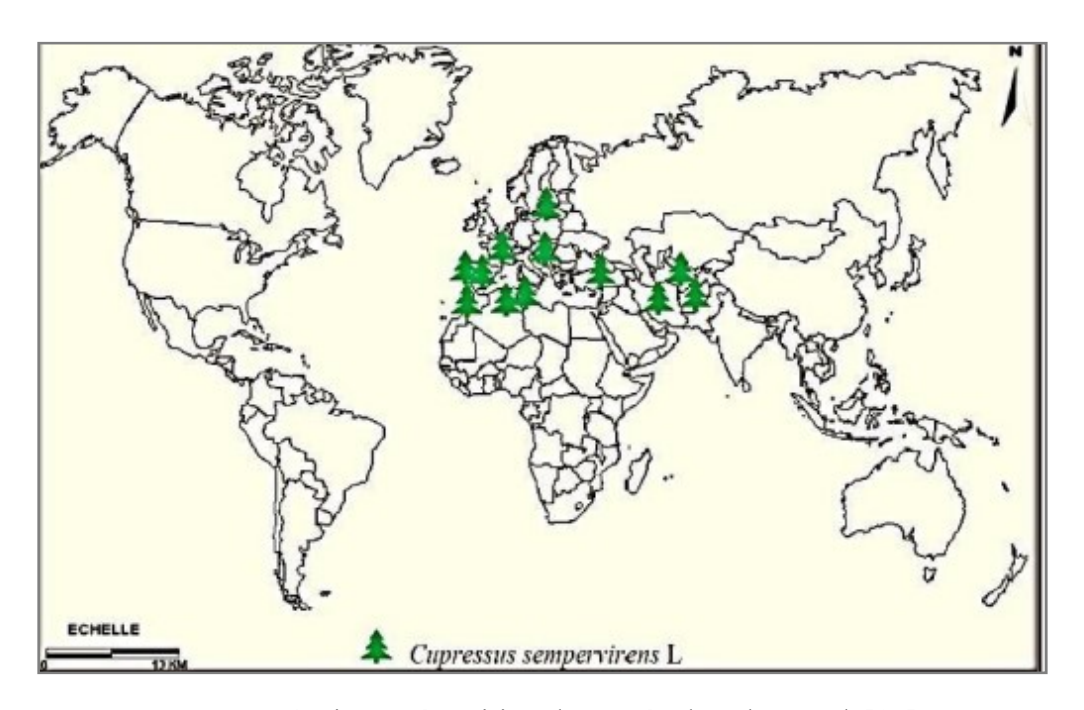


Figure I. 4. Aire et répartition du cyprès dans le monde [17].

En Algérie, les relevés botaniques démontrent une richesse et une diversité floristique importante. Les groupements forestiers diffèrent selon les secteurs et même à l'intérieur d'un même secteur. Les bosquets de l'Atlas algérien contiennent des Cupressinées, avec le genre Cupressus présent principalement en arbres solitaires ou d'ornement, à l'exception de quelques rares petites formations[14].

I.1.2.3. Composition

Le cyprès est riche en composés flavonoïdes tels que les cupressuflavones, les aménoflavones, la rutine, la quercitrine, la quercitrine et la myricitrine. De plus, il contient des composés phénoliques, notamment les anthocyanidines, les catéchines, les flavones, les flavonols et les isoflavones. Les tanins présents incluent l'acide ellagique, l'acide gallique, les phénylisopropanoïdes, l'acide caféique,

l'acide coumarique et l'acide férulique. Les branches contiennent des biflavonoïdes riches en monoterpènes et huiles essentielles, tandis que les cônes contiennent 0,5% d'huile essentielle. Les feuilles et les fruits de cette plante sont très riches en tanins et en flavonoïdes, mais ne contiennent pas d'alcaloïdes et sont pauvres en saponines[16].

I.1.2.4. Utilisation de cyprès

Le cyprès est effectivement une plante médicinale aux multiples bienfaits, en plus de son utilisation ornementale et son bois de qualité. Ses rameaux et cônes sont les parties les plus utilisées en phytothérapie et aromathérapie grâce à leurs composants actifs avec des propriétés antivirales contre certains virus comme l'herpès, la grippe A et le coronavirus. Les flavonoïdes ont aussi des effets anti-inflammatoires et sont utiles contre les troubles veineux et hémorroïdaires. Les graines séchées sont utilisées pour traiter les inflammations, maux de dents, ulcères, ecchymoses, éruptions cutanées et érysipèle.

Les rameaux de cyprès contiennent des huiles essentielles (HEs), flavonoïdes et autres composés phénoliques. L'HE du cyprès a des propriétés antiseptique, astringente, antispasmodique, anti-inflammatoire, balsamique, aromatique et antimicrobienne. Elle est aussi antispasmodique, hémostatique, diurétique, tonique, apaisante, neutralisante des odeurs et purifiante pour les vaisseaux sanguins[18].

I.1.2.5. Activités pharmacologiques

Le cyprès possède diverses activités biologiques, notamment des propriétés antimicrobiennes, antiinflammatoires, antioxydants et antidiabétiques[15].

I.2. Techniques d'extraction des plantes médicinales.

L'extraction est une étape essentielle employée dans divers secteurs industriels, tels que la pharmacie, la cosmétique, la parfumerie et l'agroalimentaire. Cette méthode de séparation repose sur le transfert de matière entre une phase solide, contenant la substance à extraire, et un solvant liquide d'extraction. L'objectif est d'isoler et de séparer un ou plusieurs composants du mélange solide- solvant[19].

Il existe plusieurs méthodes d'extraction qui sont choisies en fonction de la plante et la fragilité de ses composants.

I.2.1. Infusion

Cette technique consiste à verser de l'eau bouillante sur la partie de la plante utilisée, en couvrant le mélange pour éviter la volatilisation des principes actifs, puis en laissant la préparation refroidir [20].

I.2.2.Décoction

Elle est destinée aux espèces ou parties de plantes assez coriaces, telles que les rameaux, les racines et les écorces. Cette méthode consiste à faire bouillir la partie de la plante utilisée, qu'elle soit sèche ou fraîche, dans de l'eau pendant quelques minutes[21].

I.2.3.Distillation

Actuellement, la distillation à vapeur saturée est la méthode la plus couramment utilisée dans l'industrie pour obtenir des HEs à partir de plantes aromatiques ou médicinales. Dans ce procédé(**Figure I.5**), la matière végétale n'entre pas en contact avec l'eau ; la vapeur d'eau est injectée à travers la masse végétale disposée sur des plaques perforées, sous pression atmosphérique[22].

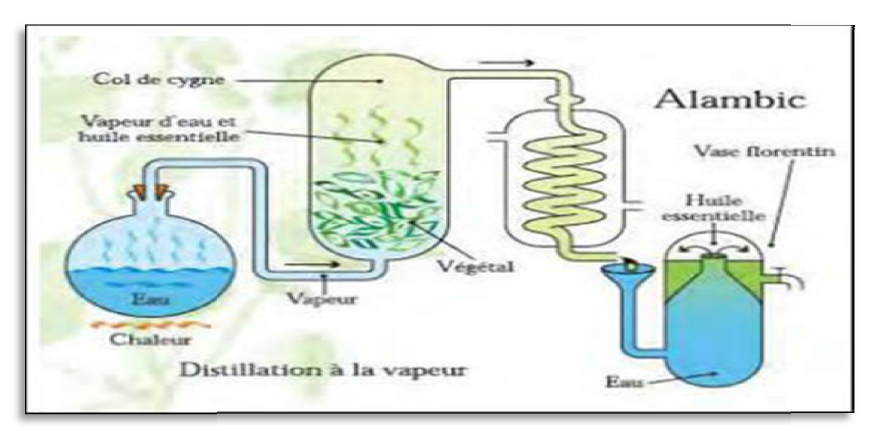


Figure I. 5. Distillation ou l'obtention d'huile essentielle [23].

I.2.4. Hydro distillation

Le principe de l'hydrodistillation repose sur une distillation hétérogène. Ce procédé consiste à immerger la matière végétale dans un bain d'eau, puis à porter l'ensemble à ébullition (**Figure I.6**), généralement à pression atmosphérique. La température d'ébullition du mélange est atteinte lorsque la somme des tensions de vapeur de chaque constituant est égale à la pression d'évaporation, ce qui la rend inférieure aux points d'ébullition des substances pures. Ainsi, le mélange "eau + huile essentielle" distille à une température inférieure à 100°C à pression atmosphérique[24].

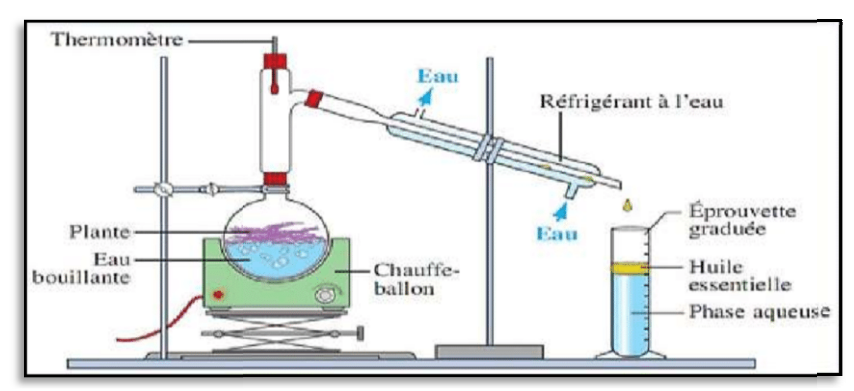


Figure I. 6.Extraction par hydro-distillation [25].

I.2.5. Macération

La macération (**Figure I.7**) consiste en une infusion à froid dans un solvant. Pour ce faire, la matière végétale est placée avec l'ensemble du solvant d'extraction dans un récipient fermé, puis laissée à reposer pendant un certain temps. Ensuite, le mélange est filtré et le marc pressé. Les extraits liquides obtenus sont alors combinés. La clarification de la préparation se fait par précipitation ou filtration.

La macération peut présenter certains inconvénients, notamment en termes de fermentation ou de contamination bactérienne, surtout si le solvant utilisé est l'eau. Ces phénomènes peuvent entraîner une dégradation rapide des molécules actives[26].

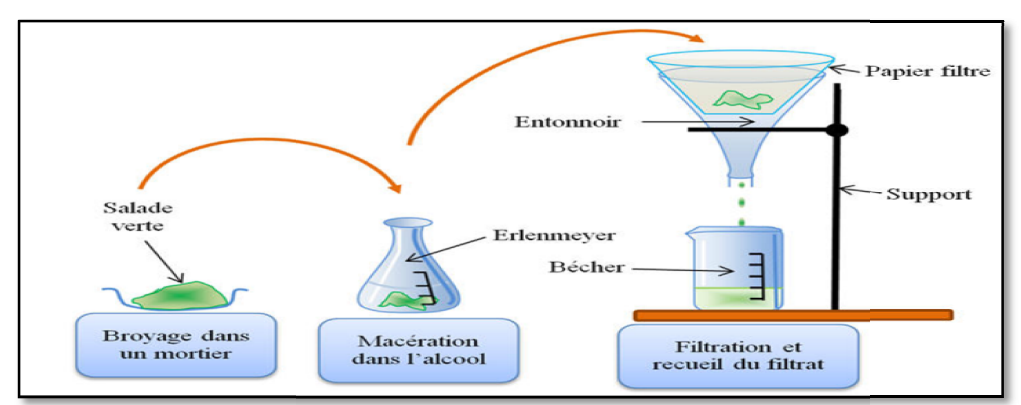


Figure I. 7. Étapes de macération [27].

I.3. Crèmes pour application cutanée

Les préparations semi-solides sont des formulations homogènes conçues pour être appliquées sur la peau ou sur certaines muqueuses. Elles sont formulées dans le but d'exercer une action locale ou transdermique des principes actifs, ou encore d'offrir une action émolliente ou protectrice [28].

Les formes galéniques destinées à la voie cutanée sont extrêmement nombreuses, on distingue ; Pommades ; Gels, Emulsions, Crème...

I.3.1. Peau humaine

I.3.1.1. Définition

La peau, un tissu hautement vascularisé, enveloppe le corps humain avec une superficie d'environ 2 mètres carrés (m²) et un poids moyen d'environ 4 kilogrammes (kg), représentant près de 16% de la masse totale de l'individu.

Elle se compose de trois couches distinctes d'origines embryologiques différentes : l'épiderme, d'origine ectodermique, est recouvert par le film hydrolipidique de surface ; le derme ; et l'hypoderme, d'origine mésodermique.

Des appendices dermiques sont également présents, notamment les glandes sébacées qui accompagnent les follicules pileux, ainsi que les glandes sudoripares[29].

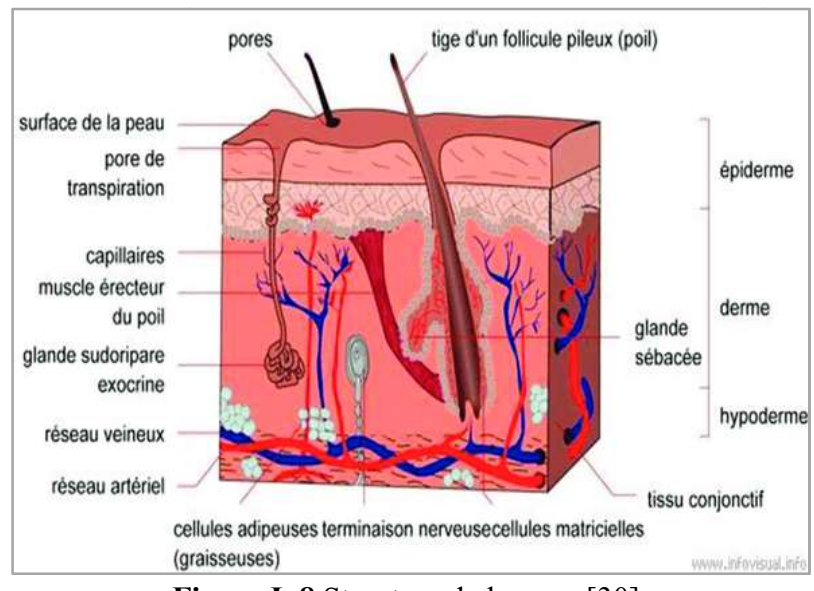


Figure I. 8. Structure de la peau [30].

I.3.1.2. Pénétration à travers la peau

Le mécanisme de diffusion à travers la couche externe de la peau, le stratum corneum, est un processus passif qui repose sur le gradient de concentration, allant des zones les plus concentrées vers les moins concentrées. Les substances absorbées doivent présenter une petite taille, un degré élevé de non-ionisation et des propriétés lipidiques favorisant leur transport intracellulaire. En cas de propriétés hydrophiles de la substance, une diffusion plus profonde peut se produire par voie transcellulaire [31].

I.3.3. Crèmes

Les crèmes sont des préparations dermatologiques multiphasiques, composées d'au moins deux phases liquides non miscibles : une phase hydrophile ou aqueuse et une phase lipophile ou huileuse. Leur utilisation répond à divers objectifs, tels que la préservation ou l'amélioration de l'aspect esthétique de la peau en la rendant plus souple et fraîche, la protection contre les agents extérieurs, l'apport en eau ou en matières grasses, le nettoyage, ou encore la confération d'une action spécifique[32].

I.3.4.Emulsions

Une émulsion est définie comme la dispersion de deux phases liquides non miscibles. C'est un mélange de solutions lipophile et hydrophile caractérisé par la présence de deux phases distinctes, l'une étant dispersée dans l'autre (voir **Figure I.9**). La phase formant des gouttelettes est appelée phase dispersée ou phase discontinue, tandis que le second liquide est désigné comme la phase dispersante ou la phase continue. Comme les émulsions font partie des colloïdes, la taille des gouttelettes se situe généralement entre le micromètre et le nanomètre[33].

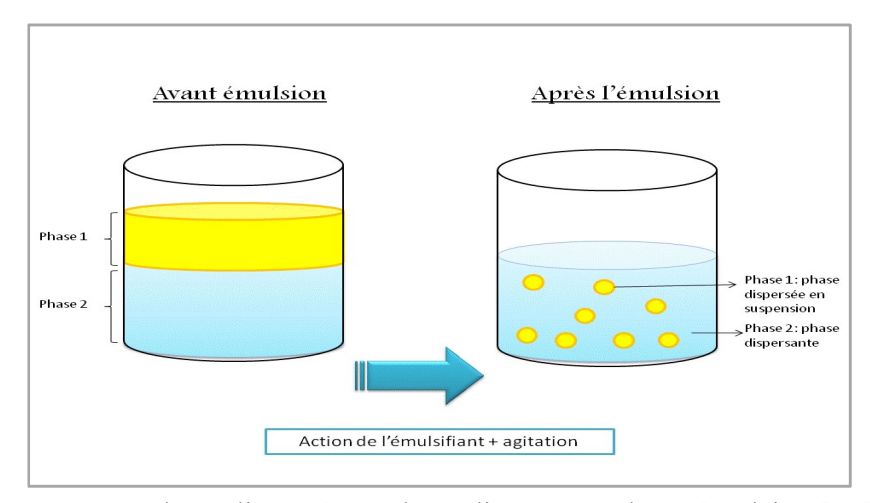


Figure I. 9. Phase dispersée et phase dispersante d'une émulsion [30].

I.3.4.1. Type d'émulsion

A. Selon la phase dispersée

Macros émulsions

Le diamètre moyen des émulsions classiques est généralement supérieur ou égal au micromètre. En raison de leur taille et en fonction de la viscosité de la phase continue, les gouttelettes des émulsions ont tendance à se sédimenter (ou à crémer) sous l'effet de la gravité[29].

Nano/mini émulsions

Les termes "nanoémulsions" et "microémulsions" sont utilisés pour désigner des systèmes diphasiques dont la taille des gouttelettes est comprise entre 20 et 200 nanomètres. En raison de leur petite taille, les nanoémulsions apparaissent transparentes ou translucides à l'œil et sont stables vis-à-vis de la sédimentation ou du crémage[31].

Microémulsions

Il s'agit d'émulsions simples dans lesquelles les particules dispersées sont si fines qu'elles semblent être solubilisées dans la phase aqueuse. En effet, la taille des particules, qui est comprise entre 10 et 100 nanomètres (nm), confère une transparence aux préparations et favorise une meilleure pénétration des substances actives à travers la couche cornée de la peau[31].

B. Selon la nature de la phase dispersante

Il existe plusieurs types d'émulsions (Figure I.10) selon la dispersion des phases aqueuses et huileuses

- ❖ Les émulsions simples sont appelées eau-dans-huile (E/H) lorsque des gouttelettes d'eau sont dispersées dans la phase huileuse, et huile-dans-eau (H/E) dans le cas inverse.
- Les émulsions multiples peuvent être classées en h/E/H ou e/H/E, où h (ou e) indique la phase la plus interne et H (ou E) indique la phase la plus externe. Les phases h et H, ou e et E, peuvent être identiques ou différentes. Les biémulsions sont des émulsions contenant deux phases internes de gouttelettes différentes, soit de même nature (mais de taille différente), soit de nature différente (quelle que soit la taille). Ce type d'émulsion est utilisé lorsque deux composants compatibles sont présents dans la même phase H ou E[34].

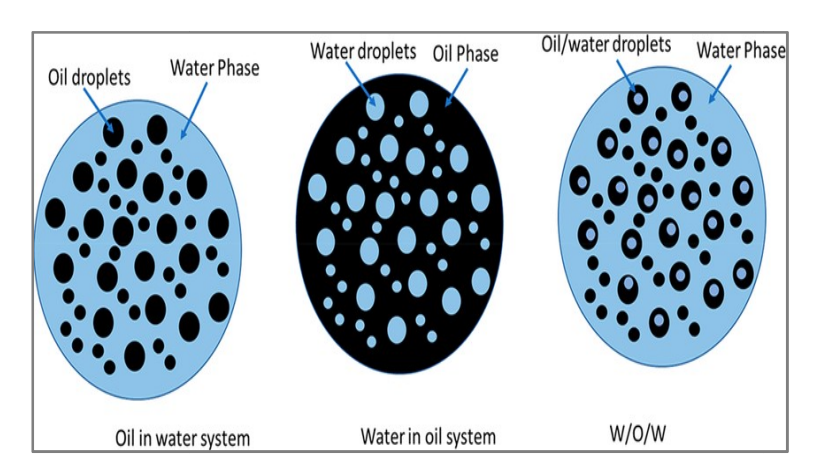


Figure I. 10.Les différents types d'émulsions [35].

I.3.4.2. Emulsifiant

Un émulsifiant (**Figure I.11**), également connu sous divers noms tels que tensioactif, détergent, agent mouillant ou surfactant, est une substance chimique particulière. Il est caractérisé par son amphiphile, c'est-à-dire qu'il présente deux parties ayant des polarités différentes : l'une est lipophile, constituée d'une chaîne hydrocarbonée apolaire, tandis que l'autre est hydrophile, contenant des hétéroatomes (O, P, S et N) polaires.

Les tensioactifs confèrent à l'émulsion sa stabilité, en réduisant la tension interraciale[36].

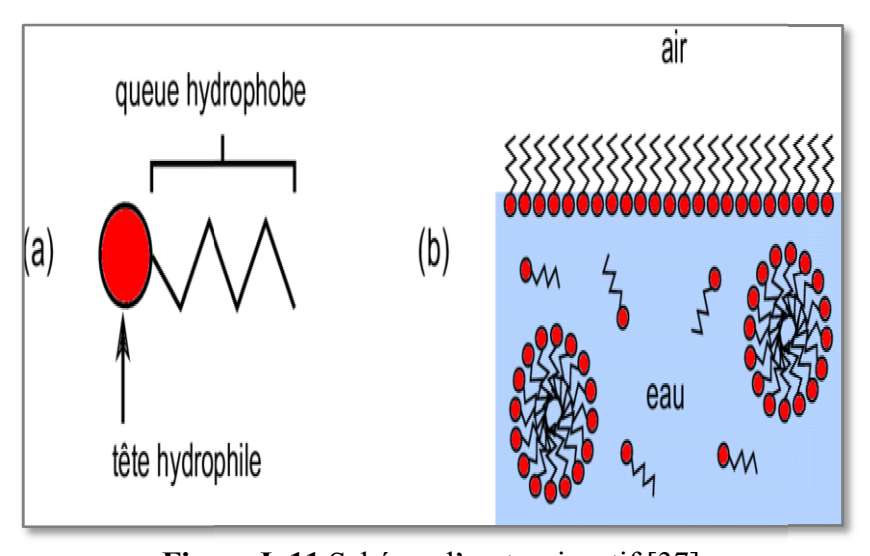


Figure I. 11. Schéma d'un tensioactif [37].

I.3.5. Procédure de fabrication d'une crème

Pour fabriquer l'émulsion, il est primordial d'effectuer deux étapes successives :

• Le mélange-dispersion qui sert à la mise en suspension des gouttelettes de la phase dispersée dans la phase dispersante.

 Homogénéisation par l'utilise des disperseurs (turbine, hélice) et homogénéisateurs (rotor-stator) [34].

A la fin, pour assurer la qualité de la crème on doit assurer certain paramètres qui sont résumés dans le **Tableau I.5.**

Tableau I. 5. Essais pharmaco-techniques des crèmes [38].

Caractéristiques organoleptiques	odeur et couleur	
Homogénéité	Examen macroscopique Microscopique	
Type des émulsions	Méthode de dilution Mesure de la conductivité électrique Méthode des colorants	
Consistance	Viscosité Dureté	
Force d'extrusion	c'est la force nécessaire pour expulser une quantité de la pommade à partir d'un tube.	
Capacité d'étalement	mesure de la surface d'étalement en exerçant une force bien déterminée.	
Détermination du PH		
Stérilité	tester la qualité microbiologique	
Essai de diffusion ou de biodisponibilité	Il se fait par la cellule de Franz.	
Uniformité de masse	le test est réalisé sur 20 pots. Le lot est conforme si pas plus de deux valeurs sont en dehors des limites [m-x, m+x] et aucune des valeurs est en dehors du double de ce pourcentage [m-2x, m+2x]. X= 10% la masse moyenne.	
Uniformité de teneur (dosage du principe actif)	le test est réalisé sur 10 pots. Le lot est conforme si toutes les valeurs sont dans l'intervalle [85%, 115%]. Si une valeurest en dehors de cet intervalle mais aucune n'est en dehors de [75%, 125%] on doitrefaire sur 10 pots où aucune valeur ne doit dépasser l'intervalle [85%, 115%].	

I.4. Brûlures cutanés

Les brûlures sont un problème de santé publique mondial de grande importance, responsable de nombreux décès chaque année, principalement dans les pays à revenu faible ou intermédiaire. Il est essentiel de traiter les brûlures de manière appropriée et de prévenir ces lésions pour réduire les complications et les décès [39].

I.4.1. Définition

La brûlure cutanée est définie comme une destruction partielle ou totale du revêtement cutané, parfois même des structures sous-jacentes, causée par un agent thermique, chimique, électrique ou radiatif. Cette destruction peut entraîner des conséquences importantes sur l'organisme, tant physiques que psychologiques, en particulier dans le cas de brûlures graves[39].

I.4.2. Classification des brûlures

Les brûlures sont classées en fonction de l'agent causal, qui peut être thermique, électrique, chimique, ou par irradiation. Voici la classification des brûlures par type d'agent causal :

- Brûlures thermiques
- Brûlures électriques
- Brûlures chimiques
- Brûlures par irradiations

I.4.3. Facteurs de gravité

La gravité d'une brûlure dépend de plusieurs critères :

I.4.3.1. Profondeur de la brûlure

Une brûlure est considérée comme grave si sa surface est supérieure à la moitié de la paume de la main du patient, soit supérieure à 0,5% de la surface corporelle. Les brûlures des yeux, du nez, des mains, des orifices naturels, des organes génitaux ou de l'intérieur des cuisses sont les plus graves. Il existe quatre degrés de profondeur pour les brûlures décrits dans le **Tableau I.6** et la **Figure I.13**.

Tableau I.6. Profondeur des brûlures [39].

Premier degré	 Atteinte superficielle de l'épiderme, peau rouge, sèche et douloureuse (ex: coup de soleil). Guérison en 3-6 jours sans cicatrice
Deuxième degré superficiel	 Peau très douloureuse, gonflée, rouge, suintante avec cloques. Guérison spontanée en 10-14 jours sans séquelle
Deuxième degré profond	 Cloques blanches, derme pâle et peu sensible. Destruction de l'épiderme et du derme superficiel. Cicatrisation longue (jusqu'à 35 jours).
Troisième degré	 Peau cartonnée, blanche ou brunâtre, insensible. Destruction de la peau en profondeur, atteinte des masses musculaires possible. Greffe de peau obligatoire

La figure ci-dessous illustre les différents degrés des brulures et leurs profondeurs correspondantes

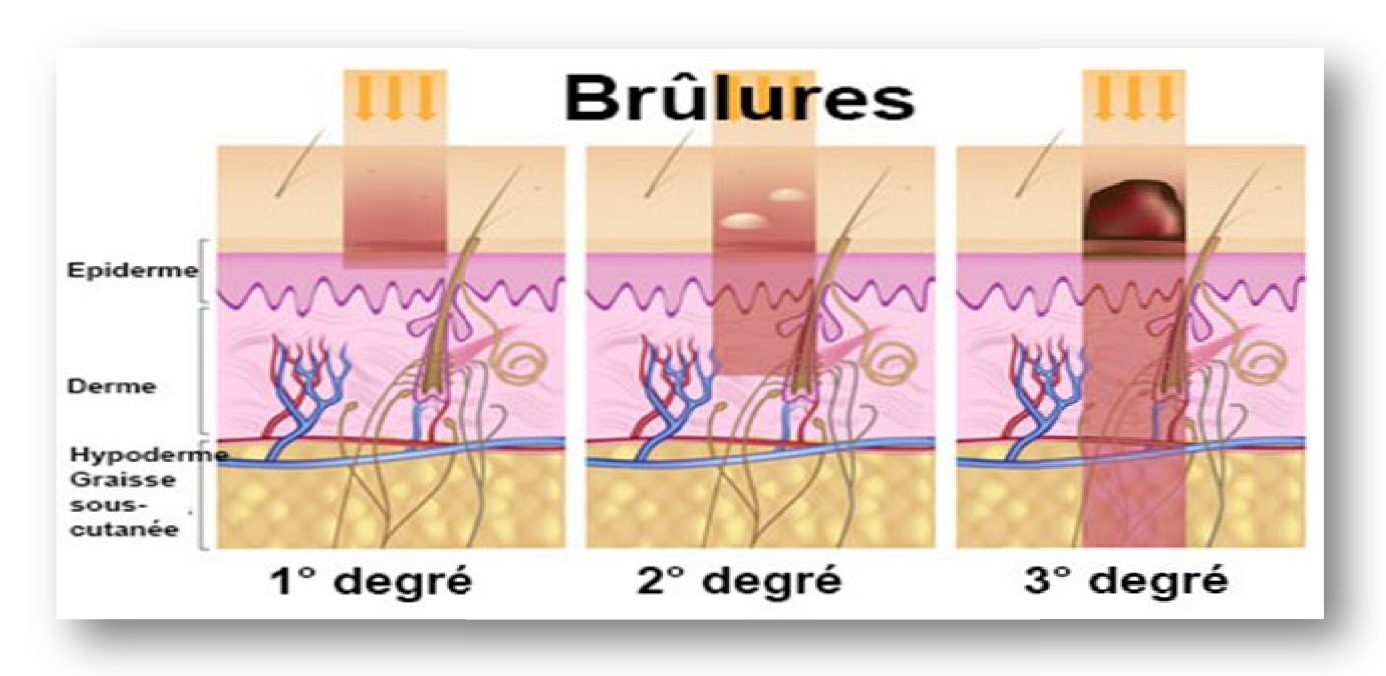


Figure I. 12. Différant degrés des brulures[40].

I.4.3.2.Surface brûlée

Plus la brûlure est étendue, plus le retentissement général est important. La surface est exprimée en pourcentage de la surface corporelle totale, en tenant compte de toutes les brûlures.

I.4.3.3. Localisation

Le siège de la brûlure est important pour évaluer le pronostic vital, fonctionnel et esthétique.

I.4.3.4. Terrain

Les âges extrêmes de la vie (nourrissons, personnes âgées) et les pathologies sous-jacentes sont des facteurs aggravants [39].

I.4.4. Cicatrisation normale

La cicatrisation normale est un processus complexe qui se déroule en plusieurs étapes pour réparer les tissus lésés[39]. La **Figure 1.13** représente les étapes de cicatrisation d'une peau lésée.

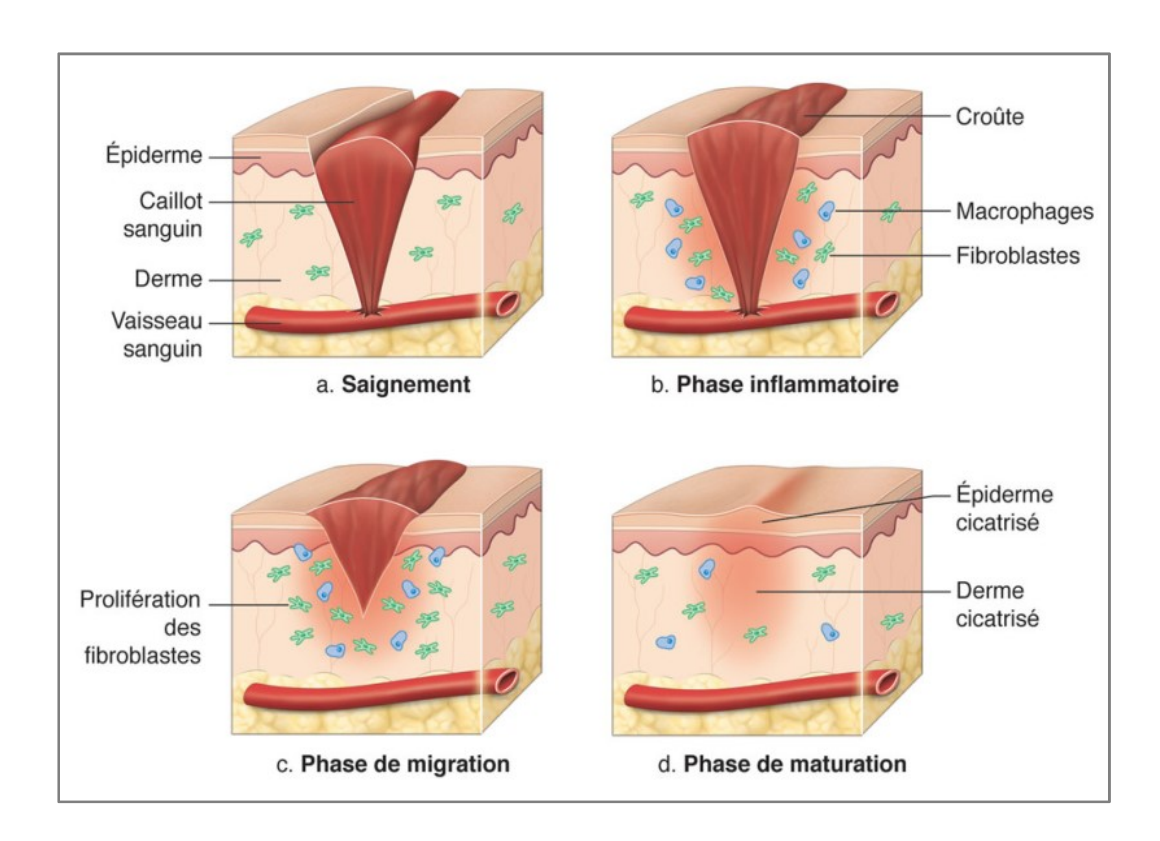


Figure I. 13. Étapes de la cicatrisation de peau [40].

L'évolution de la cicatrisation dépend de plusieurs facteurs, qui peuvent être intrinsèques ou extrinsèques. En résumé, pour favoriser une cicatrisation optimale, il est important de prendre en

REVUE BILIOGRAPHIQUE

compte ces facteurs intrinsèques et extrinsèques et d'adopter des mesures appropriées pour soutenir le processus de guérison. Cela peut inclure une alimentation équilibrée, un contrôle adéquat du diabète et la gestion des médicaments qui pourraient interférer avec la cicatrisation [39].

I.5. Plan d'expériences

La méthodologie des plans d'expériences (MPE) est une approche systématique de planification des expériences scientifiques et industrielles, conçue pour extraire des informations pertinentes liées à des objectifs spécifiques préétablis. L'analyse des données recueillies repose sur l'utilisation de méthodes statistiques[41].

Avec les plans d'expériences permettent d'obtenir le maximum d'informations avec le minimum d'expériences nécessaires. Pour y parvenir, il est essentiel de suivre des règles mathématiques précises et d'adopter une démarche méthodique et rigoureuse[42].

La réponse Y également appelée l'optimum en fonction des facteurs Xi est représentée Par la formule mathématique suivante :

$$Y = f(x_1, x_2, x_3 \dots x_k)$$
 (I.2)

I.5.1. Différent types des facteurs

Les facteurs sont les grandeurs supposées influer sur les variations des réponses.

- Continu : ce type de facteur peut prendre n'importe quelle valeur numérique réelle dans un intervalle donné, tel que [binf, bsup]. Par exemple, les dimensions géométriques utilisées dans la construction de machines électriques, telles que l'épaisseur de la culasse ou la hauteur des dents, sont des exemples de facteurs continus.
- Discret : ce type de facteur peut prendre un nombre fini de valeurs, toutes situées dans un intervalle spécifique. Par exemple, le nombre d'encoches dans une machine électrique est un facteur discret.
- Qualitatif: ce type de facteur présente un ensemble fini de modalités, où les valeurs ne peuvent pas être comparées entre elles. Ces modalités peuvent inclure des types, des propriétés, ou d'autres caractéristiques distinctes. Par exemple des types, des propriétés...[43].

I.5.2. Types de plans d'expériences

On distingue trois grandes classes de plan d'expérience;

- Les plans du premier degré : Ces plans, également appelés factoriels, sont d'une grande importance pratique, qu'ils soient complets ou fractionnaires.
- Les plans du second degré : Ils sont spécifiquement conçus pour les facteurs continus qui prennent plus de deux niveaux et dont l'interprétation est basée sur des modèles du second degré. Parmi eux, on trouve les plans composites, de Doehlert, Box-Behnken, et autres. Ces plans sont bien adaptés à une étude séquentielle des facteurs.
- Les plans des mélanges : Ces plans sont adaptés aux facteurs comportant des contraintes, tels que les concentrations des constituants d'un mélange. Ils ne s'appliquent qu'aux facteurs continus[44].

1.5.3. Plan Box Behnken

Le plan de Box-Behnken est un plan de second ordre rotatif qui repose sur des plans factoriels incomplets à trois niveaux. Sa disposition particulière des niveaux permet d'augmenter le nombre de points du plan tout en contrôlant le nombre de coefficients polynomiaux. Par exemple, pour trois facteurs, le plan peut être construit en trois blocs de quatre expériences, chacun composé d'une expérience complète et de trois expériences représentant un plan factoriel à deux niveaux, le niveau du troisième facteur étant fixé à zéro.

Ces plans sont construits en combinant des plans factoriels à deux niveaux avec des plans incomplets de blocs, ce qui les rend dépourvus de générateurs de plan simples et confère des interactions complexes. Néanmoins, leur économie en termes de ressources les rend particulièrement utiles lorsque les essais expérimentaux sont coûteux.

Avantages économiques et donc particulièrement utiles lorsque les essais expérimentaux à réaliser sont coûteux[45].

Le plan de Box-Behnken nécessite un nombre d'expérience selon l'équation (eq) suivante :

$$N = k^2 + k + cp.....(1.3)$$

Où K est le nombre de facteurs et cp le nombre de répétitions du point central.

Le plan de Box-Behnken est un plan sphérique et rotatif. Si on le visualise comme un cube, il comprend un point central, ainsi que les points centraux et médians des arêtes (**Figure I.14**). Pour le plan expérimental Box-Behnken à trois niveaux et trois facteurs, un total de 15 essais

expérimentaux[46].

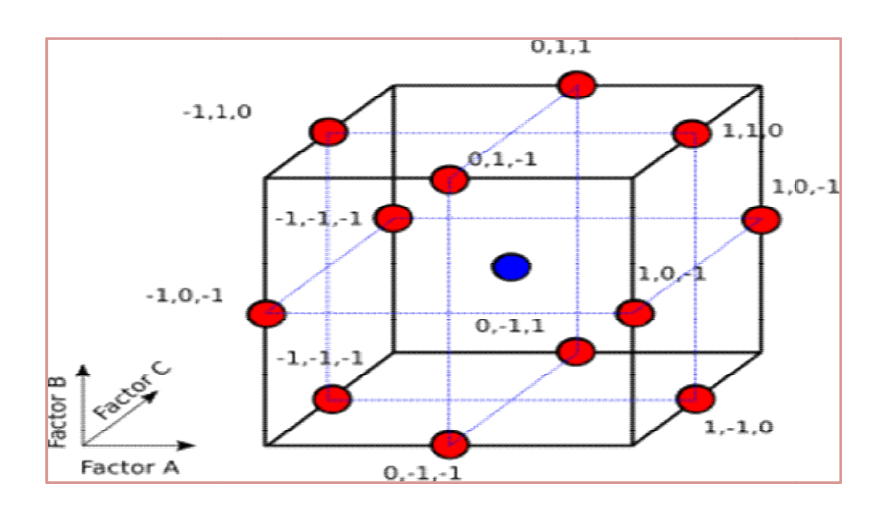


Figure I. 14. Plan Box-Behnken à 3 facteurs [47].

I.5.4. Validation des modèles

L'analyse de la variance (terme souvent abrégé par le terme ANOVA : analysis of variance) est une méthode statistique permettant de vérifier que plusieurs échantillons sont issus d'une même population. Ce test s'applique lorsque l'on mesure une ou plusieurs variables explicatives catégorielles (appelées alors facteurs de variabilité, leurs différentes modalités étant parfois appelées « niveaux ») qui influencent la distribution d'une variable continue à expliquer[48].

I.5.4.1. Analyse de variance (ANOVA)

L'ANOVA est utilisée pour la détermination de la signification d'un effet ou d'un modèle mathématique. Elle est basée sur le calcul de l'écart total entre les différentes mesures Yi du plan d'expériences et la moyenne de ces mesures.

Parmi la grandeur utiliser pour la validation du modèle :

- > SCEL : la somme des carrées des écarts dus à la liaison (eq. I.4).
- > SCER : la somme des carrées des écarts des résidus (eq. I.5).

SCEL=
$$\Sigma$$
 (Yi est – Ymoy) ² (I.4)
SCER = Σ (Yexp – Yi est) ² (I.5)

• La somme des carrées des écarts totale SCET est donnée par :

SCET=
$$\Sigma$$
 (Yexp – Ymoy) ² = SCEL+SCER (I.6)

Avec

- Yi est la valeur prédite du modèle linéaire
- Yexp correspond à la réponse.
- Y moy la moyenne des réponses expérimentales
- ➤ CM (carré moyen) qui est représenté par le rapport de =SCE/DDL.

Pour la comparaison de deux moyennes provenant des échantillons indépendants, le test t de Student est utilisé. Si on a plus de deux échantillons indépendants, le test F permet de comparer le Fobs pour un risque donné et fixé avec un F_{critique} déterminé à partir du tableau de Fisher[17]. (**Tableau I.6**)

Tableau I. 6. Table d'ANOVA.

Variation due à	SCE	DDL	Carrée moyen	F
Liaison	SCEL	p-1	SCEL/ p-1= CML	Fobs= CML/CMR
Résidus	SCER	n-p	SCER/ n-p= CMR	
Totale	SCET	n-1	SCET/ n-1= CMT	

Si : F_{obs}<F_{crit}, le modèle linéaire est non valide.

Si : F_{obs}>F_{crit}, le modèle linéaire est valide.

Le coefficient de détermination (R²) est un indicateur qui permet de juger la qualité d'une régression linéaire. Il varie entre 0 et 1, plus le R² est proche de 1 plus le modèle linéaire est valide. Pour mieux déterminer la qualité descriptive du modèle, on a recours au coefficient de détermination ajusté (R²ajust) (eq I.7 et I.8) [45].

$$R^{2}=SCEL/SCET (I.7)$$

$$R^{2}adj=1-CMR/CMT (I.8)$$

CHAPITRE II MATERIEL ET METHODES

CHAPITRE II. MATERIEL ET METHODES

L'objectif de cette étude est de déterminer comment les activités antioxydants, antifongiques et antibactériennes de deux plantes médicinales peuvent être combinées pour formuler une crème anti brûlure à usage cutané. Dans ce chapitre on va illustrer en détail la méthodologie expérimentale suivie au cours de cette étude, en présentant tout le matériel et les produits utilisés, les techniques réalisées ainsi que les tests effectués. L'étude expérimentale divisée en quatre parties fondamentales : La première partie traite des méthodes d'extraction, la deuxième est dédiée à l'optimisation selon le plan de Box-Behnken, la troisième évalue les activités biologiques, et la dernière partie se concentre sur la formulation et la caractérisation de la crème.

II.1. Matériel

II.1.1. Matériel du laboratoire

- Verrerie (entonnoir, erlenmeyers, béchers, éprouvettes, pipette graduée, entonnoirs en verre, tubes à essai, spatule, ...).
- Micropipette (100 μl et 1000 μl).
- Embouts jaune et bleu.
- Eppendorf.
- Microplaque 96 puits.
- Barrots magnétiques.
- Tamis.
- Support de burette.
- Disques en papier Whatman N°1 stériles.
- Papier aluminium.
- Ecouvillons.
- Boites de pétrie.
- Mortier et pilon en porcelaine
- Milieux de culture (Miller-Hinton, Sabouraud, Gélose nutritive)
- Seringues Hamilton (Bonaduz, Suisse)

II.1.2. Equipements

Tableau II. 1.Différant matérielle utilisé avec leur référence.

Equipements	Référence
Balance KERN	PCB 350-3
Réfrigérateur	KIR-10444
Cuves à ultrasons	ELMASONIC P 30 H
Etuve	US Pat 4585923
Balance de précision	PR224
Autoclave	HVE-50
Broyeur	KSW 445 CB
Spectrophotomètre UV-visible	UV-1601 220V
Plaques chauffante agitatrice	MS-H-S
Bain-marie chauffant.	1021 – BAIN-MARINE KOTTERMANN
	3043 D'OCCASION
Bec Benzène	116.117154.16
PH mètre	AB23PH
Lecteur microplaque	MCV0422
Appareil à filtration sous vide en verre.	VDE 0530
Clevenger	EM0500/CE
Viscosimètre	DV-I prime
Centrifugeuse	DM0412
Agitateur à tige numérique	os40-pro

II.1.3.Logiciels

- ✓ Design.Expert 0.8
- ✓ Microsoft office excel 2007

II.1.4.Matière végétale

La récolte des feuilles du cyprès a été effectuée au mois de février 2024. Les racines de la deuxième plante la cardoncelle bleue ont été achetées auprès d'un herboriste. Les feuilles et

les racines sont lavées à l'eau du robinet, puis rincées à l'eau distillée. Les racines sont épluchées puis ont été découpées en petits morceaux avant d'être séchées à l'ombre. Une fois séchée, la matière végétale de chaque plante est broyée, puis tamisée à l'aide d'un tamis de 560 mm. La poudre obtenue de chaque plante est conservée à l'abri de la lumière et de l'humidité dans des flacons en verre stériles hermétiquement fermés. Les figures II.1. Et II.2.illustrent les étapes de préparation de la matière végétale de chaque plante.



Figure II. 1. Préparation de la drogue du cyprès [A) Récolte ; B) Broyage ;C) Poudre].



Figure II. 2.Préparation de la drogue de la cardoncelle bleue [A) Récolte ; B) Epluchage ; C) Découpage ; D) Poudre].

II.1.5.Produits

Tous les solvants, réactifs et produits avec leurs caractéristiques sont regroupés dans le **Tableau II.2. Tableau II. 2.**Solvants, réactifs et produits utilisés.

Produits	Masse molaire (g/mol)	Pureté (%)	CAS
Folin-Ciocalteu	260.20	260.20	260.20
Acide gallique	170.12	-	149-91-7
Carbonate de sodium (NaCO ₃)	105.99	≥99	497-19-8
2,2-diphényl 1- picrylhydrazyle (DPPH	394.32	/	1898-66-4
acide 2,2'-azino-bis (3-éthyl benzothiazoline-6- sulphonique) (ABTS)	514.62	/	30931-67-0
Phénantroline	180.21	≥ 99	9966-71-7
Chlorure de fer (FeCl3)	162.20	≥99	7705-08-0
Tri-chloro acetic acid (TCA)	$163.38 \ge 99\ 76-$ 03-9	163.38 ≥ 99 76-03-9	163.38 ≥ 99 76-03-9
Huile de paraffine	-	≥ 98 8042-47-5	≥ 98 8042-47-5
Acidestéarique	284.48	-	57-11-4
Span 80	428.60	-	1338-43-8
Glycérol	90.09382	≥ 99	56-81-5
Acidebenzoïque (C7H6O2)	122	≥ 99	65-85-0
Tween 20	1227.54	-	9005-64-5
HPMC K 4M	-	99.99	9004-65-3
Ethanol	46.07	≥95	789
Méthanol	32.04	≥99	732
sulfate de sodium anhydre	142.04	≥ 99	7757-82-6

II.1.6. Produits Souches bactériennes, fongiques et milieu de culture

L'activité antibactérienne des deux plantes est évaluée sur trois souches bactériennes à savoir : Escherichia coli, Pseudomonas aeruginosa et Staphylococcus aureus. En plus, l'activité antifongique a été évaluée sur deux souches fongiques : Fusarium oxysporum f.sp. lycopersici (FOL) qui provient de la collection d'unité de microbiologie appliquée du centre de recherche en biotechnologie (CRBT) et Candida albicans provenant du laboratoire de microbiologie du département de génie pharmaceutique, Université Constantine 3. (Tableau II.3.)

	Sou	che bactérien	Souch	ne fongique	
Souche	Staphylococcus aureus	Escherichia coli	Pseudomonas aeruginosa	Candida albicans	Fusarium oxysporum
Milieu de culture	Mueller-Hinton	Mueller- Hinton	Mueller- Hinton	Sabouraud	PDA*
Gram	Positif	Négatif	Négatif	/	/

Tableau II. 3. Souches bactériennes et fongiques utilisées.

II.2.Méthodes

II.2.1.Extractions des huiles essentielles

a. Huile de cyprès

L'HE des feuilles de cyprès a été extraites à l'aide d'un hydrodistillateur de type Clevenger (**Figure II.3**). Pour cela, 70 g de matière végétale fraîche est mis en contact avec 750 ml de l'eau distillée dans un ballon (1L). Cette extraction aduré trois heures. L'HE obtenue a été desséché en utilisant le sulf ate de sodium anhydre (Na₂SO₄), puis stockée à l'obscurité à 4°C dans des flacons en verre opaque. Ce montage est constitué d'une chauffe ballon, un ballon de 1L, une colonne de condensation de la vapeur (réfrigérant) et un collecteur en verre qui reçoit les extraits de la distillation. Le procédé fonctionne à la pression atmosphérique et il est équipé d'un système de recyclage permettant de maintenir le rapport masse/eau à son niveau initial.



Figure II. 3. Procédé d'extraction des huiles essentielles du cyprès.

b. Huile de la cardoncelle

La même procédure a été utilisée pour l'extraction de la cardoncelle. (**Figure II.3**) et 50 g de matière végétale fraîche a été mise en contact avec 750 ml de l'eau distillée dans un ballon (1L).



Figure II. 4. Procédé d'extraction des huiles essentielles de Carthamus caeruleus L.

Calcul du rendement

Le rendement en HE(R_{HE}) est défini comme étant le rapport entre la masse de l'HE obtenue après extraction et la masse de la matière végétale utilisée. Il est exprimé en pourcentage et calculé en utilisant la formule suivante :

$$R_{HE} = \frac{M'}{M} \times 100.....$$
 (II.1) (II.1) (II.1) R_{HE}: Rendement en huile essentielle en %; M': Masse d'huile essentielle en gramme; M: Masse de la plante en gramme.

II.2.2.Extractions par macération

II.2.2.1. Préparation des extraits de plantes par macération

L'extraction des plantes *Cupressus sempervirens L*. et *Carthamus caeruleusL*. a été réalisée par macération de la poudre de chaque plante dans un mélange de solvant organique et d'eau.

MATERIEL ET METHODES

Afin d'optimiser les rendements d'extraction, un plan d'expérimentation Box-Behnken a été employé. Trois variables ont été examinées : le pourcentage de solvant d'extraction (éthanol), le temps de contact et la quantité de poudre utilisée. Voici les étapes suivies lors de la procédure de macération :

- **Pesée**: Mesurer la quantité précise de matière végétale requise selon les paramètres définis par le plan Box-Behnken pour chaque test.
- Préparation du solvant : Utiliser une éprouvette pour préparer le mélange de solvant
- **Macération :** Mettre la poudre de plante dans 20 ml de la solution (éthanol : eau) dans un erlenmeyer. Agiter le mélange à une vitesse de 500 rpm à une température constante de 25°C pour une durée déterminée par les besoins de l'expérience.
- **Filtration** : Après la période d'agitation spécifiée, filtrer le mélange à l'aide d'un papier filtre pour séparer les solides des liquides.
- Séchage : Déposer le filtrat dans une boîte de Pétri et le laisser sécher jusqu'à évaporation complète du solvant.
- **Récupération :** La récupération de l'extrait s'effectue à l'aide d'une spatule, puis on le place dans un flacon pour la conservation à une température comprise entre 4°C et 6°C.

Les figures **II.5**et **II.6** représentent les étapes suivies lors de la macération des feuilles du cyprès .et des racines de la cardoncelle, respectivement.



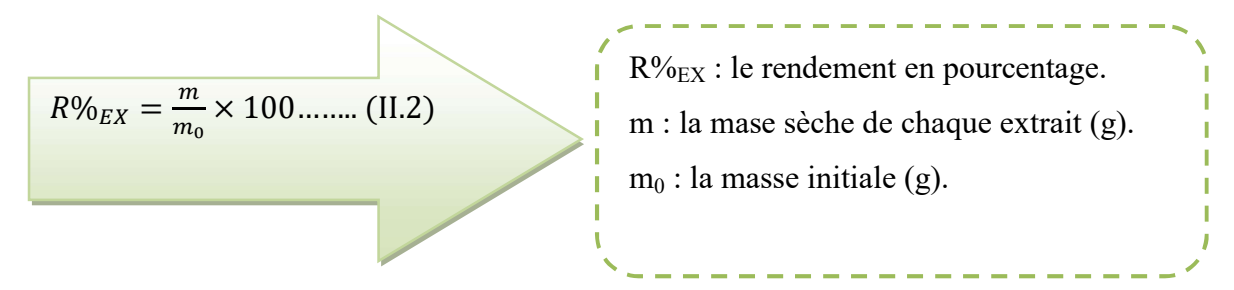
Figure II. 5. Procédure de la macération effectuée pour la plante Cupressus sempervirens L.



Figure II. 6.Procédure de la macération effectuée pour la plante *Carthamus caeruleus L*.

II.2.2.1.1.Détermination du rendement de la masse extraite

Le rendement d'extraction peut être calculé à l'aide de la formule suivante :



Cette formule permet de déterminer l'efficacité de l'extraction en exprimant le poids de l'extrait obtenu en pourcentage du poids initial de la matière utilisée pour l'extraction.

II.2.2.1.2.Optimisation du rendement de la macération par le plan Box Behnken

Dans le but de déterminer les conditions optimales pour obtenir un meilleur rendement d'une part et d'évaluer la signification des paramètres opératoires d'autre part, le plan de surface de réponse Box-Behnken a été réalisé en étudiant trois facteurs à trois niveaux chaque.

✓ La matrice d'expérience

La matrice d'expérience générée par le plan Box-Behnken (**Tableau II.4**) a donné lieu à des résultats pour trois facteurs en appliquant la formule suivante :

$$N = k^2 + k + C_p \dots (II.3.)$$

$$k = 3$$

$$Cp = 3, Donc$$

$$N = 15 \text{experiencs}$$

Tableau II. 4. Matrice d'expérience générée par le plan Box-Behnken.

Empériences	Valeurs codées			
Expériences	X1 X2 X3		X3	
1	-1	-1	0	
2	1	-1	0	
3	-1	1	0	
4	1	1	0	
5	-1	0	-1	
6	1	0	-1	

7	-1	0	1
8	1	0	1
9	0	-1	-1
10	0	1	-1
11	0	-1	1
12	0	1	1
13	0	0	0
14	0	0	0
15	0	0	0

II.2.3. Caractérisation des huiles essentielles et des extraits des plantes II.2.3.1. Analyse chromatographique des huiles essentielles

Les HEs des plantes étudiées peuvent être caractérisés de manière précise par chromatographie en phase gazeuse couplée à la spectrométrie de masse (GC-MS). Cette technique permet d'identifier et de quantifier les différents composés présents dans l'huile, même en très faibles quantités. Lors de l'analyse GC-MS, l'échantillon de l'HE est vaporisé puis entraîné à travers une colonne chromatographique par un gaz vecteur inerte. Les différents composés de l'huile traversent la colonne à des vitesses différentes selon leur affinité avec la phase stationnaire. À la sortie de la colonne, un spectromètre de masse détecte et identifie chaque composé en fonction de son rapport masse/charge. Les résultats sont affichés sous forme de pics sur un chromatogramme, où chaque pic correspond à un composé spécifique, avec sa quantité relative représentée par la hauteur et l'aire du pic. L'analyse des HEs par GC-MS a été effectuée au niveau de l'École Nationale Polytechnique de Constantine. Les conditions opératoires détaillées de cette analyse sont répertoriées dans le **Tableau II.5.**

Tableau II. 5.Conditions opératoires des analyses par GC-MS pour les huiles essentielles.

Colonne capillaire	En silice fondu, de longueur 60m et de diamètre intérieur de 0,25mm
Phase stationnaire	DB5, épaisseur du film 0,25μm
Gaz vecteur	Hélium
Détecteur	MSD
Débit de gaz vecteur	0,5ml/mn
Température de colonne	60 à 220°C à raison de 3°C/mn
Température de l'injecteur	220°C
Volume injecté	1μl

Mode d'injection	Split 1/25
Energie d'ionisation	70 eV
Vide	35 mtorrs

II.2.4.Détermination du taux des polyphénols totaux des extraits

La détermination des concentrations des polyphénols s'effectue à l'aide de la méthode colorimétrique de Folin-Ciocalteu qui est composé d'un mélange d'acide phosphotungstique (H₃PW₁₂O₄₀) et d'acide phosphomolybdique (H₃PMo₁₂O₄₀). La méthode de Folin-Ciocalteu repose sur l'oxydation des cycles phénoliques, associée à la réduction de l'acide phosphomolybdique [49].

Les propriétés colorimétriques du réactif de Folin-Ciocalteu changent lorsqu'il est complexé à certaines molécules. En réagissant avec les fonctions –OH des phénols, cette réaction entraîne le développement d'une coloration bleu foncé, permettant de déterminer la concentration en polyphénols en se référant à une courbe d'étalonnage établie à partir de concentrations connues [50]. La méthode adoptée pour le dosage des composés phénoliques totaux est celle décrite par Müller et ses collaborateurs [51], avec quelques modifications.

- ✓ Pour tracer la courbe d'étalonnage, on suit les étapes suivantes :
 - Des solutions étalons (10.25, 50, 75 et100, μg/ml) ont été préparées à partir d'une solution mère de l'acide gallique dans d'eau distillée (0.2 mg/ml).
 - Une quantité de 400 µl de chaque dilution est mélangée avec 2 ml du réactif de Folin-Ciocalteu (1 ml de réactif dans 9 ml d'eau distillée)
 - Après 3minute, ajout de 1,5 ml de carbonate de sodium (NaCO₃) à 7,5%.
 - Le mélange est laissé à l'obscurité pendant 2 heures.
 - L'absorbance est mesurée contre un blanc, à l'aide d'un spectrophotomètre à une longueur d'onde de 765 nm. (Annexe 1)
- ✓ Pour mesurer la teneur des extraits en polyphénols, en remplace les dilutions d'acide gallique par la solution d'extrait (1 mg d'extrait dans 1 ml d'eau distillée).
- ✓ Le blanc est également préparé de la même manière, en remplaçant l'extrait par l'eau distillée.

II.2.5.Détermination du taux des flavonoïdes des extraits

La méthode de trichlorure d'aluminium (AlCl3) cité par Djeridane et al.,[52] et Boudiaf, 2006 [53] est utilisée pour quantifier les flavonoïdes dans nos extraits

✓ Pour tracer la courbe d'étalonnage, on suit les étapes suivantes :

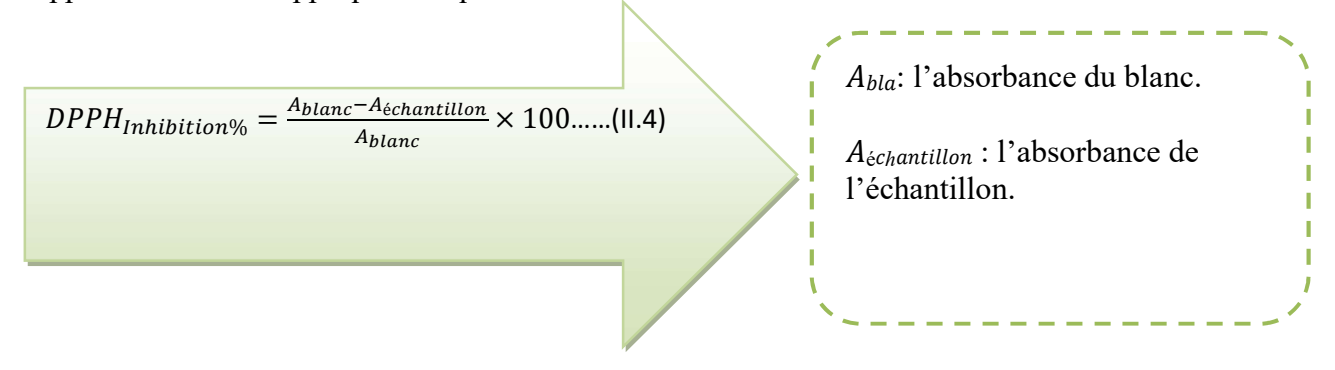
- Des solutions étalons (10.25, 50, 75 et100, μg/ml) ont été préparées à partir d'une solution mère de quercétine dans du méthanol (0.2 mg/ml).
- 2 ml de chaque de chaque dilution est ajouté à un volume égal d'une solution d'AlCl3 (2% dans le méthanol).
- Le mélange a été vigoureusement agité et l'absorbance à 430 nm a été lue après 10 minutes d'incubation.
- ✓ Pour mesurer la teneur des extraits en flavonoides, en remplace les dilutions de quercétine par la solution d'extrait (1 mg d'extrait dans 1 ml de méthanol)
- ✓ Le blanc est également préparé de la même manière, en remplaçant l'extrait par le méthanol.

II.2.6. Etude de l'effet antioxydant

L'étude de l'effet antioxydant des extraits et des huiles obtenus deux plantes, est effectuée in vitro en utilisant des réactions colorimétriques quantitatives. Les méthodes utilisées pour évaluer le pouvoir antioxydant incluent DPPH, ABTS, phénantroline et FRAP. Dans chaque cas, la capacité antioxydant est comparée à celle d'un antioxydant standard Trolox. (Annexe 2).

II.2.6.1.Méthode de DPPH

La méthode de DPPH (**Figure II.7**) consiste à mesurer l'activité de piégeage de DPPH des différents extraits et huiles. Dans une microplaque, 40 µl de l'extrait à différentes concentrations sont ajoutées à 160 µl de la solution de DPPH. Après incubation à température ambiante pendant 30 min à l'obscurité, l'absorbance est lue à 517 nm et la capacité de piégeage du DPPH est déterminée par rapport au blanc en appliquant l'équation suivante :



La concentration inhibitrice 50 (CI50) (µg/ml) est déterminée graphiquement à partir de la droite de régression du pourcentage d'inhibition en fonction de la concentration.

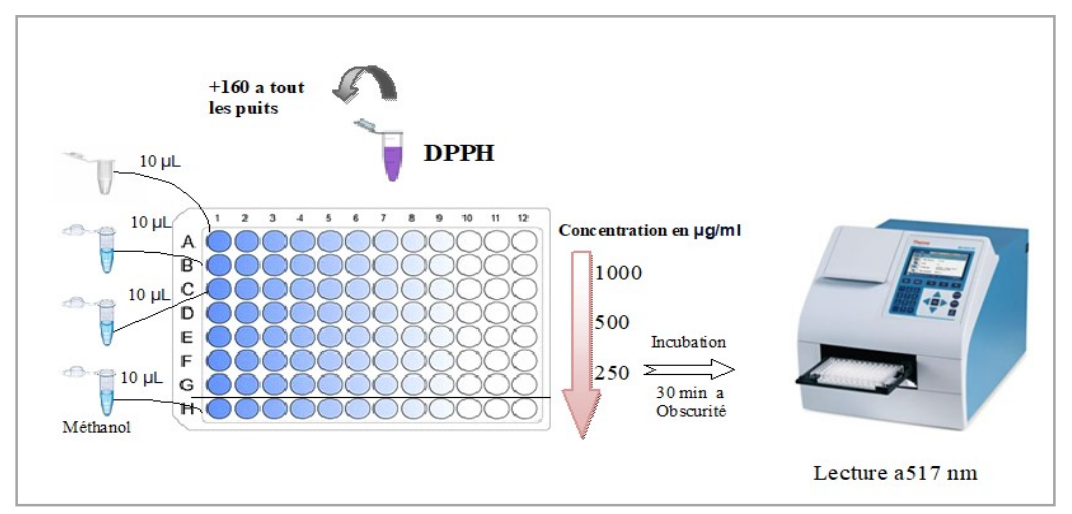
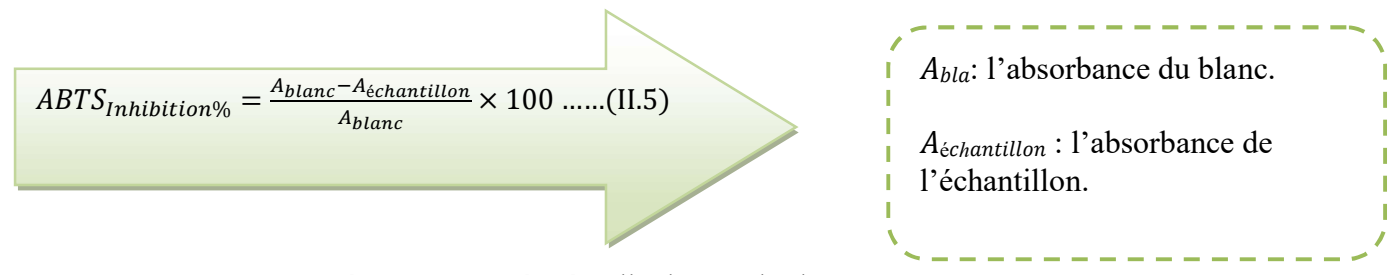


Figure II. 7. Protocole suivi pour l'étude de l'activité antioxydant "DPPH".

II.2.6.2.Méthode d'ABTS

La méthode d'ABTS (**Figure II.8**) consiste à mesurer la capacité de piégeage de l'ABTS•+ des différents extraits et huiles. Dans une microplaque, 40 µl de l'extrait à différentes concentrations sont mélangés avec 160 µl de la solution d'ABTS•+. L'absorbance est lue à 734 nm après 5 min d'incubation à température ambiante, et la capacité de piégeage de l'ABTS•+ est déterminée par rapport au blanc en appliquant l'équation suivante :



Les CI50 sont mesurées et comparées à celle du standard.

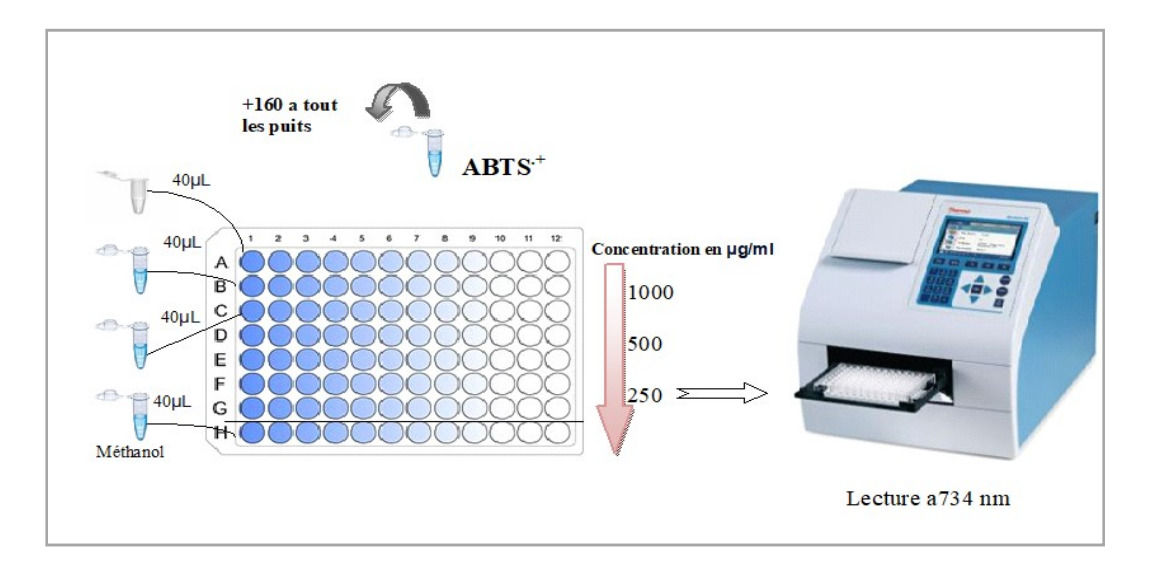


Figure II. 8. Protocole suivi pour l'étude de l'activité antioxydant "ABTS"

II.2.6.3. Méthode de la phénantroline

La méthode de la phénantroline (**Figure II.9**) consiste à mesurer l'activité phénantroline des différents extraits et des huiles. Dans une microplaque, $10 \mu l$ de l'extrait à différentes concentrations sont mélangés avec $50 \mu l$ de FeCl3, $30 \mu l$ de phénantroline et $110 \mu l$ de méthanol. Le tout est incubé à l'obscurité à $30 \, ^{\circ}$ C pendant $20 \, \text{min}$. L'absorbance est lue à $510 \, \text{nm}$ et l'activité phénantroline est évaluée à titre de $A_{0,5}$ indiquant la concentration correspondant à $0.50 \, \text{d'absorbance}$. Ces méthodes permettent d'évaluer la capacité antioxydant des extraits et de comparer leur efficacité avec celle d'un antioxydant standard (BHT).

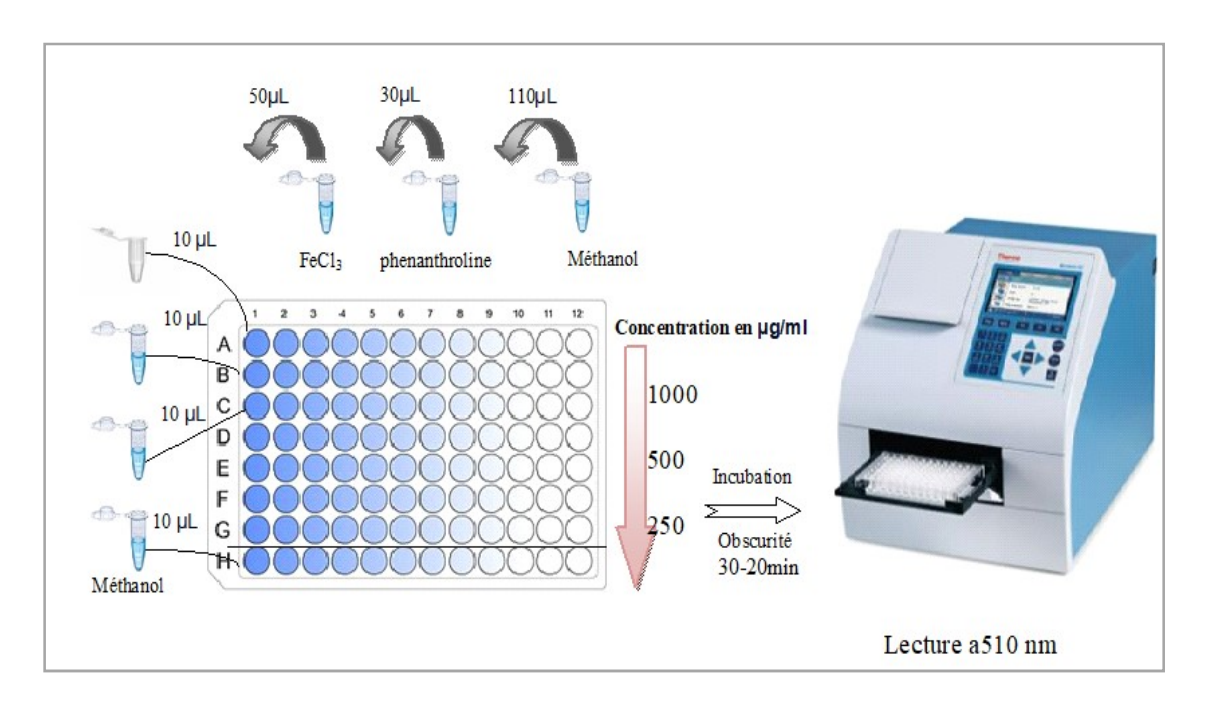


Figure II. 9. Protocole suivi pour l'étude de l'activité antioxydante phénantroline.

II.2.6.4. Pouvoir réducteur d'ions ferriques (FRAP)

La méthode est représentée dans la **Figure II.10**. Dans une microplaque, $10\mu l$ de chaque extrait dilué est ajouté à $40\mu l$ du tampon phosphate (pH 6.6) et $50\mu l$ de ferricyanure de potassium. Après incubation à 50C° pendant 20 min, $50\mu l$ de l'acide trichloroacétique (TCA), $40\mu l$ d'eau distillée et $10\mu l$ de chlorure de fer sont ajoutés. L'absorbance est lue à 700 nm. L'A_{0.5} de l'extrait et des huiles est mesurée et comparée à celle des standards.

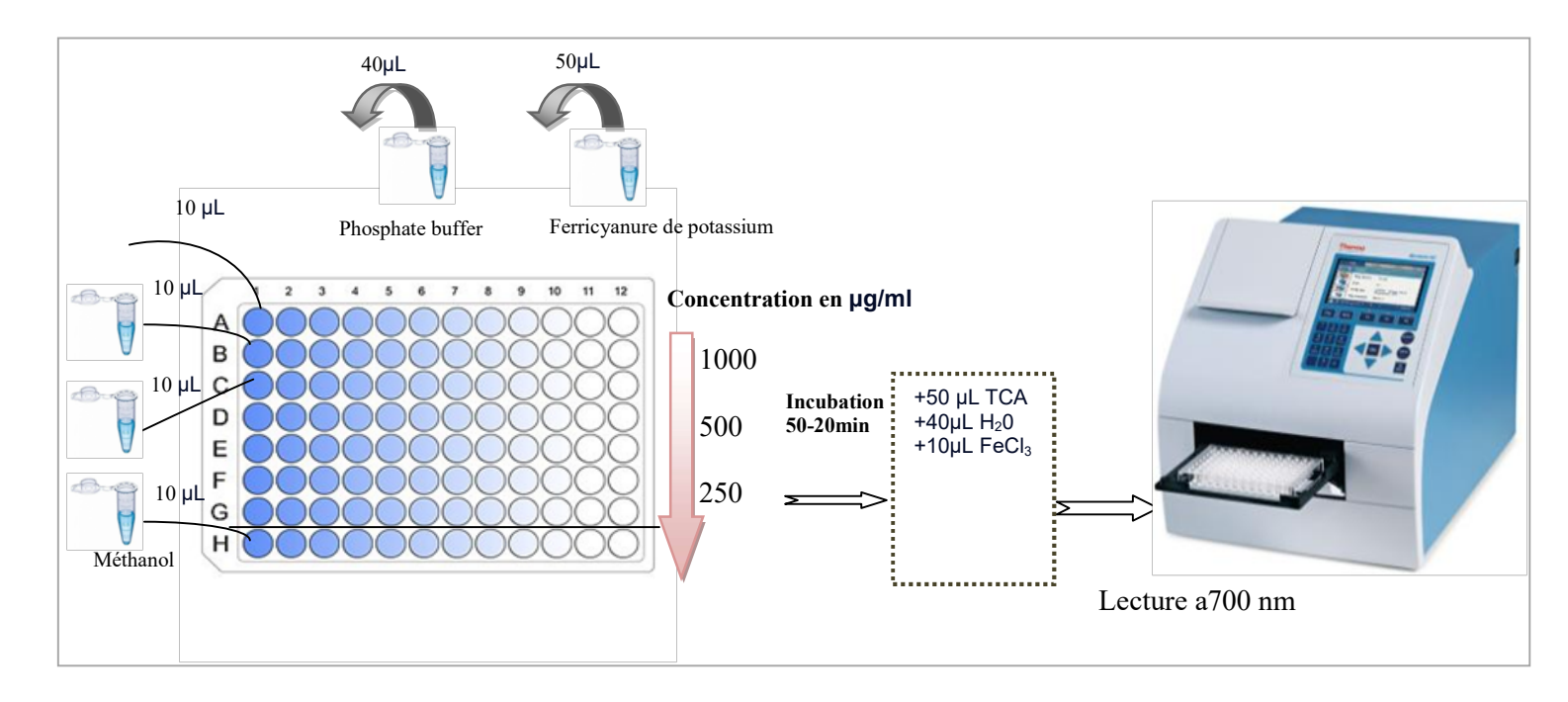


Figure II. 10. Protocole suivi pour l'étude de l'activité antioxydant FRAP.

II.2.7. Test de cytotoxicité

Ce texte a été effectué pour évaluer la toxicité de certaines substances ou préparations envers Larves de vers de farine (Ténébrion meunier).

Après une expérimentation préliminaire avec plusieurs modèles d'arthropodes, les larves de vers de farine ont été choisies en raison de leur disponibilité, de leur robustesse et de leur petite taille relative. Elles ont été réparties en cinq lots : le lot 1 contient un extrait de cyprès, le lot 2 un extrait de cardencelle, le lot 3 de l'huile de cyprès, le lot 4 de l'huile de cardencelle, et le lot 5 sert de témoin (méthanol). Chaque lot comprend cinq larves avec des poids moyens respectifs de 0,178, 0,060, 0,067, 0,064, et 0,068 g.

Des solutions d'échantillons (extrait ou HE) d'un volume allant jusqu'à 3 ml ont été injectées à l'aide d'une seringue Hamilton. La quantité injectée a été ajustée à la masse de la larve individuelle (140 ± 9,6 mg). Des injections ont été faites caudalement sur la ventrale des larves, latéralement à la ligne médiane, car cela évite les systèmes organiques les plus essentiels. Les larves ont ensuite été incubées à température ambiante pendant entre 5et 7 jours. La mortalité a été évaluée par la décoloration des larves. Seize larves ont été utilisées pour chaque concentration testée (**Figure II.11.**).



Figure II. 11. Procédés d'évaluation de la cytotoxicité des extraits et des huiles.

II.2.8. Activités biologiques

II.2.8.1. Activité anti bactérienne

> Préparation de milieu de culture

Le milieu de culture Miler Hinton a été préparé (Annexe 4) et utilisé dans les étapes qui suivent.

> Réactivation des souches

Repiquez les souches bactériennes sur gélose nutritive en utilisant la technique des stries (Figure II.12).

Incubez les boîtes de Pétri à 37°C pendant 24 heures pour favoriser la croissance en phase exponentielle.

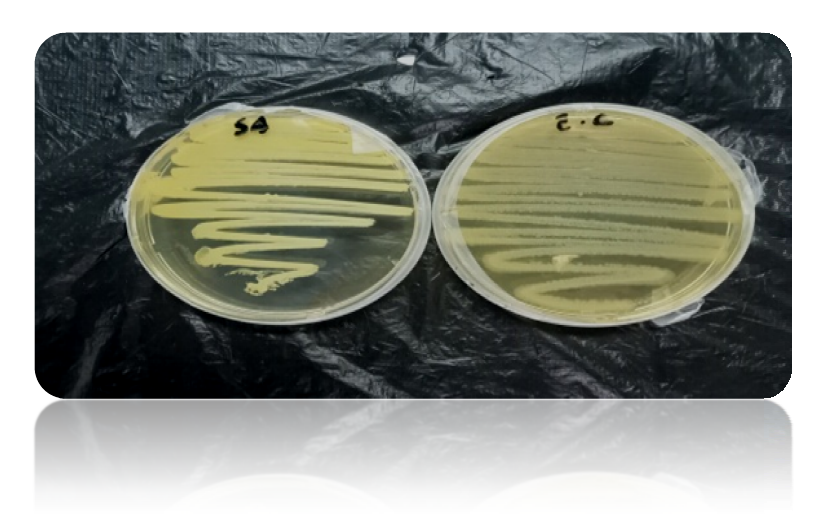


Figure II. 12. Technique des stries pour réactivation des souches antibactérienne.

> Préparation de l'inoculum

Pour préparer l'inoculum, 1 à 2 colonies similaires bien isolées sont prélevées à l'aide d'une anse en platine puis déchargées dans de l'eau physiologique stérile. La suspension bactérienne est ensuite homogénéisée à l'aide d'un vortex et la densité optique doit être entre 0.08 et 0.10, lue à une longueur d'onde de 620 nm correspondant à 10⁸ UFC/ml. (**Figure II.13**).



Figure II. 13. Préparation de l'inoculum.

Ensemencement

A partir de différentes suspensions bactériennes, les boîtes de pétri contenant la gélose Mueller-Hinton ont été ensemencées par la méthode des quatre quadrants à l'aide des écouvillons stériles puis incubées à 37°C (**Figure II.14.**).

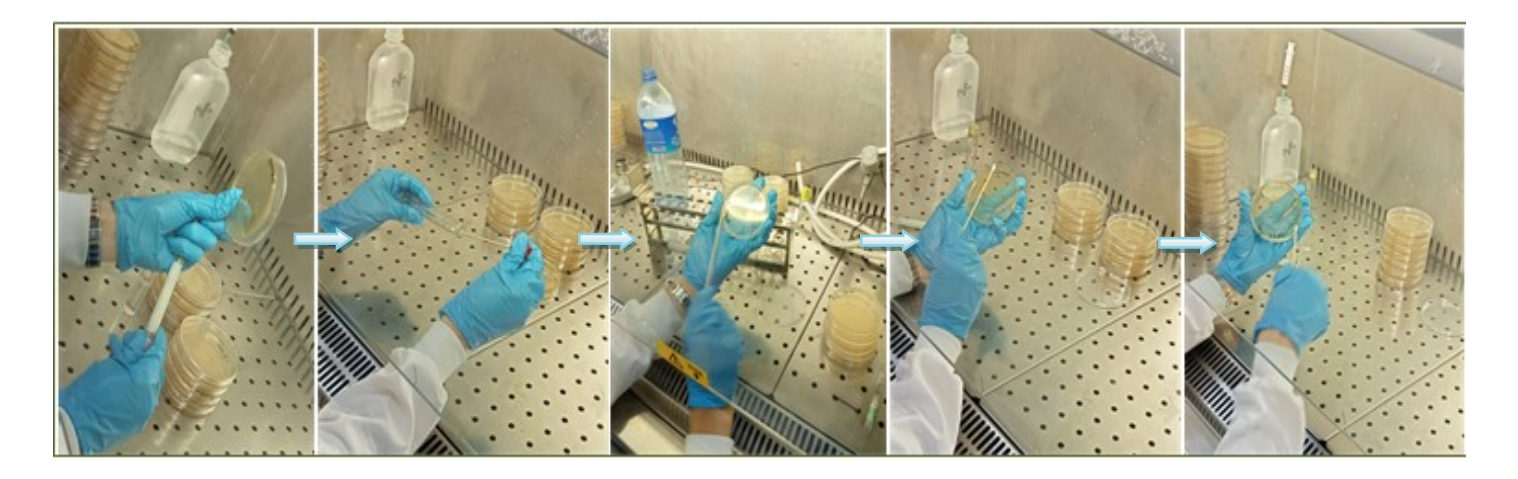


Figure II. 14. Ensemencement des boites par différentes souches bactériennes.

> Préparation des extraits à tester

Des solutions de concentration 20 mg/mL ont été préparé pour chaque extrait dilué dans l'éthanol 70%.

✓ Méthode de diffusion des disques

La technique utilisée pour évaluer la sensibilité des souches microbiennes au différent extraits et HE s'est décrite par Tsirinirindravo et al. [102] avec quelques modifications.

- Des disques de papier Whatman N°1 ont été découpés avec un diamètre égal à 6 mm, puis stérilisés dans une boîte en verre, ils ont été ensuite imprégnés par une micropipette avec 5-20μl des différentes solutions mères (Extraits et HEs),
- Les disques préparés sont déposés à l'aide d'une pince stérile, sur la surface des milieux qui sont déjà ensemencés.
- Les boites ont été incubées à 37 °C à l'étuve pendant 24-48 h.
- Des disques d'antibiotiques standards (gentamicine) ont été également utilisés pour servir de témoins positifs.

✓ Méthode des puits

Cette technique (Figure II.15) contient les étapes suivantes :

Une fois la gélose inoculée et sèche, utilisez un perforateur de bouchon stérile pour créer

Des puits d'environ 6 à 8 mm de diamètre, en les espaçant suffisamment pour éviter toute interférence entre les zones d'inhibition. Assurez-vous que les puits sont bien formés et que la gélose autour des puits ne présente aucune fissure. Cette méthode est privilégiée pour les crèmes, car la capacité des disques est limitée.

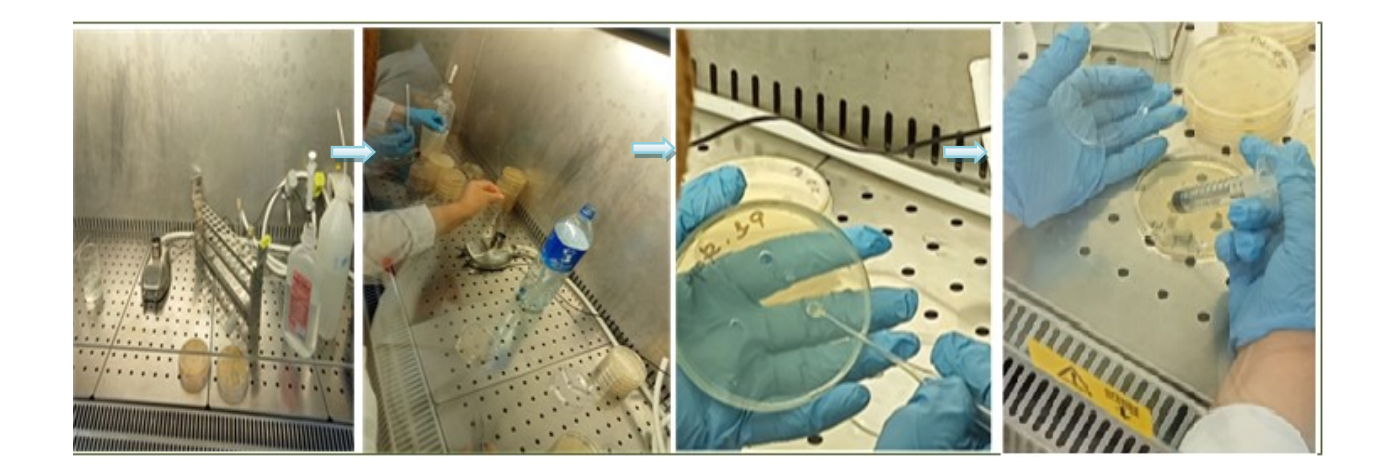


Figure II. 15. Méthode des puits.

II.2.8.2. Activité antifongique

Les mêmes opérations ont été effectuées avec le candidat es. Dans ce cas, le milieu de culture Sabouraud a été utilisé, tandis que le milieu PDA a été utilisé pour le *Fusarium oxysporum* (FOL). L'objectif de notre expérience est d'évaluer l'activité fongicide des extraits et des HEs des plantes étudies. La méthode utilisée pour évaluer l'activité antifongique est la technique de diffusion par puits pour le FOL et la méthode des diffusions des disques pour le candidat, qui permet de mesurer l'impact des extraits et de l'huile sur les champignons, ainsi que d'évaluer leur résistance ou sensibilité.

Fusarium oxysporum

Le genre Fusarium est largement reconnu pour son rôle significatif dans la pathologie végétale, englobant de nombreuses espèces. Fusarium oxysporum est un champignon commun et répandu, particulièrement présent dans le sol où il survit grâce aux chlamydospores pendant les mois froids. En tant qu'agent pathogène des plantes, il se présente sous de nombreuses formes spécialisées (plus de 72 sont connues). Ces formes sont adaptées à des espèces végétales spécifiques et à des races physiologiques ciblant des variétés particulières de plantes hôtes.

Les étapes suivi pour l'étude de l'activité anti-FOL sont les suivants :

- Le bec Bunsen a été allumé pour créer une zone stérile (flamme bleue).
- Les boîtes de Pétri neuves ont été étiquetées avec les informations nécessaires (date, code de la souche, nom des manipulateurs).
- Le PDA a été sorti de l'autoclave et laissé refroidir sous la hotte jusqu'à atteindre une température de surfusion (45 °C). Il a ensuite été versé dans les boîtes de Pétri et laissé se solidifier sur la paillasse.
- Un disque de culture fongique de 5 mm de diamètre a été soigneusement placé au centre de chaque boîte de Pétri à l'aide d'une pipette Pasteur stérile contenant un milieu de culture PDA. Chaque puits a été rempli avec 30 µl de chaque concentration (3 répétitions pour chaque extrait).
- Une dilution d'éthanol a été utilisée comme contrôle positif (+). Le contrôle négatif (-) ne contenait que du milieu PDA, sans aucun produit.
- Les boîtes de Pétri ont été scellées et placées dans un incubateur à 25 °C pendant 48 heures.

Après deux jours d'incubation à 25 °C, la croissance mycélienne de Fusarium oxysporum a été mesurée en millimètres. Les résultats ont été exprimés en pourcentage d'inhibition de la croissance pour comparer l'efficacité des extraits et de l'huile essentielle en utilisant la formule suivante :

Taux d'inhibition (I) = $((C-T)/C) \times 100...II.6$.

Où:

- I : taux d'inhibition du champignon testé.
- C : diamètre moyen de la croissance du champignon sur le milieu témoin (+).
- T : diamètre moyen de la croissance du champignon en présence de l'huile essentielle/extrait.

Le disque déposé à l'origine a un diamètre de 5 mm. La croissance est mesurée à partir de ce diamètre initial.

II.2.9. Formulation et caractérisation de la crème

Cette partie présente les différentes étapes de la fabrication d'une émulsion semi-solide (crème). En effet, en fonction de la nature de l'émulsion, lipophile (E/H) ou hydrophile (H/E), la fabrication implique une série de choix tels que :

- Les ingrédients (nature des 2 phases, tensioactifs émulsifiants, concentration, additifs, etc.);
- Les tests biologiques sur les deux types de crème afin de déterminer la plus efficace

II.2.9.1. Etapes de la formulation

Deux types de crème ont été formulés, un hydrophile (H/E) et l'autre lipophile (E/H), selon les étapes schématisées dans la **Figure II.16.**

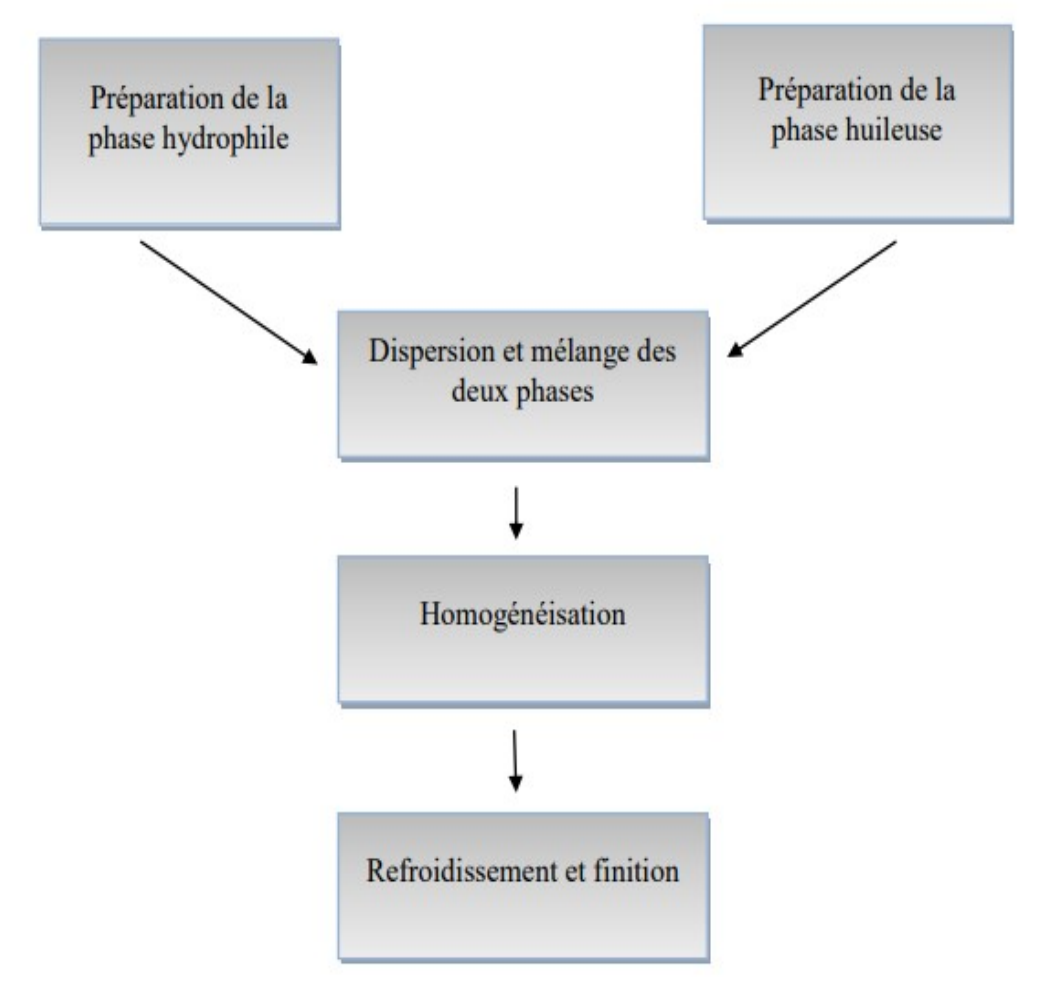


Figure II. 16. Diagramme du procédé de fabrication d'une émulsion.

Les activités antimicrobiennes (antibactérienne et antifongique) ont été effectuées afin d'évaluer la qualité des crèmes préparées.

II.2.9.2. Optimisation de la formulation

Afin de choisir la formulation la plus efficace, une étude paramétrique a été réalisée. Le premier paramètre à optimiser est le type d'émulsion. Pour cela, deux types de crème ont été formulé, un hydrophile (H/E) et l'autre lipophile(E/H).

Le deuxième paramètre à optimiser est le dosage de la crème. Donc dans ce cas, des crèmes hydrophiles (H/E) ont été préparées et caractérisées, il s'agit de :

- Crème 1 contient 0.2% de teneur en Príncipe actif.
- Crème 2 contient 0.3% de teneur Príncipe actif.
- Crème 3 contient 0.5% de teneur Príncipe actif.

La crème qui donne une activité biologique plus prononcée sera choisie pour le reste du travail.

II.2.9.3. Contrôle de qualité de la crème formulée

Différents essais sont réalisés afin d'évaluer la qualité de la crème obtenue, il s'agit de :

Caractéristiques organoleptiques

Les crèmes ont été évaluées visuellement pour leur aspect, couleur et odeur.

> Mesure du pH

Le PH a été mesuré à température ambiante par un PH mètre.

Examen microscopique

Une goutte de crème a été observée au microscope pour évaluer la forme et la dispersion des gouttelettes.

> Type d'émulsion

Le type d'émulsion (huile dans eau H/E ou eau dans huile E/H) a été déterminé par la méthode de dilution :

- 2,5g de crème mélangés à 3ml d'eau distillée
- Si le mélange est homogène, l'émulsion est de type H/E (hydrophile)

➤ Mesure de la viscosité

La consistance de la crème est évaluée grâce à un viscosimètre rotatif. La mesure se fait à une température ambiante et une vitesse de 0.6 rpm.

Étude de stabilité

La stabilité des émulsions cosmétiques est effectivement déterminée par le test du vieillissement

accéléré qui permet un suivi de la stabilité physico-chimique au cours du temps. Ce test consiste à stocker les émulsions à une température élevée (généralement 40°C) pendant 2h afin d'accélérer le vieillissement et d'évaluer leur stabilité.

Ce test a pour objectif d'appréhender la résistance du produit cosmétique au stockage et à l'expédition. Il est réalisable par deux méthodes :

- Le vieillissement en enceinte climatique : qui fait subir aux émulsions des cycles de chaudfroid répétés ;
- La sédimentation forcée : en utilisant une centrifugeuse pour accélérer la sédimentation.

Dans notre étude, on a stocké les crèmes à différentes températures (4°, 40° et 60°) pendant 2h; En plus, la sédimentation forcée a été réalisée comme suit :

- Prélever 1.5 ml des crèmes préparées.
- Mettre les échantillons dans une centrifugeuse à 2000 rpm pendant 10min.
- Evaluer l'aspect de l'émulsion obtenue.

> Etude de l'irritation cutanée

L'étude de l'irritation cutanée a été évaluée en appliquant la crème préparée en couche mince sur les bras ou les mains de dix volontaires et les résultats sont notés 12h et 24h après.

> Etude in-vivo de l'effet anti-brûlure et cicatrisant

L'objectif de cette étude est d'évaluer l'activité anti-brûlure et cicatrisante de la crème produite sur un modèle animal afin pour prouver et évaluer l'efficacité de la crème pour accélérer la cicatrisation des brûlures du deuxième degré, éliminer les cicatrices et pour prouver la sécurité du produit afin qu'il puisse être utilisé pour traiter les brûlures chez l'homme, notamment chez l'enfant. De même, en comparant l'effet de la crème avec celle commercialisée : Biafine Pour indiquer laquelle des deux crèmes est la plus efficace pour traiter les brûlures.

- Protocole expérimental

L'expérience in vivo a été réalisé sur 10 rats de laboratoire de souche Wistar âgés de 6 mois, de sexe male et de poids compris entre 260 et 300 g (poids moyen= 294,38 g) fournit par le Centre de Recherche en Sciences Pharmaceutiques (CRSP). L'ensemble de l'expérimentation a été réalisée dans le service d'exploitation animale. Ces rats sont utilisés après une période d'adaptation au sein de laboratoire dans des cages en plastiques, dont ils ont l'accès libre à l'eau et à l'alimentation. Ils ont réparti en 3 lots comme récapitulé dans le **Tableau II.6** et représenté dans la **Figure II.16**.

Lot	Dénomination	Caractéristiques
Lot 01	Témoin (contrôle négatif)	Deux rats, les rats de ce lot n'ont reçu aucun traitement
Lot 02	Référence (contrôle positif)	Quatre rats reçoivent une crème anti-brulure commercialisée (BIAFINE®)
Lot 03	Test	Quatre rats reçoivent la crème préparée.

Tableau II. 6. Répartition des rats en lots.





Figure II. 17. Répartition des rats.

- Induction des brûlures et des plaies

Les rats ont été anesthésiés par la kétamine, puis leurs peaux ont été rasées sur les deux coté à l'aide d'une lame de rasoir électrique. La peau rasée a été désinfectée par l'alcool éthylique à 70%. Ensuite, une spatule en métal de 22,89 cm² (5,4 cm de diamètre) a été chauffée à 97°C dans une plaque chauffante. Sur le premier côté, nous appliquons la spatule chaude sur la peau du rat pendant un temps suffisant pour créer une brûlure de pleine épaisseur sur environ 20% de la surface corporelle totale. Sur l'autre coté et a l'aide d'un bistouri, des plaies de 2 cm ont été induites sur les même rats (**Figure II.17**).

- Application topique des traitements

Les crèmes sont appliquées quotidiennement pendant 14 jours (à raison de deux fois par jour). L'observation macroscopique est réalisée avant chaque nouvelle application par immobilisation de l'animal sur paillasse. L'évolution des lésions est effectuée en utilisant comme paramètres :

- ✓ La surface brûlée et la surface de la plaie.
- ✓ La profondeur de la plaie.
- ✓ L'apparition ou non d'un œdème.
- ✓ La taille des rats
- ✓ La réapparition des poiles

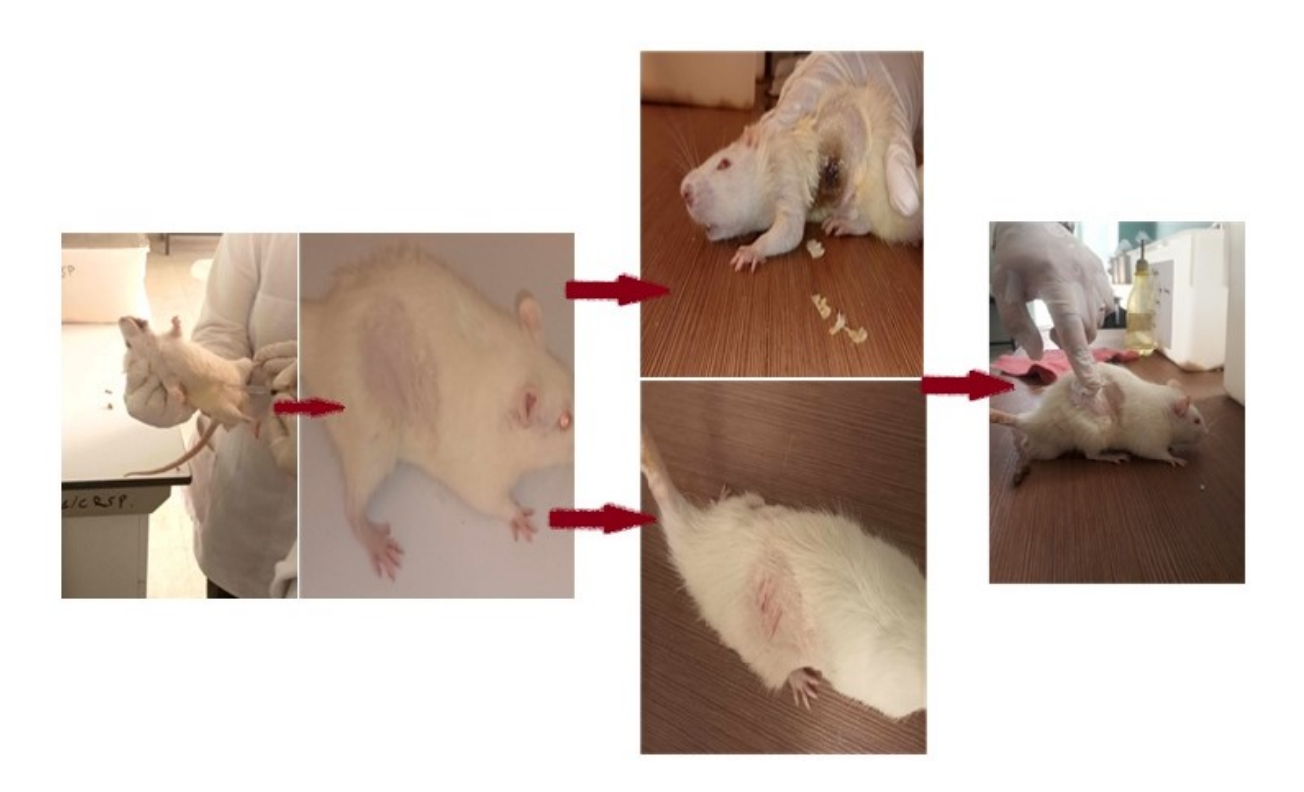


Figure II. 18. Induction des brûlures et des plaies sur les rats.

Chapitre III RESULTATS ET DISCUSSIONS

CHAPITRE III RESULTATS ET DISCUSSIONS

Dans cette partie, nous allons présenter et discuter les résultats obtenus des différentes expériences et analyses exposées dans le chapitre précédent. Tout d'abord, nous examinerons les résultats de l'optimisation de la macération par le plan Box-Behnk, la teneur en polyphénols des extraits des deux plantes et l'analyse des HEs par GCMS. Ensuite, nous décrirons les résultats des activités biologiques. Enfin, la dernière partie porte sur les résultats des essais réalisés sur la crème préparée.

III.1. Extraction par macération et par hydrodistillation

III.1.1. Rendement de la macération par Box Benken

Dans le présent travail, le plan "Box-Behnken" a été exécuté afin d'optimiser le rendement de l'extraction par macération pour chaque plante étudiée. De ce fait, trois facteurs ont été étudiés : la durée d'extraction, la composition du solvant d'extraction et la quantité de la matière végétale. Après avoir fixé les niveaux d'étude pour chaque facteur, on a réalisé 15 expériences et les résultats du rendement d'extraction sont illustrés dans le **Tableau III.1**.

Tableau III. 1. Résultats des essais du plan Box Benken.

N	Cyprès				Cardoncelle bleue			
expérienc	Durée	quantité	Solvan	Rendemen	Temp	quantité	solvan	Rendemen
e			t	t % (Y1)	s		t	t% (Y2)
1	-1	-1	0	10.2	-1	-1	0	12.4
2	1	-1	0	14.2	1	-1	0	8.3
3	-1	1	0	3.09	-1	1	0	5.84
4	1	1	0	1.8	1	1	0	1.34
5	-1	0	-1	7.68	-1	0	-1	7.43
6	1	0	-1	6.76	1	0	-1	6.73
7	0	0	1	4.8	0	0	1	5.9
8	0	0	1	3.08	0	0	1	5.86
9	0	-1	-1	11.1	0	-1	-1	10.6
10	0	1	-1	2.22	0	1	-1	4.06
11	0	-1	1	5.2	0	-1	1	12.6
12	0	1	1	3.4	0	1	1	6.2
13	0	0	0	12.12	0	0	0	9.1
14	0	0	0	11.84	0	0	0	7.1
15	0	0	0	11.6	0	0	0	8.966

III.1.1.1. Etablissement de l'équation de modèle

La réponse du plan (le rendement de l'extraction) est établie sous forme d'équation polynomiale en tenant compte de l'influence des variables et leurs interactions. Pour chaque plante on a l'équation du modèle:

Y1=11.8533+0.0988A-3 .7737B-1.3200C-2.1254A*A-2.14054B*B-3.9679C*C-1.3225A*B-0.02A*C+1.77B*C.

Y2=11.5867-1.3900A-4.6525B-1.5975C-1.0158A*A-0.6408B*B-1.38081C*C+0.39A*B-0.53A*C+0.415B*C.

Avec Y1: Rendement de cyprès (%)

Y2: Rendement de cardoncelle bleu (%)

III.1.1.2. Analyse statistique

Afin d'estimer la pertinence du modèle et de déterminer les paramètres influençant significativement sur l'extraction, une analyse de variance ANOVA est réalisée. La validité de modèle est exprimée par le coefficient de détermination R² et la valeur de F observé.

La table d'analyse de la variance pour le rendement d'extraction est représentée dans le **Tableau III. 2**.

Tableau III. 2. Table d'ANOVA pour le rendement d'extraction.

Variance	SCE		DDL	Fobs		\mathbb{R}^2		R ² ajusté	
	Y1	Y2		Y1	Y2	Y1	Y2	Y1	Y2
Linéaire	222.397	129.835	9	5 .52	9.48	94.46%	89.05%	84.49%	86.06%
Résidu	22.394	13.883	5				<u> </u>		I
Total	244.791	250.678	14						

D'après le **Tableau III.2**, nous constatons que la valeur de R² est de 94.46% et 89.05%, ce qui signifie qu'il existe seulement 5.54% et 9.155% des variations qui ne sont pas expliquées par le modèle. De plus, nous notons que la valeur du coefficient de détermination R² ajusté est égale à 84.49% et 86.06% (> 80%), et que Fobs (5.52 et 9.48) sont supérieurs à F critique (4.77) tirée à partir du tableau en **Annexe 6**, ce qui révèle que le modèle est valide et linéaire Une comparaison des valeurs réelles et prédites du rendement d'extraction a été réalisée et les résultats sont illustrés dans la **Figure III.1**. Nous notons que les valeurs réelles et les prédites sont presque similaires, donc on peut déduire que le modèle mathématique suggéré a effectivement reproduit les valeurs observées du rendement.

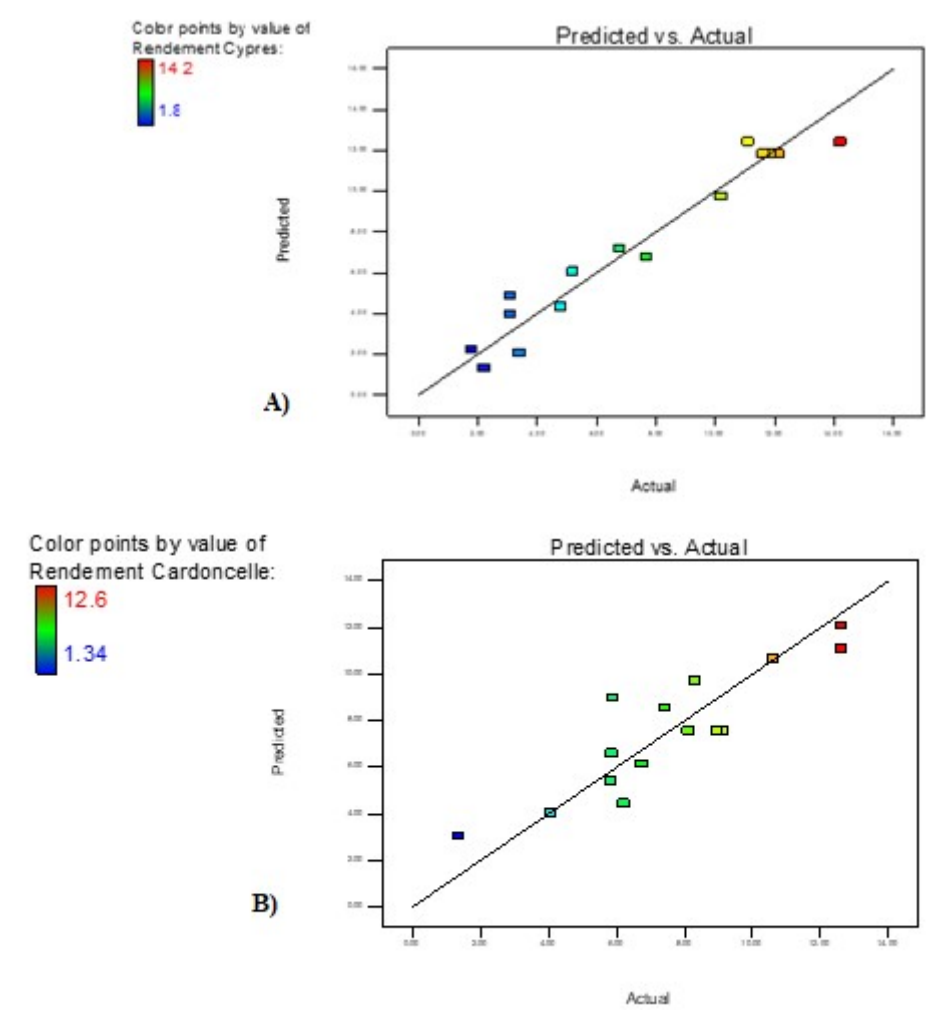


Figure III. 1.Comparaison des valeurs réelles et prédites du rendement d'extraction du cyprès (A) et de la cardoncelle (B).

III. 1.1.3. Analyse des effets des facteurs

Un effet d'un facteur ou d'une interaction sera dit significatif s'il est pour un risque (α =0,05), significativement différent de 0, en suivant la règle du test : Si |ti|> t critique, l'effet est significatif. Sinon, l'effet n'est pas significatif.

La valeur de teritique = 2.5 (ddl=5) est tirée du tableau de test de student bilatéral inséré en **Annexe** 5. Les résultats de l'étude de la signification des effets des facteurs et leurs interactions sur le rendement sont illustrés dans le **Tableau III.3**.

Tableau III. 3. Effets des facteurs et leurs interactions sur le rendement

Terme	Y1		Y2		
	Ti	P	Ti	p	
Constante	11.8533	0.000	9.483	0.000	
A	0.0088	0.989	-1.858	0.122	
В	-3.7738	0.001	-6.218	0.002	

С	-1.4100	0.062	-2.135	0.086
A*A	-2.2154	0.051	-0.922	0.399
B*B	-2.3154	0.044	-0.582	0.586
C*C	-4.0579	0.005	-1.254	0.265
A*B	-1.3225	0.173	0.369	0.728
A*C	-0.200	0.820	-0.501	0.638
B*C	1.7700	0.087	0.392	0.711

■ Effet significatif

L'analyse du tableau ci-dessus indique que la quantité de poudre affecte de manière significative le rendement de l'extraction du cyprès et de la cardoncelle.

Des résultats similaires ont été trouvés par Fernández-Ronco et al qui ont trouvés que le rapport poudre : solvant montre une influence statistiquement significative sur le rendement d'extraction de l'oléorésine[54].

En plus, le facteur solvant*solvant a un effet négatif sur le rendement de l'extraction du cyprès. Cet effet était négatif pour les deux plantes.

Les autres facteurs et les interactions étudiés n'ont pas d'effet significatif sur le rendement d'extraction des deux plantes.

Par ailleurs, Kouwelton et al. Ont montré que l'effet des conditions opératoires sur le rendement de la macération varie en fonction de la plante utilisée. Deux facteurs (la quantité de la poudre végétale et le type du solvant) étaient signifiants sur l'extraction d'Alchornea cordifolia alors que quatre facteurs étaient signifiants sur le rendement de l'extraction du Tridax procumbens à savoir la quantité de la poudre végétale, la granulométrie, le type du solvant et le temps de macération; alors que seulement [55].

On peut conclure donc que l'effet des facteurs ainsi que leurs significations dépendent de plusieurs paramètres tels que le type de la plante étudiée, la technique d'extraction utilisée, les niveaux des facteurs et les possibles interactions entre eux, etc.

III.1.1.4. Analyse graphique

III.1.1.4.1. Tracés des effets principaux

La quantité de la poudre a un effet négatif sur le rendement des deux plantes (**Figure III.2**). Ceci est expliqué par le fait qu'en augmentant la quantité de poudre, le solvant ne peut facilement pénétrer dans la matière ce qui gêne l'extraction et minime le rendement d'extraction, il s'agit de la saturation du solvant par la poudre de la plante[56].

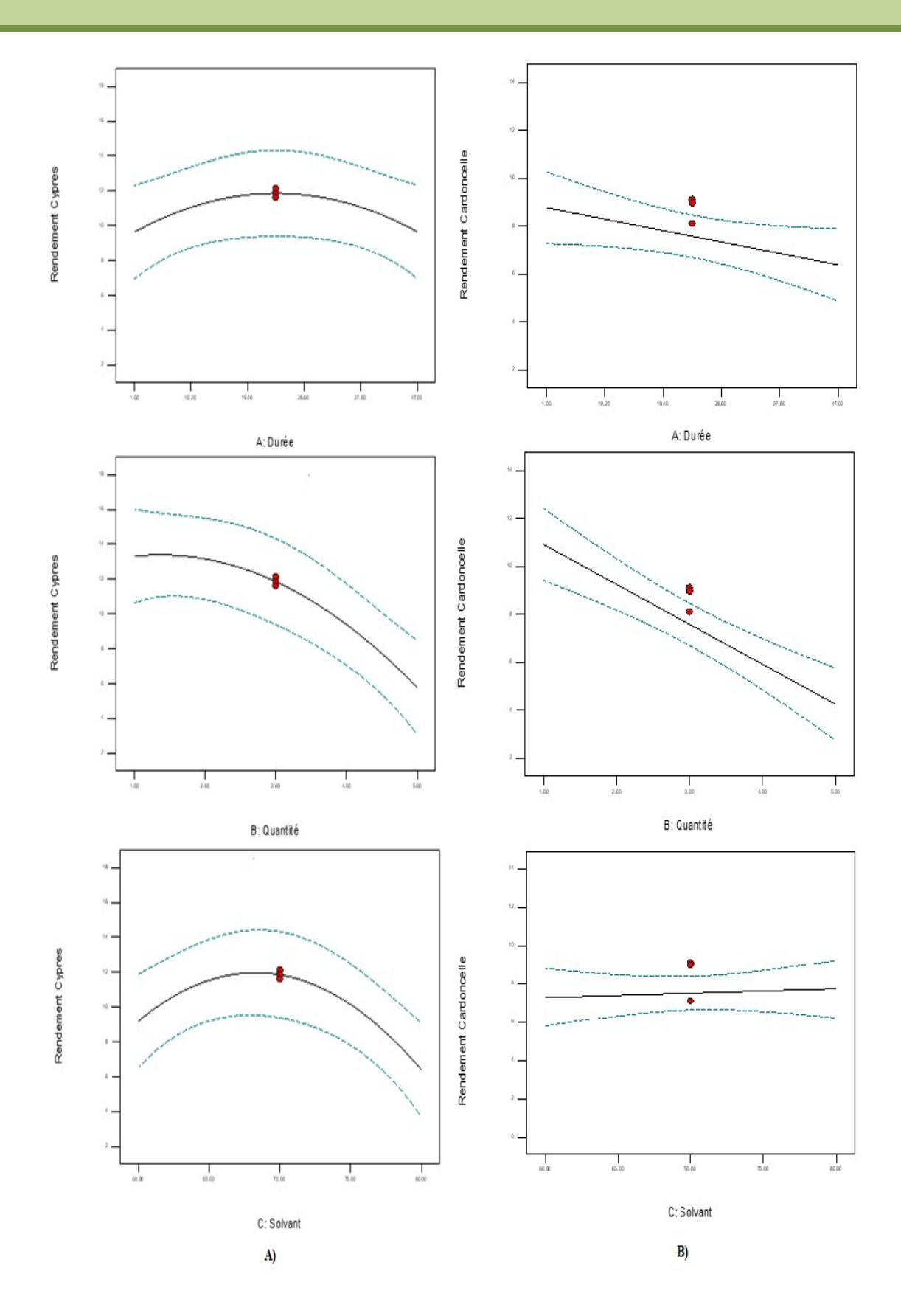


Figure III. 2.Tracés des effets principaux des facteurs sur le rendement. A) du cyprès; B) de la cardoncelle.

III.1.1.4.1. Tracés de contour

Les contours plot et les surfaces plots sont représentés sur les Figures III.3 et III.4

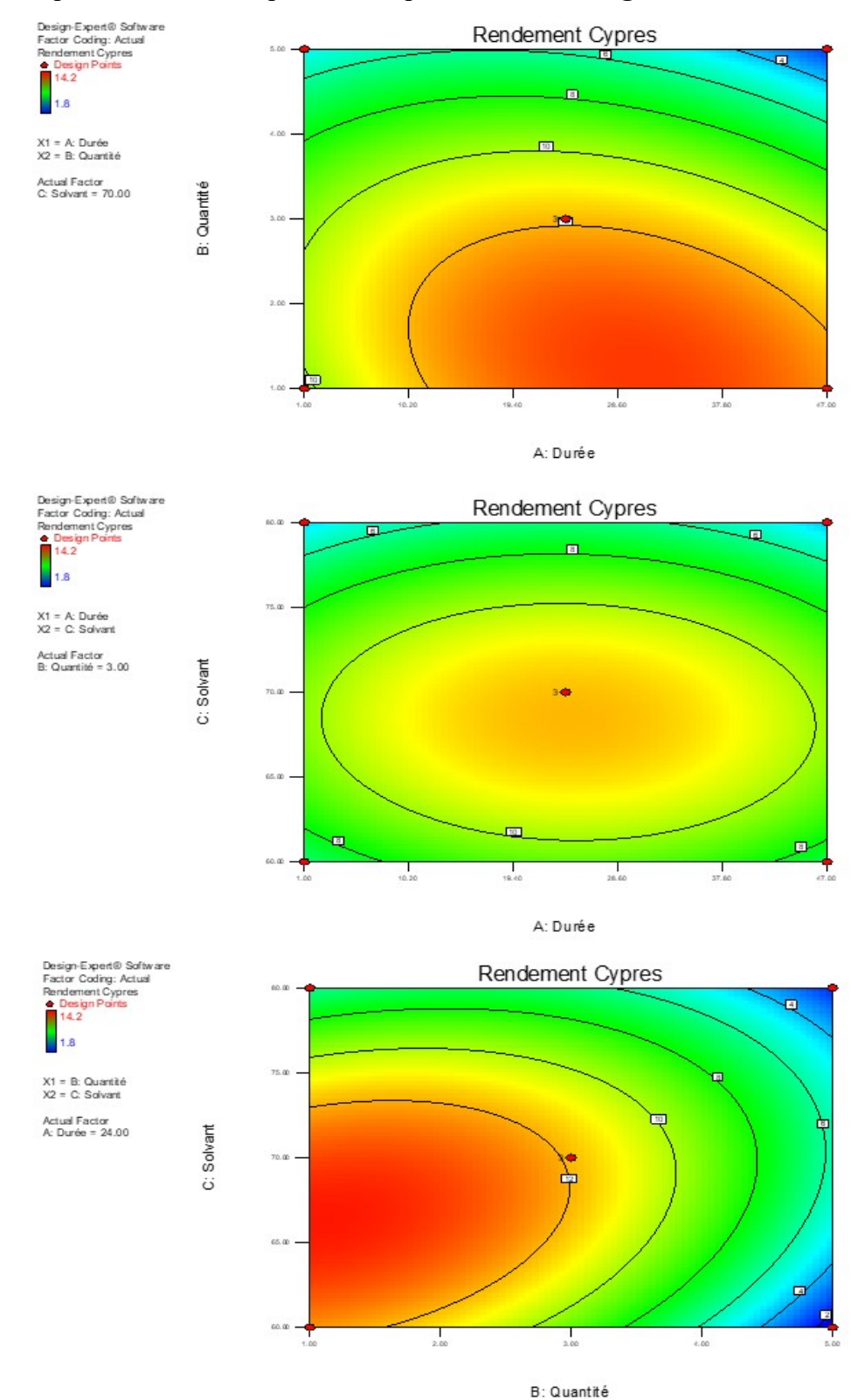


Figure III. 3. Tracé de contour du rendement d'extraction du cyprès.

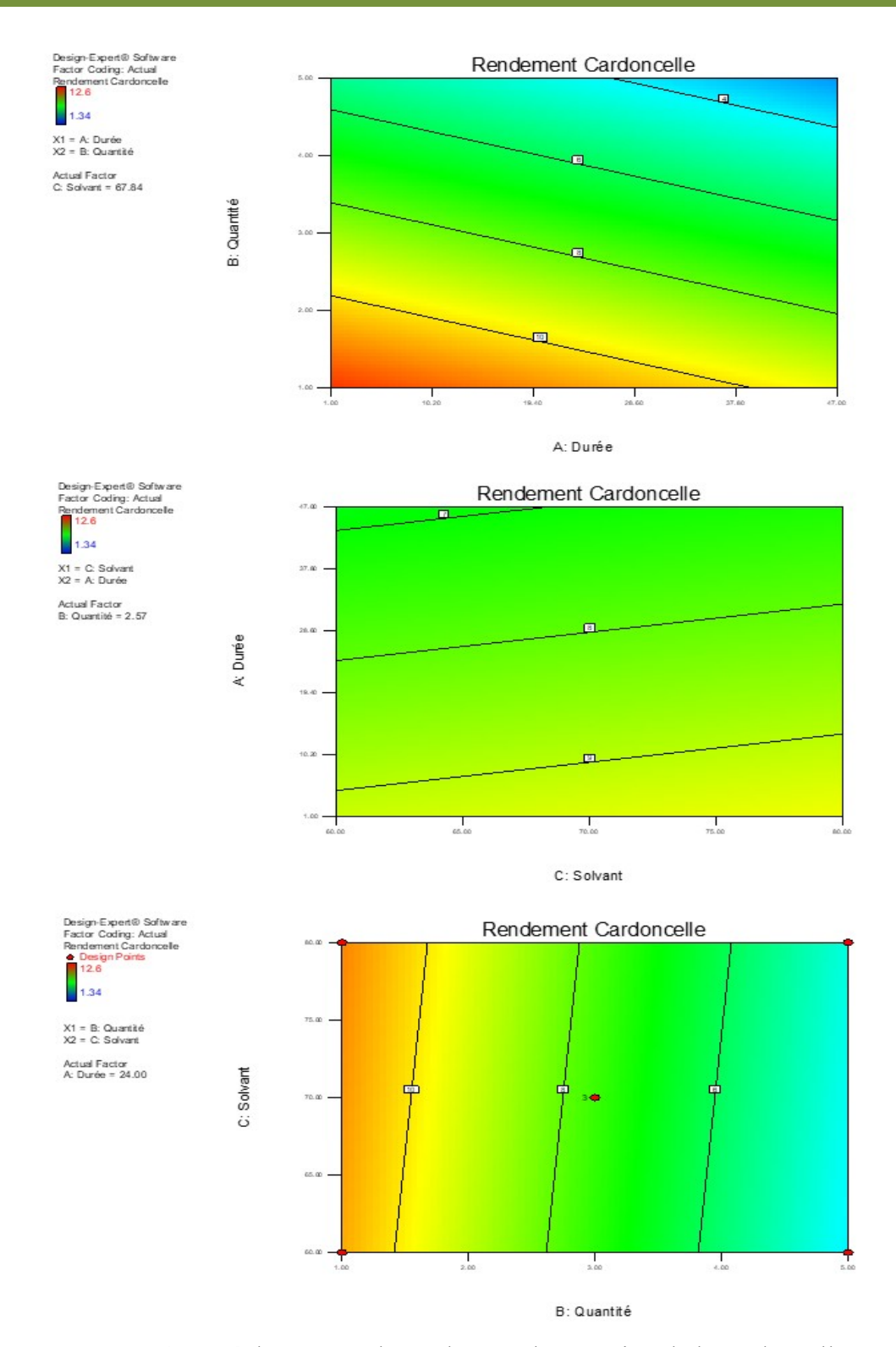


Figure III. 4. Tracé de contour du rendement d'extraction de la cardoncelle.

D'après les figures III.3 et III.4, nous constatons une récupération maximale de l'extrait au niveau bas de la quantité de matière. Dans le cas du cyprès, la composition du solvant et la durée d'extraction donnent un rendement élevé à leur niveaux moyen, tandis que dans le cas

de la cardoncelle, un rendement élevé est peut être observé avec une courte durée d'extraction avec un pourcentage élevé du solvant.

III.1.6. Détermination des paramètres optimaux

Après optimisation du rendement par plan d'expérience et afin de confirmer l'efficacité du model; les conditions optimales de l'extraction de chaque plante ont été appliquées, les masses grattées de chaque extrait ont été pesées, et les rendements ont été calculés.

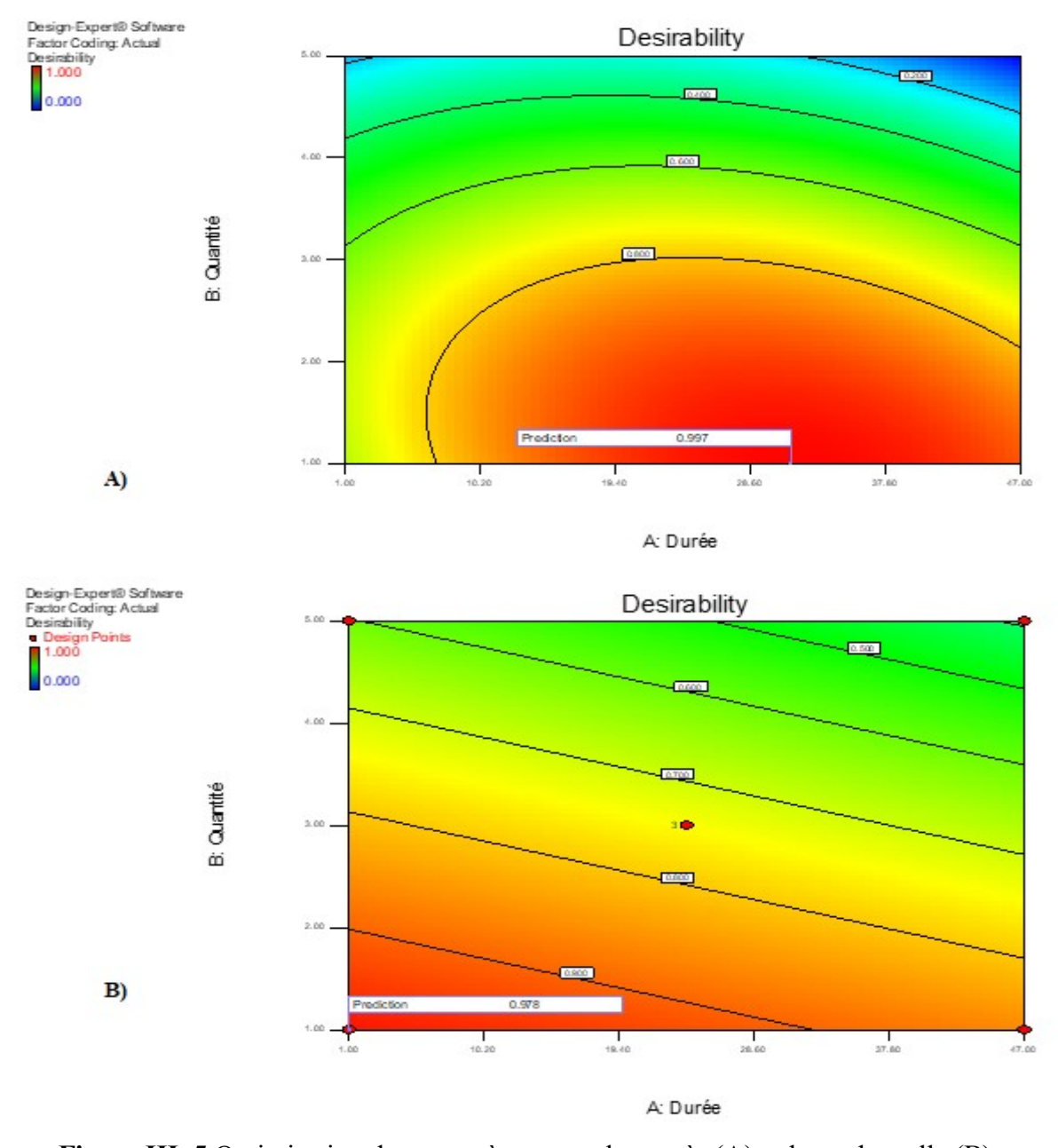


Figure III. 5. Optimisation des paramètres pour le cyprès (A) et la cardoncelle (B).

La **Figure III.5** représente la fonction de désirabilité du rendement de l'extraction du cyprès et de la cardoncelle et. La désirabilité était 0.997 et 0.978 pour le rendement de l'extraction du cyprès et de la cardoncelle, respectivement donc l'optimum a été confirmé expérimentalement. Le **Tableau III.4.** Représente le pourcentage d'erreur entre les valeurs observées et les valeurs prédites.

Le rendement de l'extraction du cyprès a une valeur de 11.6 % et celui du cardoncelle a une valeur de 12.04 % et les pourcentages d'erreurs étaient dans les deux cas < 10 % ce qui confirme la validité du plan réalisé.

Tableau III. 4.Rendements théorique et expérimentale de l'extraction des plantes sous conditions optimales.

Produit	Extrait	cyprès	Extrait ca	ordoncelle
Type de valeur	Théorique	Expérimentale	Théorique	Expérimentale
Rendement (%)	11.11 11.6		12.09	12.4
Erreur (%)	4.	.4	2	.5

La figure ci-dessous représente les extraits obtenus pas macération.



Figure III. 6. Extraits des plantes : cyprès (A) et cardoncelle (B).

Le rendement d'extraction dépend de plusieurs facteurs, notamment du choix du solvant. Des études montrent que l'extraction à partir d'un mélange d'eau et d'éthanol donne un meilleur rendement que l'utilisation d'éthanol pur ou d'eau seule. Cette observation suggère que la combinaison de ces solvants organique et aqueux facilite le processus d'extraction, accélérant ainsi la dissolution des composés polaires et non polaires solubles dans les solvants éthanol et eau. De plus, l'extraction éthanol/eau augmente la teneur en phénols, attribuée à la polarité accrue et aux liaisons hydrogène plus fortes par rapport à l'extraction à l'éthanol seul.[57]

III.1.2. Rendement de l'extraction des huiles essentielles

Les résultats numériques du rendement obtenu HEs sont récapitulés dans le **Tableau III.5.** Les HEs obtenues (**Figure III.7.**) par le procédé de Clevenger pour le cyprès est plus élevé que l'hydro distillation incluse dans le travail [58]. Mais il présente un rendement faible par

rapport aux extraits obtenus par macération dans l'éthanol. La cardoncelle présente un rendement très faible, cela peut être expliqué par l'utilisation de la partie souterraine de la plante (rhizomes).

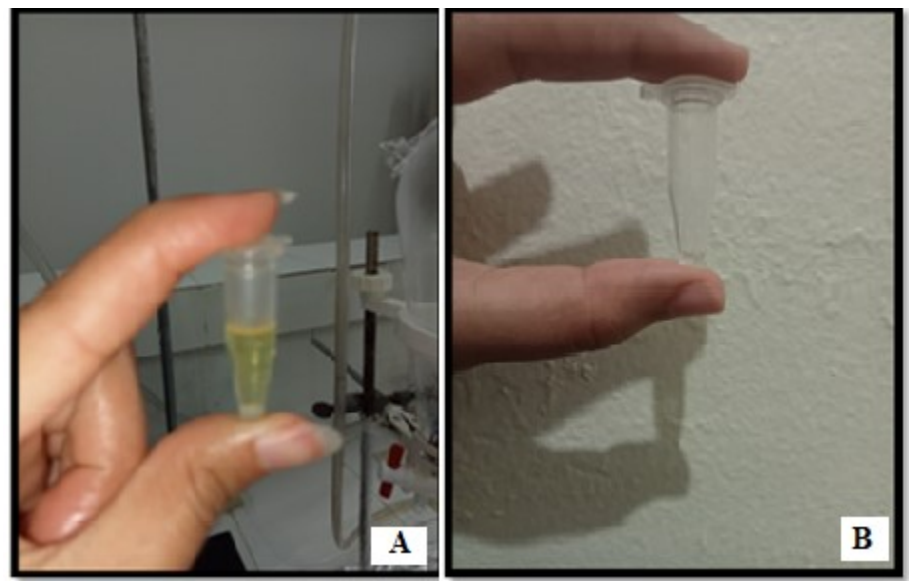


Figure III. 7. Huiles essentielles des plantes (: cyprès (A) et cardoncelle B).

Tableau III. 5.Rendement des huiles essentielles pour chaque plante.

Plante	Cyprès	Cardoncelle
Rendement %	0.635	0.03

Les HEs obtenues ont été des liquides limpides avec une odeur agréable chacune. L'HE du cyprès a une couleur jaunâtreet celle du cardoncelle est incolore (Figure III.8. A et B). Les caractéristiques des HEs obtenues sont en corrélation avec la norme AFNOR [59]. qui définit les HEs comme des liquides volatiles à température ambiante.

III.2. Caractérisation des huiles essentielles

Les résultats de l'analyse par GCMS, révèlent que l'HE du cyprès contient un total 45 composants chimiques (**Tableau III. 6**). Parmi eux, certains n'ont pas pu être identifiés car ils ne figurent pas dans la base de données du la plateforme utilisée pour l'analyse.

Le principal constituant est le (+)-epi-Bicyclosesquiphellandrene (20.16%), suivi de (E)-N-(4 Hydroxyphenyl)-6-(4-methoxyphenyl)-4-oxohex-5-enamide (9.38 %) et deTerpinen-4-ol (5 %)Le meme compants sont trouvé dans [58] avec le Alpha- pinène a été trouvé comme composé majoritaire avec un taux de (41, 07%)[58].

Tableau III. 6. Analyse qualitative et quantitative de l'HE du cyprès par GC-MS.

Numéro	Composant	TR (min)	Aire %
1	AlphaPhellandrene	7.867	0.78
2	AlphaPinene	8.136	4.16
3	Sabinene	9.460	2.80
4	BetaMyrcene	9.995	0.96
5	Terpinene alpha	11.073	1.71
6	Cymene <para></para>	11.397	1.75
7	D-Limonene	11.613	5.83
8	Gamma. Terpinene	12.813	2.38
9	2-Carene	14.094	1.37
10	1.2.3-Trimethyl-cyclopent-2-enecarboxaldehyde	15.249	0.65
11	1H-Imidazole-4-ethanamine, betabetadimethyl-	15.478	0.22
12	2-Cyclohexen-1-ol. 1-methyl-4-(1-methylethyl)-, trans-	15.613	0.25
13	Bicyclo[3.1.0]hexan-2-ol, 2-methyl-5-(1-methylethyl)-, (1.alpha. 2.alpha	16.445	0.27
14	(E)-N-(4-Hydroxyphenyl)-6-(4-methoxyphenyl)-4-oxohex-5-enamide	18.169	9.38
15	Terpinen-4-ol	18.356	5.00
16	Bicyclo[3.1.0]hexan-3-one, 4-methyl-1-(1-methylethyl) [1S-(1 alpha4.	18.564	3.43
17	L-alpha. Terpineal	18.845	0.42
18	2-Cyclohexen-1-one, 3-methyl-6-(1-methylethyl)-	21.784	0.16
19	Thymol	23.450	0.20
20	4-Terpinenyl acetate	23.828	0.46
21	NI*	26.080	0.97
22	NI	29.084	0.16
23	(1S.4S.4aS)-1-Isopropyl-4,7-dimethyl-1,2,3,4,4a.5-hexahydronaphthale	30.601	5.07
24	NI	30.897	1.07
25	(+)-Epi-Bicyclosesquiphellandrene	31.531	20.16
26	Alpha. Cubebene	31.998	0.25
27	Silphiperfol-6-en-5-one	32.878	6.93
28	NI	33.538	0.43
29	Cadinene <delta-></delta->	33.842	2.96
30	NI	34.365	1.99
31	NI	34.689	0.34
32	NI	36.158	0.41
33	Retinol, acetate	36.883	0.20
34	Cedrol	37.242	1.84
35	NI	37.651	0.87
36	Acorenol calpha->	38.419	8.31
37	NI	38.776	1.23
38	NI	39.231	1.08
39	NI	39.549	0.33

40	NI	39.759	0.37
41	NI	39.990	0.22
42	NI	40.304	0.82
43	Muurol-5-en-4-one <cis-14-nor-></cis-14-nor->		1.30
44	2-Benzofuranmethanol, 2.4.5.6.7.7a-hexahydro-4.4.7a-trimethyl-, cis-		0.36
45	NI	42.975	0.16

NI*: Non identifié

Contrairement à la première plante, l'analyse de l'HE par GCMS de la *Carthamus caeruleus L*. Issu de la région de la Mitidja n'a donné aucun résultat, ce qui pourrait être dû à la présence des gouttelettes d'eau dans son HE.

III.3. Dosage des polyphénols et flavonoïdes

Pour déterminer la teneur en composés phénoliques dans les extraits, on a utilisé les courbes d'étalonnage spécifiques mentionnées dans l'annexe 1 et 2. Les résultats de la teneur en composés phénoliques dans les extraits du cyprès et de cardoncelle obtenus par macération sont présentés dans le **Tableau III. 7.**

Tableau III. 7. Résultats du dosage des polyphénols et flavonoïdes.

Plantes	Cyprès	Cardoncelle
Taux des polyphénols (mg EAG/g d'extrait)	152.92	8.764
Taux des flavonoïdes (mg EQ/g d'extrait)	5.709	3.47

On constate que le taux des polyphénols de cardoncelle est supérieur à celui de flavonoïdes même résultat inclus en [6] Mais le taux des polyphénols et flavonoïdes reste faible devant les feuille de cyprés.

III.4. Activité Antioxydante

Afin d'évaluer l'activité antioxydant des différents extraits, plusieurs méthodes ont été utilisées à savoir : DPPH, ABTS et phénantroline et FRAP. Les calculs sont effectués par la méthode d'équivalence et le standard Trolox est utilisé pour déterminer le composant qui un le pouvoir réducteur le plus élevé. Les microplaques sont représentées en **Annexe 3**.

III.4.1. Méthode du DPPH

Les résultats de l'activité antioxydant par la méthode du DPPH sont regroupés dans le **Tableau III.8**. On a trouvé que l'activité antioxydant varie même pour une même plante (**Figure III.8.**). L'extrait de la cardoncelle montre une forte activité antioxydante, tandis que

son huile n'en présente aucune. En plus, pour le cyprès, l'activité antioxydante est présente dans l'extrait mais absente dans l'huile.

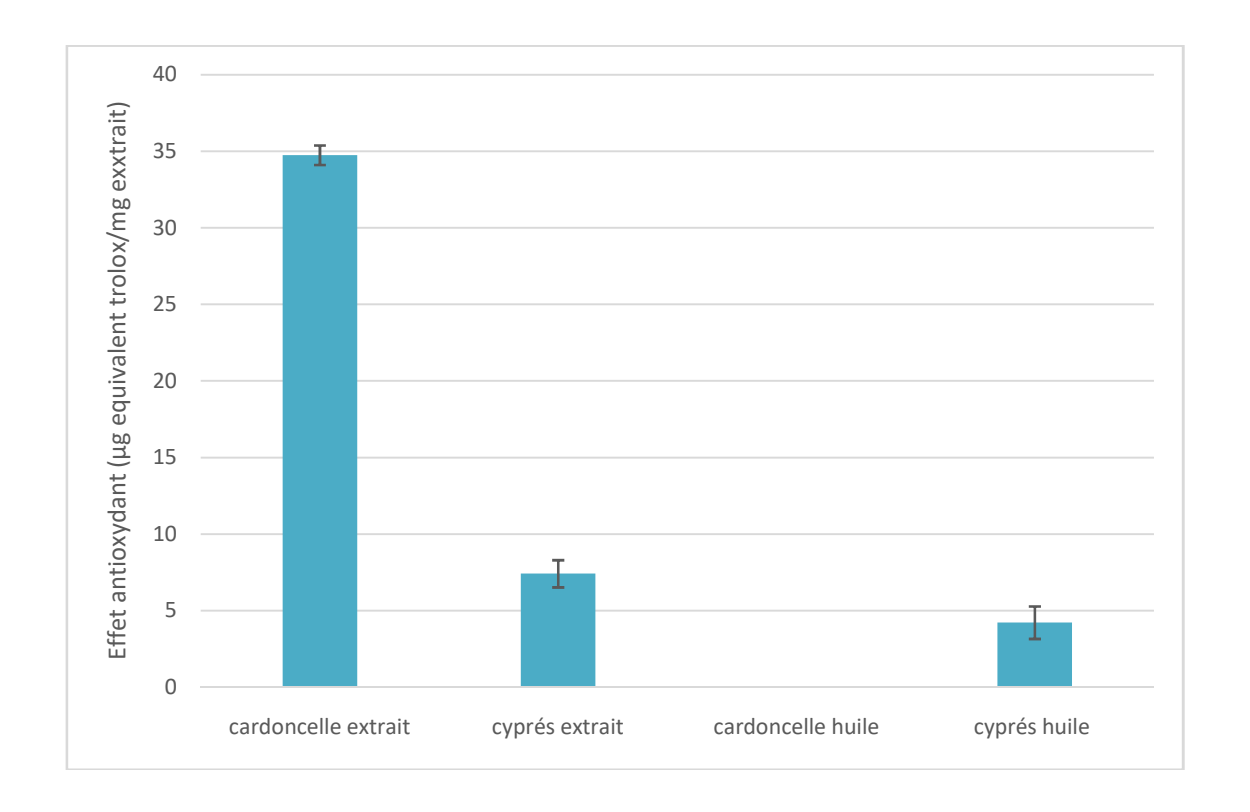


Figure III. 8. Activité anti-radicalaire des huiles et des extraits contre le radical DPPH.

Tableau III. 8. Valeurs des IC50 obtenues des huiles et des extraits contre le radical DPPH.

Plante	Produit	Moyenne ± écart type	IC50 (μg/mL)
Cyprès	Extrait	7,41±0,88	14,83
	HE	4,22±1,06	8,44
Cardoncelle	Extrait	34,74±0,63	69,48
	HE	0	-10,13

III.4.2. Méthode d'ABTS

L'histogramme présenté dans la **Figure III.9**, illustre la répartition des valeurs d'activité antioxydante (ABTS) de différentes espèces de plantes, mesurées en microgramme (µg) equivent de Trolox par milligramme (mg) d'extrait. En plus, le **Tableau III.9**. Représente la répartition des valeurs d'activité antioxydante ABTS. Les extraits ont une activité plus prononcée que les HEs des deux plantes.

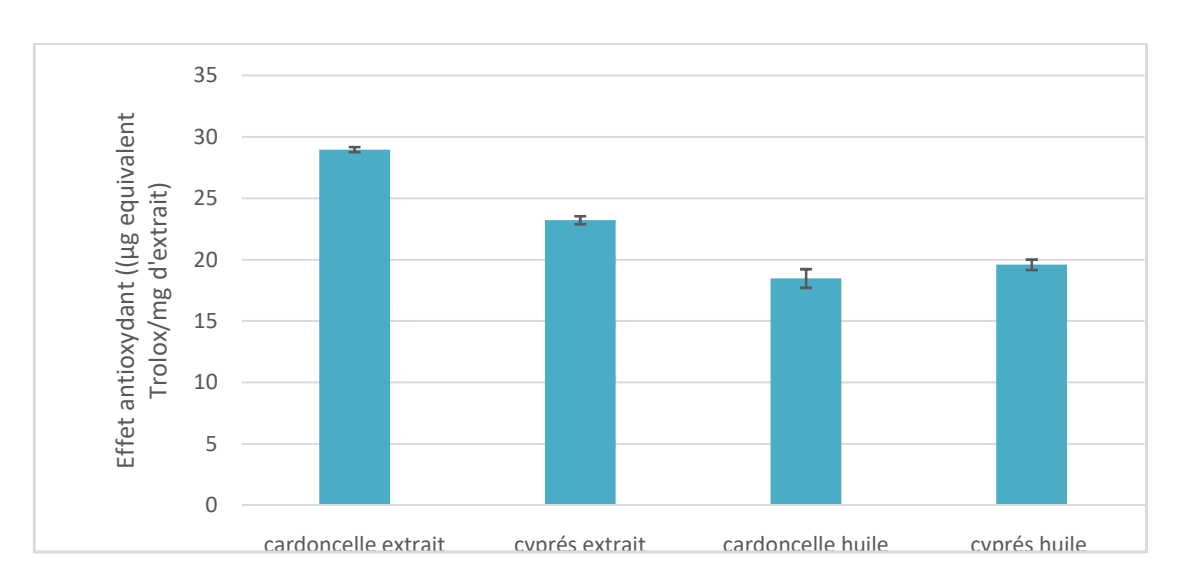


Figure III. 9. Activité antiradicalaire des huiles et des extraits contre le radical ABTS.

Tableau III. 9. Valeurs des IC50 obtenues des huiles et des extraits contre le radical ABTS.

Plante	Produit	Moyenne ± écart type	IC50 (µg/mL)
Cyprès	Extrait	23,21±0,32	92,87
	HE	19,58±0,42	78,34
Cardoncelle	Extrait	28,96±0,20	115,86
	HE	18,47±0,75	73,89

III.4.3. Méthode à la phénantroline

Les résultats (**TableauIII.10.** et **FigureIII. 10**) indiquent que l'activité antioxydante par la méthode de phénantroline de l'huile de cardoncelle est plus élevée que celle de l'huile du cyprès et des extraits.

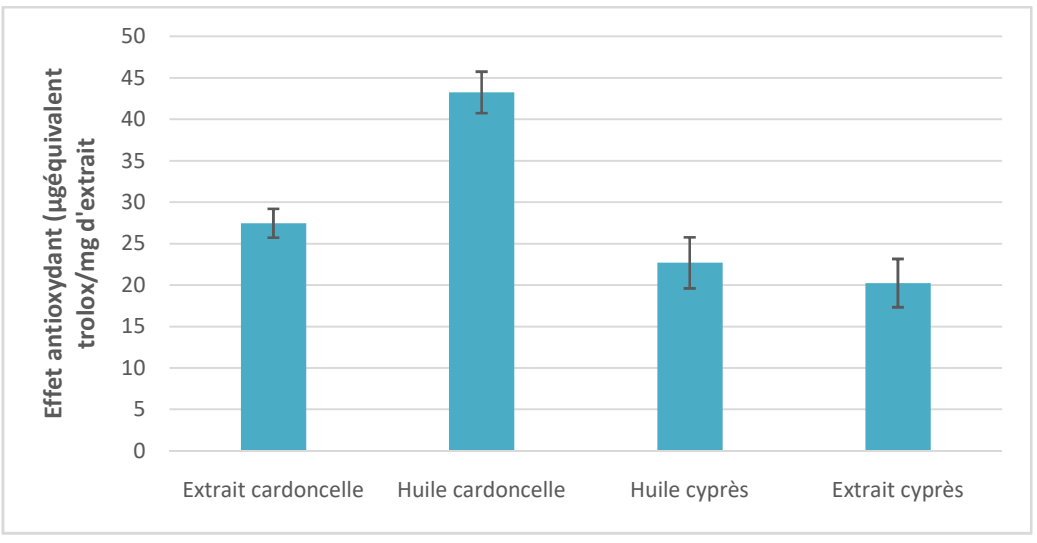


Figure III. 10. Activité antiradicalaire des huiles et des extraits par la méthode de phénantroline

Tableau III. 10. Valeurs des IC50 obtenues des huiles et des extraits par la méthode de phénantroline.

Plante	Produit	Moyenne ± écart type	
Cyprès	Extrait	20,24±2,91	
	HE	22,68±3,07	
Cardoncelle	Extrait	27,46±1,73	
	HE	43,24±2,50	

III.4.4. Méthode de FRAP

Les résultats (**TableauIII.11.**et **FigureIII. 11**) indiquent que l'activité antioxydante par la méthode de FRAP que l'huile de cardoncelle a l'effet antioxydant le plus élevé avec une valeur 131.28 µg équivalent trolox/mg d'extrait, alors que l'huile de cyprès a une activité plus faible avec une valeur de 21.98 µg équivalent trolox/mg d'extrait.

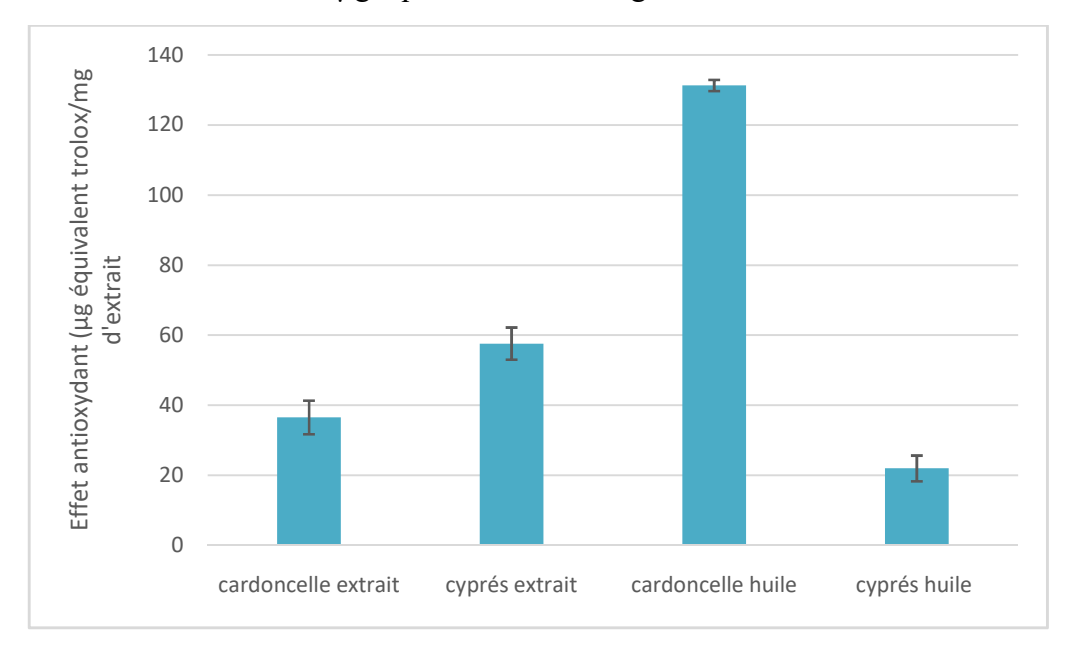


Figure III. 11. Activité antiradicalaire des huiles et des extraits par la méthode FRAP.

Tableau III. 11. Valeurs des IC50 obtenues des huiles et des extraits par la méthode de FRAP.

Plante	Produit	Moyenne ± écart type
Cyprès	Extrait	57,59±4,59
	HE	21,98±3,69
Cardoncelle	Extrait	36,54±4,77
	НЕ	131,28±1,60

III.5. Test de cytotoxicité

Les résultats de suivi de vie des larves de vers de farine sont comparés à un standard et sont récapitulés dans le **Tableau III. 12.**

Tableau III. 12. Pour centages de survivants des larves de Tenebrio Molitor après 5 jours de
surveillance.

Nombre de vers de farine morts						Taux de	Nombre de
Jours	1	2	3	4	5	survivant (%)	vers développés
Extrait cardoncelle	1	1	2	2	2	60	1
Extrait cyprès	0	1	1	1	1	80	4
HE cardoncelle	2	3	4	4	4	20	/
HE cyprès	1	1	2	2	2	60	1
Standard (méthanol)	0	0	0	0	0	100	/

La plus faible cytotoxicité a été obtenue avec l'extrait du cyprès avec un taux, suivi par l'HE de la même plante et par l'extrait de cardoncelle. Néanmoins, l'HE de cardoncelle adonné la cytotoxique la plus élevée. En plus, quelques vers survivants ont changé leur revêtement externe ainsi ils sont grossi de taille surtout dans le cas de l'HE du cyprès (**Figure III.12**), ou on a constaté un taux de développement de 100%. Cela est expliqué par la maturation des larves vers des nymphes, qui sont une forme plus évoluée du cycle de vie des vers de farine [60]. On peut conclure de l'HEs est un milieu riche en éléments nutritifs nécessaires aux développements des larves et qu'elle ne présente qu'un très faible degré de cytotoxicité [60].

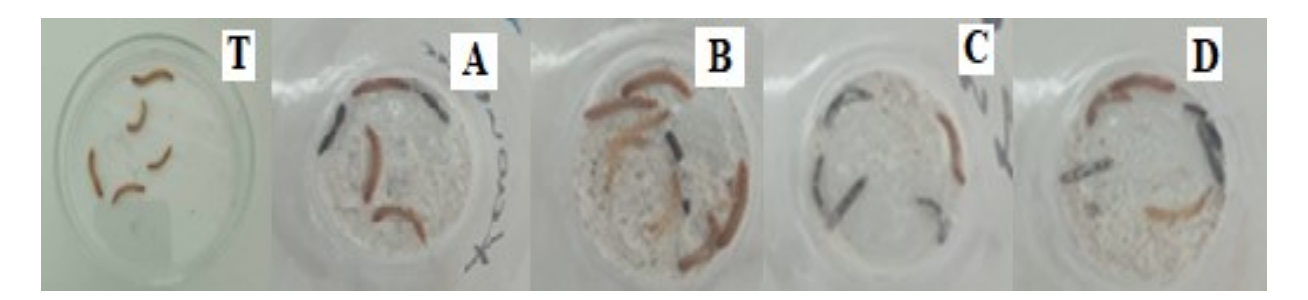


Figure III. 12.Résultats de suivi pendant le cinquième jour de cytotoxicité des : (T) Témoin, (A) Extrait cardoncelle, (B) Extrait cyprès, (C) HE cardoncelle, (D) HE cyprès.

III.6. Activité anti bactérienne

L'activité antibactérienne est évaluée en mesurant la zone d'inhibition des bactéries autour du disque d'extrait ou d'huile (**Figure III.13**). Selon L'échelle de Poncé [61], les diamètres d'inhibition sont classés en quatre classes (**Tableau III. 13.**)

Tableau III. 13. Echelle de Poncé des diamètres d'inhibition.

Sensibilité du germe	Degré de sensibilité	Diamètre (mm)
Extrêmement sensible	+++	> 20
Très sensible	++	15-19
Sensible	+	8-14
Résistant	-	<8

Les résultats de l'activité antibactérienne sont les extraits et huiles sont récapitulées dans **Tableau III.14**.

Tableau III. 14. Résultats de l'activité antibactérienne des extraits et des huiles.

Souche testée	Produit	Zone d'in	hibition	Sensibilité du
		Diamètre	Degré de	germe
		(mm)	sensibilité	
	Huile de cardoncelle	-	-	Résistant
	Huile cyprès	11.6	+	Sensible
Staphylocoque aureus	Extrait de cardoncelle	17.6	++	Très sensible
	Extrait de cyprès	15.3	++	Très sensible
	Huile de cardoncelle	-	-	Résistant
	Huile de cyprès	12.6	+	Sensible
Escherichia coli	Extrait de cardoncelle	15	++	Très sensible
	Extrait de cyprès	16	++	Très sensible
	Huile de cardoncelle	10	+	Sensible
Pseudomonas aeruginosa	Huile de cyprès	-	-	Résistant
	Extrait de cardoncelle	17	++	Très sensible
	Extrait de cyprès	13.6	+	Sensible

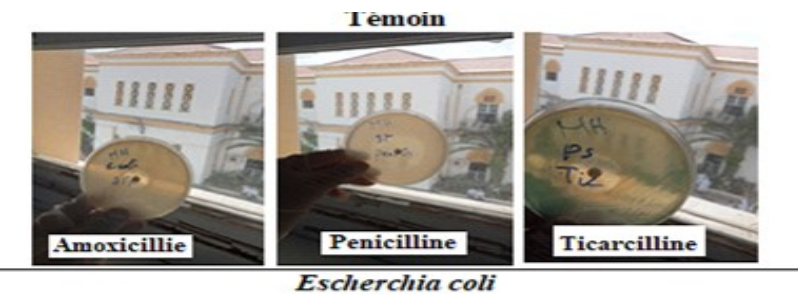
D'après les résultats mentionnés dans le **Tableau III.14.**, l'huile de cardoncelle n'a aucune activité contre les souches *Staphylococcus aureus* et *Escherichia coli*, mais elle montre une activité contre *Pseudomonas aeruginosa*. Donc l'activité de cette huile n'as pas de relation avec le type de la bactérie Gram (+) ou (-) mais son activité est plutôt spécifique à la bactérie testée bien qu'elle soit moindre par rapport à celle de son extrait, qui présente une activité significativement plus élevée. L'huile du cyprès présente une activité antibactérienne acceptable sur le *Staphylocoque aureus* et *l'Escherichia Coli* mais elle n'a aucune activité sur le *Pseudomonas aeruginosa* donc son activité est spécifique à la bactérie testée. Les extraits des deux plantes possèdent des activités significatives sur la croissance des trois germes, surtout sur le *Staphylocoque aureus* et *l'Escherichia coli*. Les antibiotiques témoins utilisés sont l'amoxicilline pour *l'Escherichia coli*, la pénicilline pour *Staphylocoque aureus* et la ticarcilline pour le *Pseudomonas aeruginosa* (Figure III. 13).

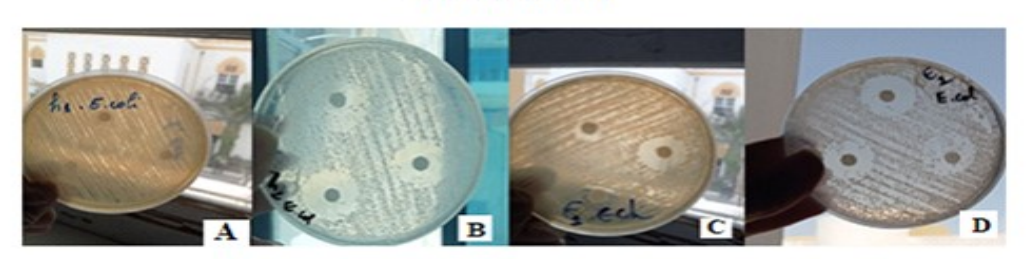
Ces résultats nous conduisent à tester les mélanges binaires ternaires des huiles et des extraits. Quatre types des mélanges ont été testés : mélange des huiles, mélange des extraits, mélange de l'extrait de cardoncelle avec l'huile du cyprès et mélange des extraits avec l'huile du cyprès. Les résultats de l'activité antibactérienne des mélanges préparés sont récapitulés dans le **Tableau III.15.**

Tableau III. 15. Résultats de l'activité antibactérienne des mélanges des extraits et des huiles.

Souche testée	Produit Zone d'inhibition		Sensibilité du	
		Diamètre	Degré de	germe
		(mm)	sensibilité	
	Mélange des huiles	15.6	++	Très sensible
	Mélanges des extraits	17.3	++	Très sensible
Staphylocoque aureus	Extrait de cardoncelle avec huile de cyprès	19	++	Très sensible
	Mélange des extraits et l'huile du cyprès	24.6	+++	Extrêmement sensible
	Mélange des huiles		-	Résistant
	Mélange des extraits		++	Très sensible
Escherichia coli	Extrait de cardoncelle 20 +++ avec huile de cyprès		Extrêmement sensible	

	Mélange des extraits et l'huile du cyprès	32	+++	Extrêmement sensible
	Mélange des huiles	-	-	Résistant
Pseudomonas	Mélange des extraits	12	+	Sensible
aeruginosa	Extrait de cardoncelle avec huile de cyprès	17.3	++	Très sensible
	Mélange des extraits et l'huile du cyprès	20.5	+++	Extrêmement sensible







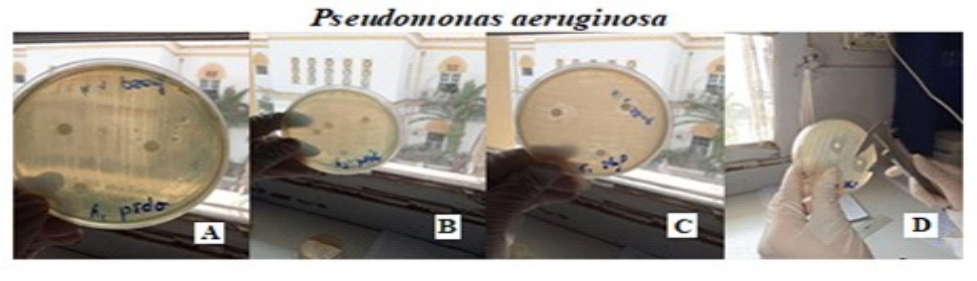


Figure III. 13.Diamètres d'inhibition de la croissance des différentes souches bactériennes après application du témoin, des huiles de cardoncelle (A) et du cyprès (B) et des extraits de cardoncelle (C) et du cyprès (D).

Les mélanges des huiles étaient bénéfiques seulement pour inhiber la croissance du *Staphylocoque aureus*, et cette inhibition est attribuée à l'huile du cyprès. On suppose que l'absence d'activité du mélange des huiles sur *l'Escherichia coli* est due à l'activité faible de l'huile de cardoncelle ainsi d'une possible interaction entre les deux huiles. Par conséquent, l'huile de cardoncelle n'a pas été utilisée pour les tests qui suivent.

Les mélanges des extraits montrent une activité légèrement supérieure ou égale à celle des extraits seuls. En plus, les mélanges des extraits montrent une activité supérieure à celle des mélanges d'huiles.

Un effet synergique est observé lorsque l'extrait de cardoncelle et d'huile du cyprès sont utilisés, avec une sensibilité élevée des souches testées.

Le mélange ternaire des extraits des deux plantes avec l'huile du cyprès montre l'activité antibactérienne la plus prononcée sur toutes les souches étudiées, donc ce mélange est utilisé a une forte activité antibactérienne (Figure III.14).

Staphylocoque aureus Pseudomonas aeruginosa

Figure III. 14.Diamètres d'inhibition de la croissance des différentes souches bactériennes après application des : mélange des huiles (A), mélange des extraits (B), mélange de l'huile du cyprès avec l'extrait du cardoncelle (C) et mélange de l'huile du cyprès avec les extraits des deux plantes (D)

III.7. Activité antifongique

L'activité antifongique est évaluée de la même manière que l'activité antibactérienne, en mesurant le diamètre de la zone d'inhibition (méthode de diffusion par disque).

Tableau III. 16. récapitule les résultats de l'activité antibactérienne sur les extraits et huiles.

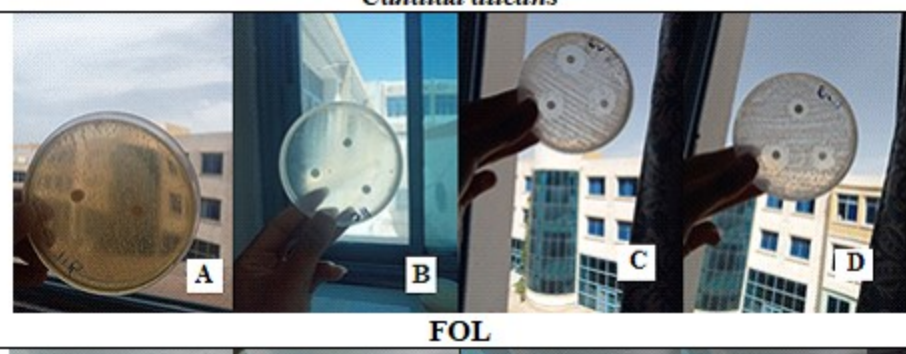
Tableau III. 16. Résultats de l'activité antifongique des extraits et des huiles.

Souche testée	Produit	oduit Zone d'inhibition		
		Diamètre	Degré de	germe
		(mm)	sensibilité	
	Huile de cardoncelle	12.5	+	Sensible
Candida albicans	Huile cyprès	Diffusio n totale	+++	Extrêmement sensible
	Extrait de cardoncelle	20.6	+++	Extrêmement sensible
	Extrait de cyprès	18.6	++	Très sensible
	Huile de cardoncelle	18	++	Très sensible
	Huile de cyprès	95	+++	Extrêmement sensible
FOL	Extrait de cardoncelle	12	+	Sensible
	Extrait de cyprès	10	+	Sensible

On constate que l'activité antifongique est remarquable, surtout pour le sapin, qui présente une très forte activité antifongique. Cette efficacité est observée tant pour son huile, qui est totalement diffusée, que pour son extrait (**Figure III.15.**).



Candida alicans



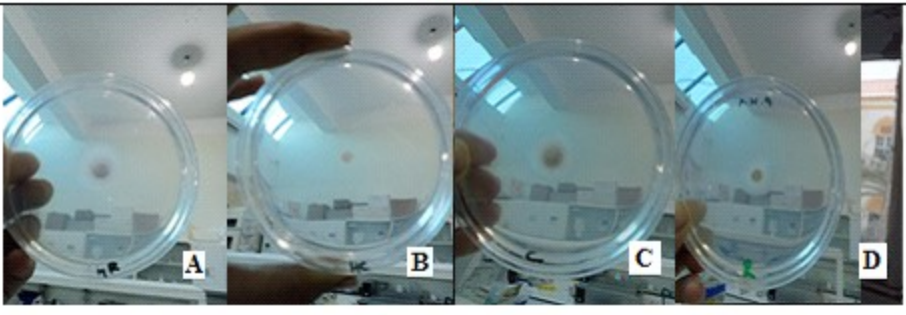


Figure III. 15.Diamètres d'inhibition de la croissance des différentes souches fongiques après application du témoin, des huiles de cardoncelle (A) et du cyprès (B) et des extraits de cardoncelle (C) et du cyprès (D).

Comme dans le cas de l'activité antibactérienne, les résultats nous conduisent à tester les mélanges binaires et ternaires des huiles et des extraits. Trois types des mélanges ont été testés : mélange des huiles, mélange des extraits et mélange des extraits avec l'huile du cyprès. Les résultats de l'activité antifongique des mélanges préparés sont récapitulés dans le **Tableau III. 17.**

Tableau III. 17. Résultats de l'activité antifongique des mélanges des extraits et des huiles.

Souche testée	Produit	Zone d'in	hibition	Sensibilité du
		Diamètre	Degré de	germe
		(mm)	sensibilité	
	Mélange des huiles	15	++	Très sensible
	Mélanges des extraits	21 +++		Extrêmement

Candida albicans				sensible
	Mélange des extraits	14	++	Très sensible
	et de l'huile du cyprès			
	Mélange des huiles	20	+++	Extrêmement
				sensible
FOL	Mélange des extraits	25	+++	Extrêmement sensible
	Mélange des extraits et de l'huile du cyprès	50	+++	Extrêmement sensible

Le mélange des huiles conduit à une diminution de l'activité antifongique. Cela est peut être due à un antagonisme dans l'activité des deux huiles. Donc l'huile de cardoncelle n'est plus utilisée dans le reste du travail.

Les mélanges des extraits donnent une activité légèrement supérieure à celle des extraits seuls et à celle des mélanges d'huiles.

Le mélange des extraits et de l'huile du cyprès montre une activité acceptable pour le Candida et une activité satisfaisante pour le FOL (**Figure III.16.**).

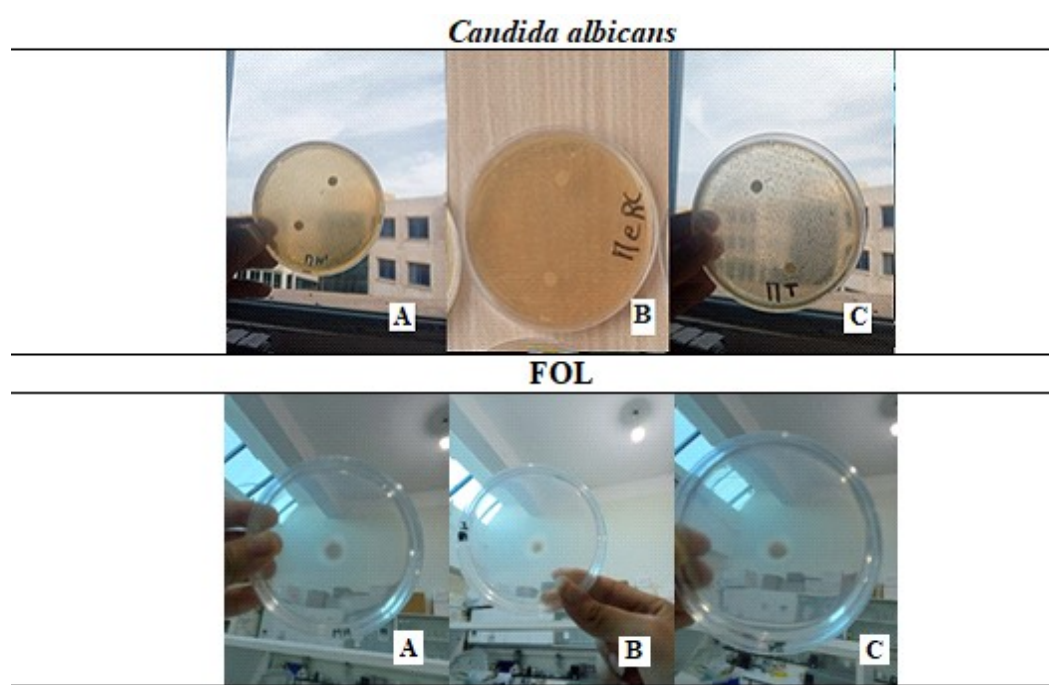


Figure III. 16. Diamètres d'inhibition de la croissance des différentes souches fongiques après application des : mélange des huiles (A), mélange des extraits (B), et mélange de l'huile du cyprès avec les extraits des deux plantes (C).

III.8. Optimisation de la formulation des crèmes

III.8.1 Type de la crème

Les résultats de l'activité antibactérienne et antifongique des extraits et des huiles, permettent de choisir le meilleur composant actif à intégrer dans la formulation de la crème. Le mélange qui contient l'huile de cyprès et les extraits des plantes en quantités équivalentes montre une activité antibactérienne et antifongique très satisfaisante donc il a été choisi comme principe actif de la crème à formuler.

Afin d'optimiser le type de cette crème, on a préparé deux formulations de la même concentration (0.2%), une hydrophile par émulsion H/E (Crème 1), l'autre lipophile par émulsion E/H (Crème 2) (**Figure III. 17**).

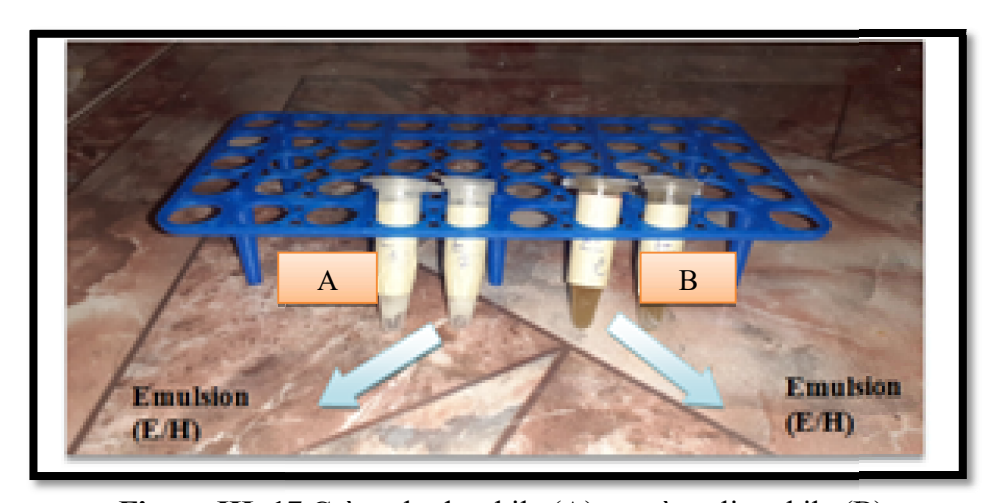


Figure III. 17. Crème hydrophile (A) et crème lipophile (B).

Les activités antibactérienne et antifongique des crèmes formulées ont été évaluées. L'activité anti bactérienne est évaluée pour les crèmes par la méthode des puits et l'antifongique à l'aide de la méthode de diffusion des disques. La crème commerciale Biafine a été utilisée comme témoin. **Tableau III.18.** Résume les résultats de l'activité antibactérienne et antifongique sur les crèmes de différents types.

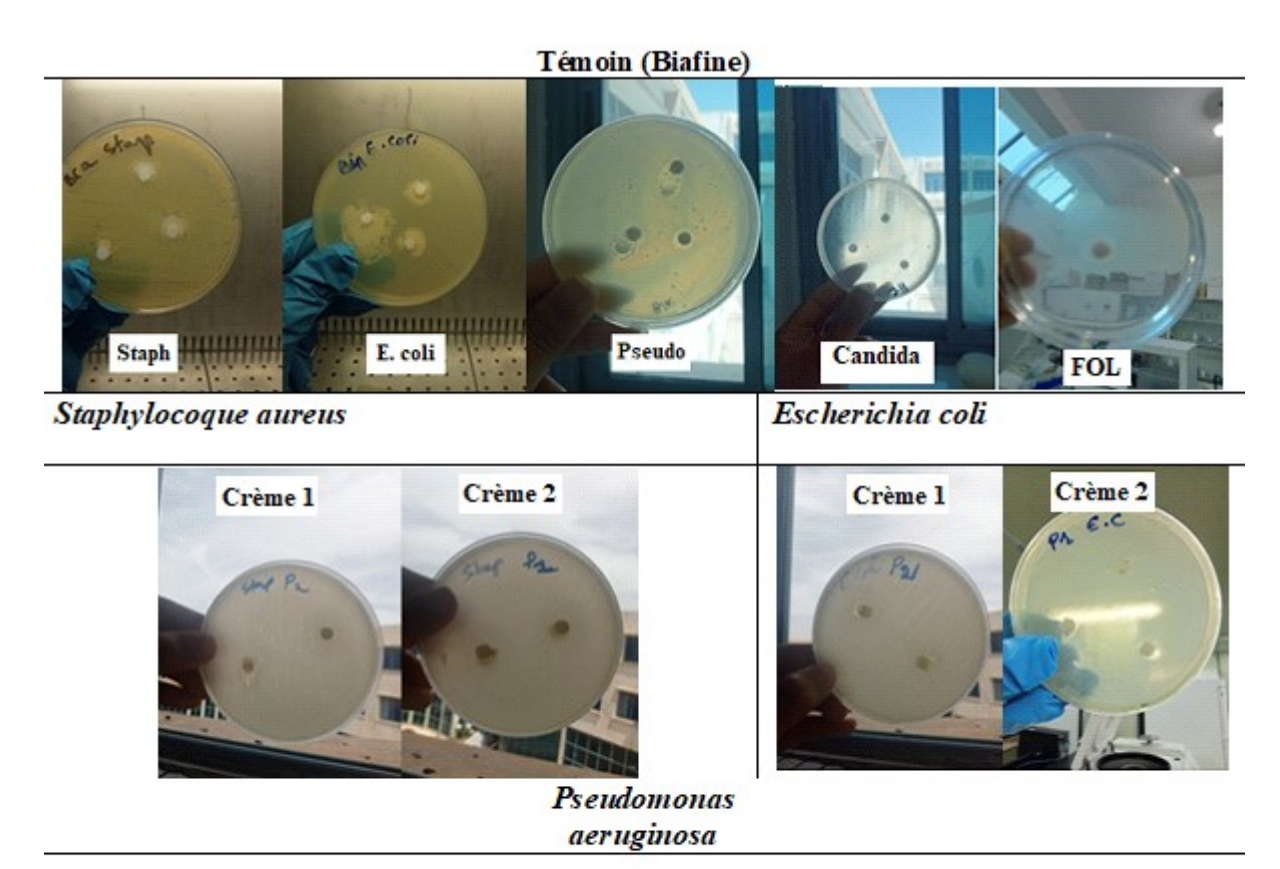
Tableau III. 18.Résultats de l'activité antibactérienne et antifongique sur les crèmes de différents types.

Souche testée	Type de la	Produit	Zone d'inhibition		Sensibilité du
	souche		Diamètre	Degré de	germe
			(mm)	sensibilité	
staphylocoque		Crème 1	24.3	+++	Extrêmement
aureus	Bactérie				sensible

		Crème 2	7.5	-	Résistant
		Biafine	14.6	++	Très sensible
Escherichia coli	Bactérie	Crème 1	31	+++	Extrêmement sensible
		Crème 2	-	-	Résistant
		Biafine	16.6	++	Très sensible
Pseudomonas aeruginosa	Bactérie	Crème 1	11.3	+	Sensible
ueruginosu		Crème 2	7.3	-	Résistant
		Biafine	11.6	+	Sensible
Candida albicans	Champignon	Crème 1	16.6	++	Très sensible
aibicans		Crème 2	-	-	Résistant
		Biafine	11	+	Sensible
FOL	Champignon	Crème 1	43.3	+++	Très sensible
		Crème 2	8	+	Sensible
		Biafine	5	-	Résistant

La crème hydrophile (Crème 1) a donné la meilleure activité antibactérienne et antifongique avec une sensibilité extrême de *Staphylocoque aureus* d'*Escherichia coli*. L'activité de la Crème 1 était supérieure à celle de la Crème 2 et du Témoin pour toutes les souches étudiées, à l'exception de *Pseudomonas* ou elle était presque égale à celle de la Biafine. Ces résultats peuvent être expliqués du fait que la crème hydrophile a bien diffusée dans le disque. En plus elle présente plusieurs avantages par rapport à la crème hydrophobe.

Les résultats de l'activité antibactérienne et antifongique des deux crèmes préparés sont illustrés dans la **Figure III.18.**





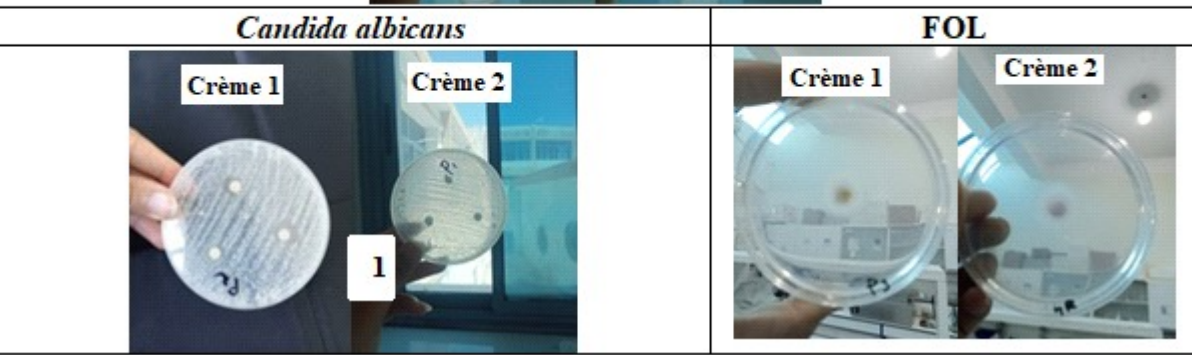


Figure III. 18.Résultats de l'activité antibactérienne et antifongique sur les crèmes de différents types.

III.8.2. Dosage de la crème

Afin d'optimiser le dosage de la crème, trois teneurs en principe actif ont été choisi 0.2%, 0.35% et 0.5% (**Figure III.19.**) et les crèmes formulées ont été désignés comme : Crème 1, Crème 3 et Crème 4.

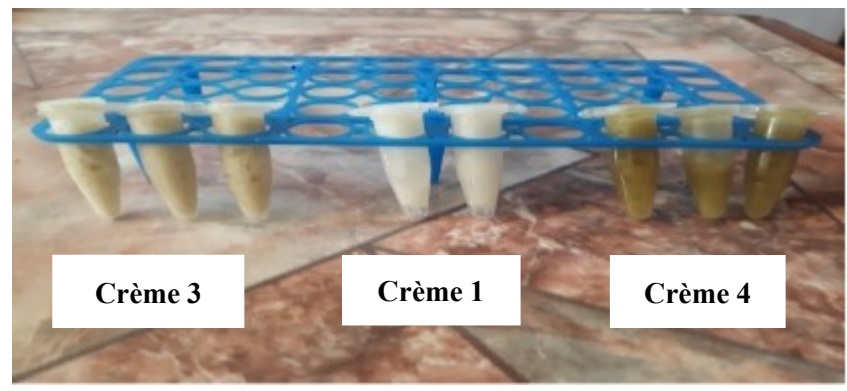


Figure III. 19. Crèmes hydrophiles à différente concentration (1) 0.2%, (2) 0.35% et(3) 0.5%.

La **Figure III. 20** et le **Tableau III.19.** Présentent les résultats de l'activité antibactérienne et antifongique sur les crèmes de différents dosages.

Tableau III. 19.Résultats de l'activité antibactérienne et antifongique sur les crèmes de différents dosages.

Souche	Type de la	Produit	Zone d'in	hibition	Sensibilité du
testée	souche		Diamètre	Degré de	germe
			(mm)	sensibilité	
Staphyloco		Crème 1	24.3	+++	Extrêmement
que aureus	Bactérie				sensible
uui cus		Crème 3	9	+	Sensible
		Crème 4	11	+	Sensible
Escherichia	Bactérie	Crème 1	31	+++	Extrêmement
Coli					sensible
		Crème 3	-	-	Résistant
		Crème 4	-	-	Résistant
Pseudomon as	Bactérie	Crème 1	11.3	+	Sensible
aeruginosa		Crème 3	14	++	Très sensible
		Crème 4	15.3	++	Très sensible

Candida albicans	Champignon	Crème 1	16.6	++	Très sensible
		Crème 3	-	-	Résistant
		Crème 4	-	-	Résistant
FOL	Champignon	Crème 1	43.3	+++	Extrêmement sensible
		Crème 3	3.5	-	Résistant
		Crème 4	23.5	+++	Extrêmement sensible

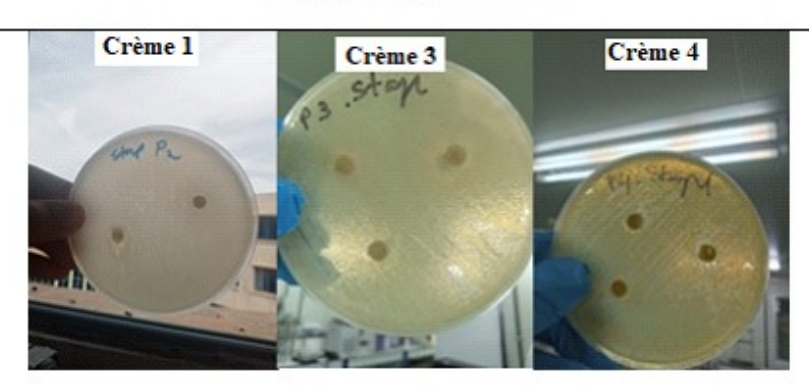
Nous constatons que la crème à 2%, à une zone d'inhibition de croissance pour toutes les souches testées et un effet supérieur par rapport aux autres formulations et au témoin. Une zone d'inhibition plus grande autour de l'application de la crème sur une culture bactérienne ou fongique indique que la crème empêche la croissance microbienne de manière très efficace.

En plus, on a noté une diminution de l'activité pour les dosages de 3.5 et 5 % dans la plus part des souches testées. On suppose que cela est dû à une diminution dans la solubilité des extraits incorporés dans les crèmes à 3.5 et à 5 %, ce qui provoque un problème dans l'homogénéité et de distribution des composants actifs au sein de la crème.

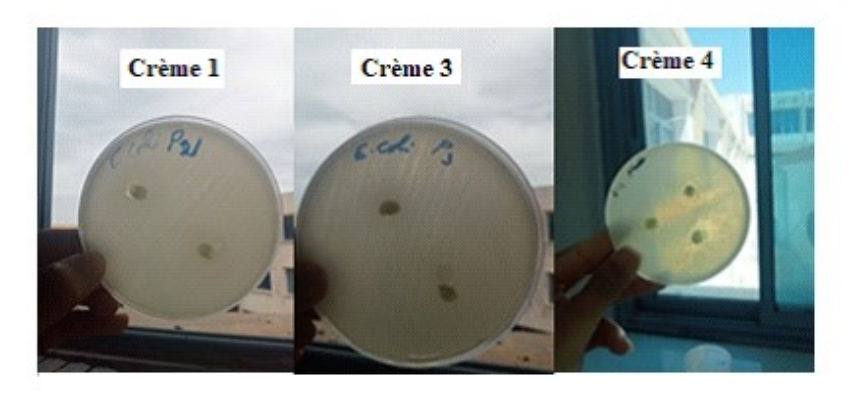
On constate aussi que la crème hydrophile à 2 % présente une activité antifongique supérieure à celle de la crème commercialisée.

Par conséquent, la crème hydrophile à 2 % est une approche intéressante dans l'inhibition de croissance des souches testées et elle possède un effet antibactérien et antifongique notable. Elle a été choisie comme formule optimale.

Stapnytocoque aureus



Escherichia coli



Pseudomonas aeruginosa



Candida albicans



FOL

Figure III. 20. Résultats de l'activité antibactérienne et antifongique sur les crèmes de différents dosages.

III.9. Contrôle qualité de la crème

III.9.1.Caractéristique organoleptique de la crème

La crème a une couleur blanche et une odeur agréable, sa consistance est pâteuse. (Figure III. 21).



Figure III. 21. Aspect de la crème.

III.9.1 pH de la crème

La première mesure du pH du crème a donné une valeur de 4,39. Donc pour l'ajuster, une solution de bicarbonate de sodium a était utilisée. Le pH final a une valeur de 5,5 (**Figure III.** 22) qui est plus proche au pH naturel de la peau[62].

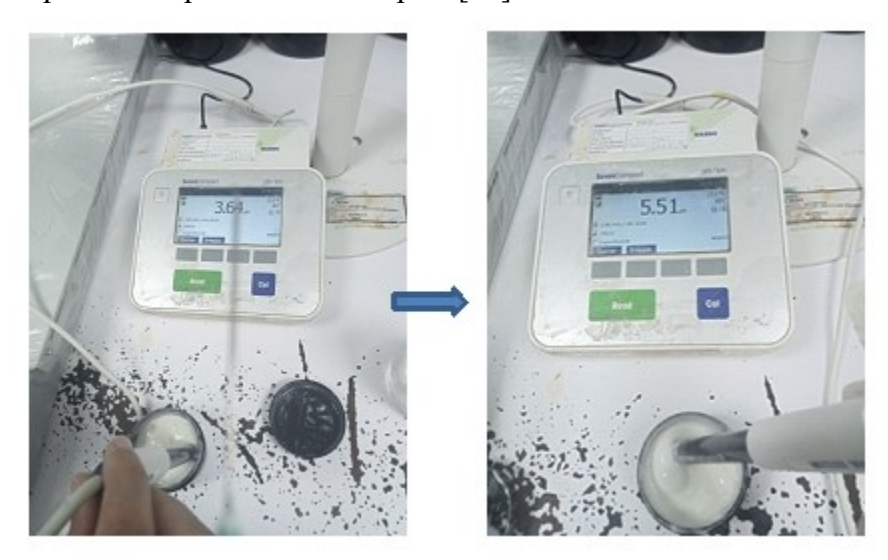


Figure III. 22.pH de la crème.

III.9.2 Type de l'émulsion

Pour confirmer le type d'émulsion préparée, on a utilisé la méthode de dilution [63]. en ajoutant un petit volume d'eau à la crème. L'obtention d'un mélange homogène indique que l'émulsion est de type huile dans l'eau (H/E). (**Figure III.23**).



Figure III. 23. Type d'émulsion par dilution.

L'observation microscopique d'une gouttelette des crèmes préparées a révélé une dispersion idéale des gouttelettes de la phase huileuse dans la phase aqueuse, avec une taille presque similaire et acceptable, comme le montre la **Figure III.24.**

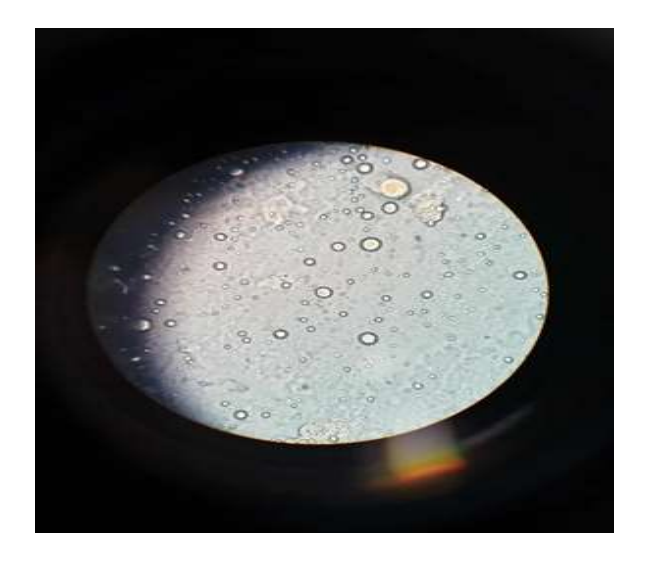


Figure III. 24. Type d'émulsion par microscope.

III.9.3 Viscosité

À l'aide d'un viscosimètre, on a mesuré la viscosité de la crème et on l'a comparé à celle de la

Biafine. Les deux valeurs sont très proches (5.18 Pa.s pour la crème et pour 5.52 Pa.s pour la Biafine), ce qui montre la bonne consistance de la crème formulée.

III.9.4 Etude de stabilité

a) Vieillissement en enceinte climatique:

Ce test est effectué sous 3 températures différentes 4°C, 40°C et 60°C pendant deux heures de temps [62]. Aucune séparation de phase n'a été observée. Dons la crème est stable (**Figure III.25.**).



Figure III. 25. Vieillissement en enceinte climatique (A) Vieillissement au chaud (B) Vieillissement à froid.

b) Sédimentation forcée

Après la centrifugation de la crème pendant 10 min à1000 rpm, la crème ne montre aucune séparation de phases, donc elle est stable (**Figure III.26**).

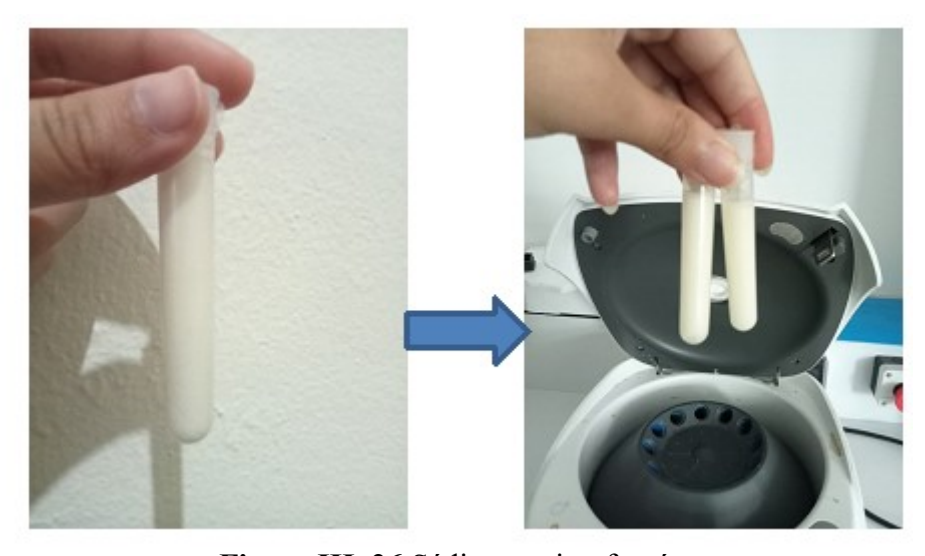


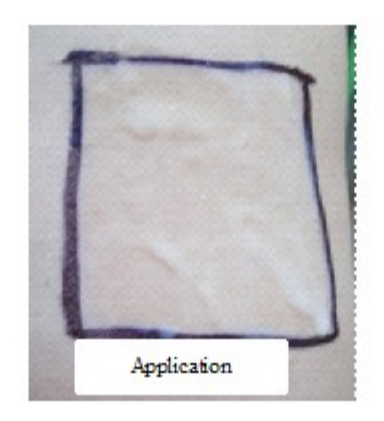
Figure III. 26. Sédimentation forcée.

III.9.6. Etude In vivo

III.9.6.1. Test d'irritation sur la peau humaine

Le test d'irritation réalisé sur 10 volontaires a démontré qu'aucune rougeur ou irritation n'étaient présentes 24 heures après l'application de la crème sur la peau (**Figure III.27**). Ces résultats indiquent que la crème ne présente aucune irritation sur la peau.





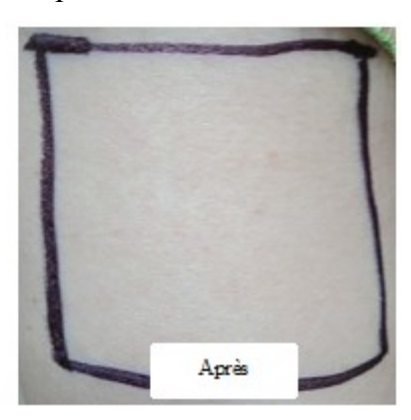


Figure III. 27. Avant et Après application de la crème.

III.9.6.2. Test des brûlures et de cicatrisation chez les animaux

Après l'introduction de brûlures, les rats ont été partagés en 3 lots. Pendant le suivi, il a été remarqué qu'un rat était blessé, possiblement à cause des autres rats dans la même cage. Après avoir nettoyé la blessure avec du sérum physiologique suivi de la Bétadine pour désinfecter sa brûlure profonde (3^{ème} degré) et laisser sécher, le rat a été isolé dans une cage individuelle pour éviter toute autre accident. Les surfaces des brûlures ont été notées à partir de troisième jours, sauf pour le rat souffrant de la brûlure au 3^{ème} degré. Les histogrammes représentants ces surfaces ont été tracées (**Figures III.28**). En plus, la **Figure III. 29.** représente l'évolution des plaies et des brûlures des rats pendant une période de 10 jours.

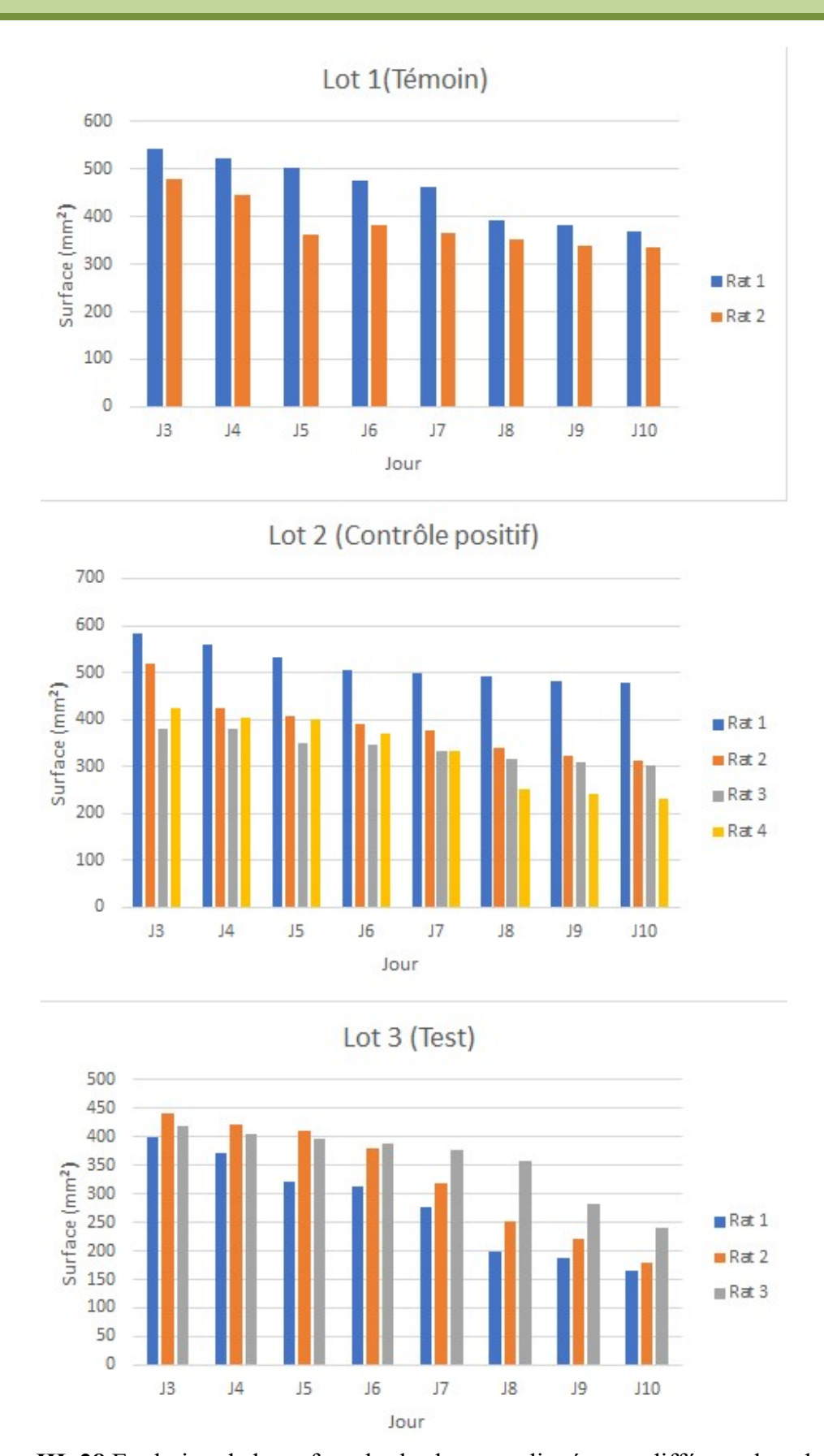


Figure III. 28. Evolution de la surface des brulures appliquées sur différents lots de rats.

On constate que l'effet cicatrisant est pareil après 10 jours pour les deux crèmes. Ainsi la surface de brulure est diminuée pour lot de la crème plus vite que lot de Biafine et de témoin. Nous notons pour tous les lots testés, la réduction de la surface et la profondeur des plaies à des intervalles de temps différents. La diminution de la surface était plus prononcée dans le lot 3 recevant la crème formulée avec absence d'œdème (Figure III.1). Cela est constaté aussi pour le rat isolé à cause de sa brulure profonde. Son état général a été amélioré après le troisième jour d'application de la crème avec reprise des mouvements normaux.

Après le 10 ème jour d'application, nous constatons une cicatrisation totale des plaies pour les rats de lot 2 et 3 et une cicatrisation partielle pour les rats témoins négatifs (lot 1).



Figure III.29. Résultats de l'étude In vivo de l'évolution des brulures (A) et des plaies (B).



CONCLUSION GENERALE

CONCLUSION GENERALE

L'objectif de ce travail est de développer une crème à base des huiles essentielle et des extraits végétales pour application parapharmaceutique. Nous nous sommes intéressés à étudier deux plantes médicinales: la cardoncelle bleue (*Carthamus caeruleus L.*) et le cyprès (*Cupressus semprevirens L.*). Ce travail consiste préalablement à faire une optimisation par le plan d'expériences Box Behnken dans le but d'étudier l'effet de la quantité de solvant, du temps et de la quantité de matière sur le rendement de la macération des deux plantes ; parallèlement, à une autre méthode conventionnelle d'extraction qui s'agit de l'hydrodistillation afin d'obtenir les huiles essentielles des deux plantes. Une analyse par GC-MS a été faire afin de déterminer la composition des HEs.

Ensuite, la cytotoxicité des extraits et des HEs a été testée sur la base d'un modèle d'arthropode, les larves de vers de farine (Ténébrion meunier). En plus d'autres études ont été réalisées à savoir l'activité antioxydant (DPPH, ABTS, FRAP et phénanthroline), antibactérienne et antifongique a fin de caractériser les extraits et les HEs obtenus.

Enfin, des crèmes ont étés préparées, optimisées en termes d'activité antibactérienne et antifongique, caractérisées par étude des paramètres physico-chimiques et analysées In vivo pour évaluer leur activité anti brûlure et cicatrisante.

Les résultats de l'optimisation par Box Behnken révèlent que le modèle trouvé pour chaque plante est valide ainsi que les rendements d'extraction de la cardoncelle sont de 12.4 % et 11.6% ceux du cyprès sont 0.03 % et 0.635% en utilisant la macération et l'hydrodistillation, respectivement. L'analyse de l'HE du sapin par GC-MS illustre la présence d'epi-Bicyclosesquiphellandrene comme constituant majoritaire (20.16%).

L'étude de l'activité antimicrobienne illustre la présence de zones d'inhibition contre toutes les bactéries et les champignons testés. En plus, les tests de l'activité antioxydants par la méthode au DPPH et la méthode à l'ATBS montrent que les extraits présentent une activité plus prononcée que les HEs pour les deux plantes, tandis que les tests par la méthode à la phénantroline et la méthode de FRAP ont trouvés que les HEs possèdent aussi une activité satisfaisante surtout pour le cas de l'huile de cardoncelle.

La crème hydrophile à 2 % montre le meilleur diamètre d'inhibition de croissance microbienne. Les tests de contrôle de qualité sur cette crème sont conformes à savoir le pH, la viscosité, le type d'émulsion, la stabilité et l'irritation cutanée.

Enfin, l'étude *In vivo* de l'effet anti-brûlure et cicatrisant montre que la crème préparée procure un

CONCLUSION GENERALE

effet réparateur de la peau plus prononcé que celui de la crème commercialisée Biafine.

Le présent travail nous a permis de développer une crème à base de substance naturelles ayant un potentiel prometteur dans le secteur parapharmaceutique vue ses effets antimicrobiens, antioxydants, antibrûlure et cicatrisants équivalent ou plus importants par rapports aux standards.

Comme perspectives, une analyse chromatographique des extraits est recommandée afin de déterminer la composition. Ainsi, nous espérons faire l'étude de stabilité à long terme et les essais pharmacologique et toxicologiques afin d'étudier le profil pharmacocinétique, pharmacodynamique et toxicologique de notre crème.

BIBLIOGRAPHIE

BIBLIOGRAPHIE

- [1] F. M. Soudre*et al.*, « Profil de l'ionogramme sanguin chez les enfants brûlés du Centre Hospitalier Universitaire Pédiatrique Charles de Gaulle de Ouagadougou (Burkina Faso) », *International Journal of Biological and Chemical Sciences*, vol. 15, n° 2, p. 426-436, 2021.
- [2] R. Moatti, « La phytothérapie », Revue des Deux Mondes, p. 80-89, 1990.
- [3] M. El Khasmi et M. Farh, « Impact des plantes médicinales sur le rein », *Revue Marocaine de Néphrologie*, vol. 2, n° 5, p. 32-40, 2022.
- [4] F. MERAD et T. MAHIOUT Tassadit, « Contribution à l'étude de conformité des drogues pour tisanes vendues en officines », 2019, Consulté le: 8 juillet 2024. [En ligne]. Disponible sur: https://www.ummto.dz/dspace/bitstream/handle/ummto/10495/M%C3%A9moire%202019.pdf?sequence=1
- [5] L. Moussaoui et L. Chabane, « Effet antimitotique et cytotoxique des flavonoïdes des feuilles de Peganumharmala L. », PhD Thesis, Université Mouloud Mammeri, 2019. Consulté le: 8 juillet 2024. [En ligne]. Disponible sur: https://dspace.ummto.dz/items/1fc38698-bb36-4e10-8d13-4280053e73b2
- [6] W. GACEM, « Analyse des paramètres morphologiques et des caractéristiques biochimiques du cartham bleu « carthamuscaeruleus l. » Issu de la région de la Mitidja »;, 2020.
- [7] F. Dalia et M. Benkhemissa, « L'aromathérapie: exploration du potentiel antiinfectieux des huiles essentielles », *Bulletin de santé Hospitalo-Universitaire*, p. 07, 2020.
- [8] F. Z. SADOU, N. HEMOUDI, N. RABHI, et F. KECILI, « Formulation d'une crème anti-brûlure à base de plante Carthamuscaeruleus L. », 2020, Consulté le: 7 juillet 2024. [En ligne]. Disponible sur: https://dspace.ummto.dz/items/0d8ce3ec-4c4c-4ca3-9b2e-5bb8f5c7ed50
- [9] A. Djidda et L. Nait Chalal, « Extraction de biomolécules actives à partir d'une plante médicinale:Carthamuscaeruleus L », PhD Thesis, Université Mouloud Mammeri, 2020. Consulté le: 8 juillet 2024. [En ligne]. Disponible sur: https://dspace.ummto.dz/items/dd990ed4-7f0a-4650-ba15-2c5c8713e2ab
- [10] « Carthamuscaeruleus », juin 2024, [En ligne]. Disponible sur: « Carthamuscaeruleu https://www.google.com/imgres?imgurl=https://api.tela-
- botanica.org/img:000056084O.jpg&tbnid=LyeJykjpy40kiM&vet=1&imgrefurl=https://www.tela-botanica.org/bdtfx-nn-14664-
- [11] K. Saffidine, « Etude analytique et biologique des flavonoïdes extraits de carthamuscaeruleus L. et de plantago major L. », PhD Thesis, 2018. Consulté le: 8 juillet 2024. [En ligne]. Disponible sur: http://dspace.univ-setif.dz:8888/jspui/handle/123456789/1680
- [12] L. Ben Amara et M. Kabene, « Etude de l'activité anti-inflammatoire et anti bactérienne de l'extrait aqueux de la racine de Carthamuscaeruleus L. », PhD Thesis, Université Mouloud Mammeri, 2021. Consulté le: 8 juillet 2024. [En ligne]. Disponible sur: https://fsbsa.ummto.dz/items/3d5a164d-38e1-4466-a699-ecaa21d55d45

BIBLIOGRAPHIE

- [13] D. E. POPULAIRE, « REPUBLIQUE ALGERIENNE DEMOCRATIQUE ET POPULAIRE », 2020, Consulté le: 8 juillet 2024. [En ligne]. Disponible sur: https://www.ency-education.com/uploads/3/0/9/3/309326/circulaire_2021_2022_fr.pdf
- [14] C. DEKICHE et M. BENZAID, « Activités biologiques des huiles essentielles de Cupressus sempervirens L », 2023, Consulté le: 8 juillet 2024. [En ligne]. Disponible sur: http://dspace.univ-tissemsilt.dz/bitstream/handle/123456789/2791/MM572-068.pdf
- [15] « Le sapin de Numidie, relique de la sapinière méditerranéenne », juin 2024, [En ligne]. Disponible sur: Disponible sur: https://images.app.goo.gl/1u8KesaWgiftcPn7A
- [16] «TH.M.SNV.2023.104.pdf».
- [17] A. MADENE et A. SAFI, « Évaluation des activités biologiques des extrais et des huiles essentielles des aiguilles du cyprès vert », PhD Thesis, Université Ibn Khaldoun, 2023. Consulté le: 8 juillet 2024. [En ligne]. Disponible sur: http://dspace.univ-tiaret.dz/handle/123456789/13810
- [18] « BELGHARBI_HADIL_Génie des procédés.._Génie des procédés des matériaux.pdf ».
- [19] N. Herzi, « Extraction et purification de substances naturelles: comparaison de l'extraction au CO2-supercritique et des techniques conventionnelles », 2013.
- [20] M. Sebai et M. Boudali, « La phytotherapie entre la confiance et mefiance », *InstForm paramédical CHETTIA Mem Prof*, p. 7-8, 2012.
- [21] D. Ayoune, « Préparation d'une pommade à base de racines de Carthamuscaeruleus L et évaluation de quelques activités biologiques de ses extraits », 2022.
- [22] N. KABOUR, I. KAMLA, et M. KAOUCHE, « Evaluation des activités antimicrobiennes de l'huile essentielle de l'Atriplexhalimus », 2021.
- [23] *distillation*. [En ligne]. Disponible sur: https://www.aromabio.fr/media/label/distillation_procedey.jpg
- [24] F. Bouaoune, R. Bouguetof, et I. Rahmani, « Etude de rendement et caractères organoleptiques de l'huile essentielle d'une plante a activité anti microbienne importante Rosmarinus off », 2020.
- [25] Extraction par hydro-distillation. [En ligne]. Disponible sur: https://www.researchgate.net/publication/343615181/figure/fig3/AS:923805757239298@1597263864918/Montage-dextraction-par-Hydrodistillation.png
- [26] A. KEMASSI et M. MERIGA, « Comparaison des méthodes d'extraction des principes actifs de quelques plantes médicinales ».
- [27] *macération*. [En ligne]. Disponible sur: https://www.maxicours.com/se/media/img/1/8/2/2/182241.gif
- [28] F. Z. SADOU, N. HEMOUDI, N. RABHI, et F. KECILI, « Formulation d'une crème anti-brûlure à

BIBLIOGRAPHIE

- base de plante Carthamuscaeruleus L. », 2020.
- [29] A.-F. Thomyris, « Dermatologie et cosmétologie des peaux noires et métissées: conseils en officine et analyses d'enquêtes », 2018.
- [30] structure de la peau. [En ligne]. Disponible sur:
- https://www.researchgate.net/publication/340253388/figure/fig1/AS:874067225763841@1585405274421/S tructure-generale-de-la-peau-humaine-saine-La-peau-est-composee-de-trois-couches.png
- [31] A. L. Faivre, « Administration de substances actives dans la peau: rôle de la composition hydrophile de nanoparticules polymériques », 2019.
- [32] L. BOURENDJA, S. MISSOUM, et M. B. RABEH, « Caractérisation de quelque plante médicinale en vue de leur valorisation en cosmétologie », 2020.
- [33] L. CAULLET, A. Dos Santos, G. Knipper, M. Rusalen, et M. Seigneur, « Les émulsions alimentaires et cosmétiques », *Projet Professionnel*, vol. 2018, p. 1-50, 2017.
- [34] N. Pierat, « Préparations d'émulsions par inversion de phase induite par agitation », 2010.
- [35] Les différents types d'émulsions. [En ligne]. Disponible sur: https://www.researchgate.net/publication/356373571/figure/fig1/AS:1094497945554946@1637960053621/Different-types-of-emulsions-found-in-crude-oil-production-and-transport.ppm
- [36] R. ISSAM, « M, «Formulation d'une émulsion a base d'huile d'argan en utilisant un plan de mélange» », *Université Mohammed v-RABAT*, 2016.
- [37] Schéma d'un tensioactif[30]. [En ligne]. Disponible sur: https://www.researchgate.net/publication/291985788/figure/fig3/AS:613907416764417@1523378342136/a-
- [38] TOÉ SiessinaLawaldlia Natacha Tchaida Martine, « ESSAIS DE MISES AU POINT DE FORMULATION DE CREMES ET LAITS CORPORELS A BASE DU BEURRE DE KARITE DU BURKINA FASO », OUAGADOUGOU, 2004. [En ligne]. Disponible sur:
- https://beep.ird.fr/collect/uouaga/index/assoc/M09686.dir/M09686.pdf

Structure-generale-dun-tensioactif-molecule-amphiphile-composee-dune-tete.png

- [39] « SAAIDANI AHLEM F1.pdf ».
- [40] étapes de ciatrisation de peau. [En ligne]. Disponible sur:
- https://legacyfileshare.elsevier.com/assets/image/0011/849422/phase-de-cicatrisationG.jpg
- [41] N. Berkane, « Developpement et caracterisation de nouveaux adsorbants pour l'elimination des polluants organiques en solution aquese », 2019.
- [42] S. AMRANI, A. FOUGER, et H. AGUEDAL, « Optimisation du processus d'adsorption à l'aide d'un plan d'expérience », 2023.
- [43] S. Vivier, « Stratégies d'optimisation par la méthode des Plans d'Expériences, et Application aux

BIBLIOGRAPHIE

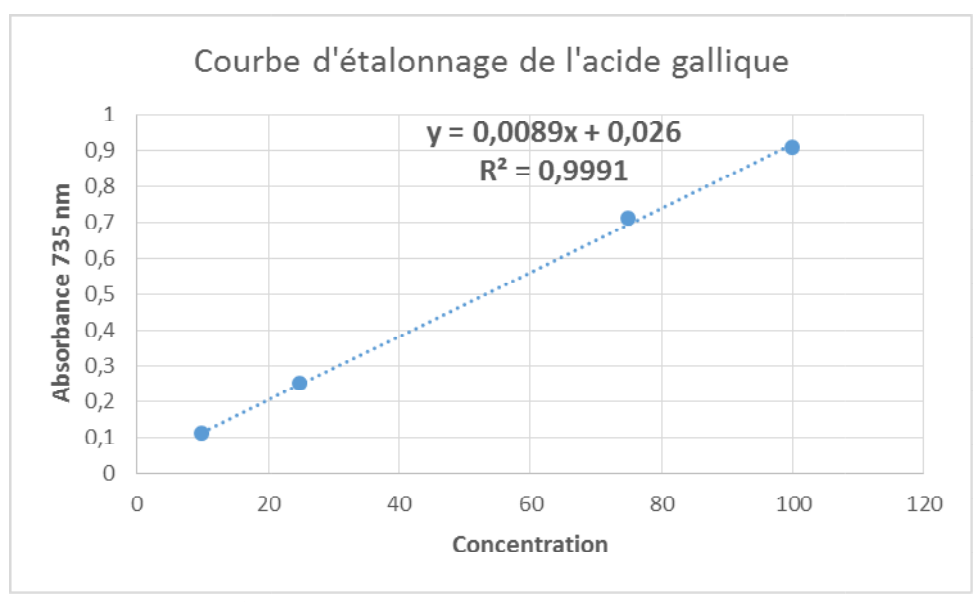
- dispositifs électrotechniques modélisés par Eléments Finis », 2002.
- [44] J. Goupy et L. Creighton, *Introduction aux plans d'expériences-3ème édition-Livre+ CD-Rom*. Hachette, 2006.
- [45] F. BENDAHMA, H. BENMEKKI, et B. ABSAR, « MEMOIRE DE FIN D'ETUDES DE MASTER ACADEMIQUE ».
- [46] N. Aslan et Y. Cebeci, « Application of Box–Behnken design and response surface methodology for modeling of some Turkish coals », *Fuel*, vol. 86, n° 1-2, p. 90-97, 2007.
- [47] *Plan Box-Behnken à 3 facteurs*. [En ligne]. Disponible sur: https://develve.net/files/Box-Behnken%20designs%20Number.png
- [48] L. Lebssisseet sendesAichaoui, « Modélisation d'expérience et étude du phénomène d'adsorption des métaux lourds par l'utilisation d'un adsorbant à base de la biomasse ».
- [49] A. MIRA-Bejaia, « Mémoire de Master », Consulté le: 8 juillet 2024. [En ligne]. Disponible sur: https://www.academia.edu/download/99658459/Activit_C3_A9s_20antioxydant_20et_20antibact_C3_A9rie nne 20des 20polyphenols 20des 20feuilles 20de 20Citrus 20reticulata 20blanco 20mand.pdf
- [50] O. Khatabi, H. Hanine, D. Elothmani, et A. Hasib, « Extraction and determination of polyphenols and betalain pigments in the MoroccanPricklypear fruits (Opuntia ficus indica) », *Arabian Journal of Chemistry*, vol. 9, p. S278-S281, 2016.
- [51] L. Müller, S. Gnoyke, A. M. Popken, et V. Böhm, « Antioxidant capacity and related parameters of different fruit formulations », *LWT-Food Science and Technology*, vol. 43, n° 6, p. 992-999, 2010.
- [52] A. Djeridane, M. Yousfi, B. Nadjemi, D. Boutassouna, P. Stocker, et N. Vidal, « Antioxidant activity of some Algerian medicinal plants extracts containing phenolic compounds », *Food chemistry*, vol. 97, n° 4, p. 654-660, 2006.
- [53] K. Boudiaf, « Etude des effets anti-xanthine oxydoréductase et anti-radicalaires des extraits des graines de Nigellasativa », *Mémoire de magister en biologie, Université de Ferhat Abbas Sétif*, 2006.
- [54] M. P. Fernández-Ronco, I. Gracia, A. De Lucas, et J. F. Rodríguez, « Extraction of *Capsicumannuum*Oleoresin by Maceration and Ultrasound-Assisted Extraction: Influence of Parameters and ProcessModeling », *J Food Process Engineering*, vol. 36, n° 3, p. 343-352, juin 2013, doi: 10.1111/j.1745-4530.2012.00702.x.
- [55] K. P. F. O. Koné, Y. Soro, et S. Siaka, « Détermination des paramètres influençant le rendement d'extraction hydro-alcoolique des métabolites secondaires de Alchorneacordifolia (Euphorbiaceae) et Tridaxprocumbenslinn (Asteraceae) », *Journal de la Société Ouest-Africaine de Chimie*, vol. 44, p. 15-22, 2017.
- [56] N. Lebovka, E. Vorobiev, et F. Chemat, Enhancing extraction processes in the food industry.

BIBLIOGRAPHIE

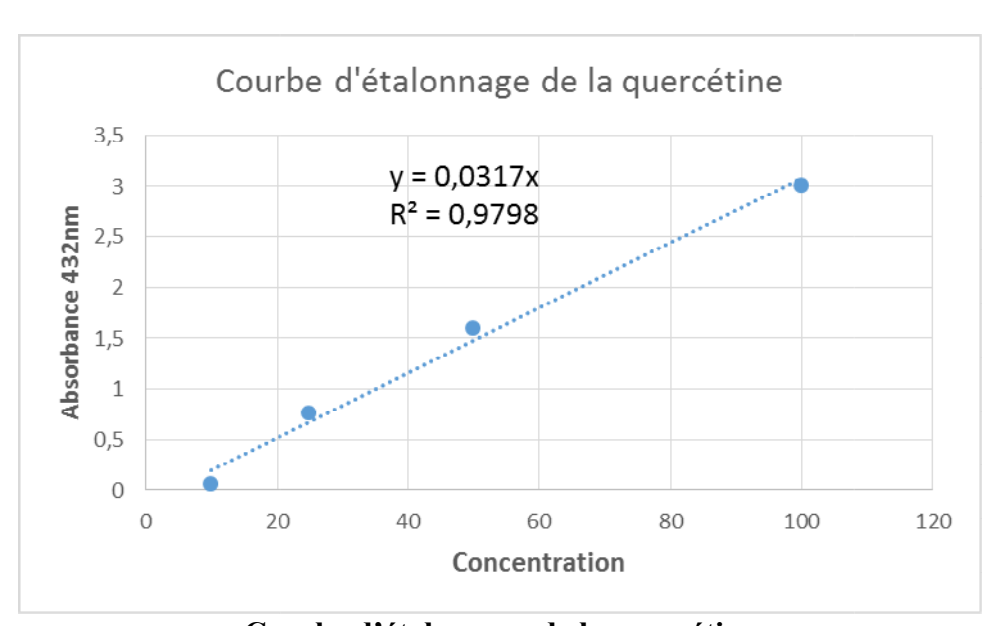
- CrcPress Boca Raton, 2012. Consulté le: 8 juillet 2024. [En ligne]. Disponible sur: https://api.taylorfrancis.com/content/books/mono/download?identifierName=doi&identifierValue=10.1201/b11241&type=googlepdf
- [57] A. Lamouri, « Evaluation of antioxidant and anti-inflammatory activities of Hypericumtomentosum L. leaves extracts », PhD Thesis, 2024. Consulté le: 6 juillet 2024. [En ligne]. Disponible sur: http://dspace.univ-setif.dz:8888/jspui/handle/123456789/4265
- [58] N. Amara et Y. Boughérara, « Activité Antimicrobienne de l'Huile Essentielle du Cyprès Vert (Cupressus sempervirens L.) », *Algerian Journal of Natural Products*, vol. 5, n° 2, p. 455-462, 2017.
- [59] « AFNOR. « Recueil de normes : les huiles essentielles. Tome 2. Monographies relatives aux huiles essentielles ». AFNOR, Paris, 2000, 661-663. 2. ANO ».
- [60] N. HAMMADI et A. DJEBAILI, « Activité antioxydante et anti-inflammatoire et toxicité et cytotoxicité d'une espèce du genre Asphodelus », 2022 2021.
- [61] A. A. O. DOUSSEN, « EVALUATION DE L'ACTIVITE ANTIBACTERIENNE ET ANTIFONGIQUE », Consulté le: 8 juillet 2024. [En ligne]. Disponible sur: https://www.researchgate.net/profile/Benmeddour-
- Tarek/publication/273885644_EVALUATION_DE_L'ACTIVITE_ANTIBACTERIENNE_ET_ANTIFON GIQUE_DES_EXTRAITS_DE_TROIS_ESPECES_DU_GENRE_Allium_A_cepa_fistulosum_ET_sativum _CULTUIVEES_DANS_LE_PERIMETRE_AGRICOLE_DE_DOUSSEN_WILAYA_DE_BISKRA/links/550f20e00cf21287416b02a5/EVALUATION-DE-LACTIVITE-ANTIBACTERIENNE-ET-
- ANTIFONGIQUE-DES-EXTRAITS-DE-TROIS-ESPECES-DU-GENRE-Allium-A-cepa-fistulosum-ET-sativum-CULTUIVEES-DANS-LE-PERIMETRE-AGRICOLE-DE-DOUSSEN-WILAYA-DE-BISKRA.pdf
- [62] D. Desplan, « Caractérisation rhéologique multi-échelle des émulsions cosmétiques pour leur stabilité et leur conservation », PhD Thesis, Université de Cergy Pontoise, 2018. Consulté le: 1 juillet 2024. [En ligne]. Disponible sur: https://theses.hal.science/tel-02284431/
- [63] L. CAULLET, A. Dos Santos, G. Knipper, M. Rusalen, et M. Seigneur, « Les émulsions alimentaires et cosmétiques », *Projet Professionnel*, vol. 2018, p. 1-50, 2017.

ANNEXES

ANNEXE 1

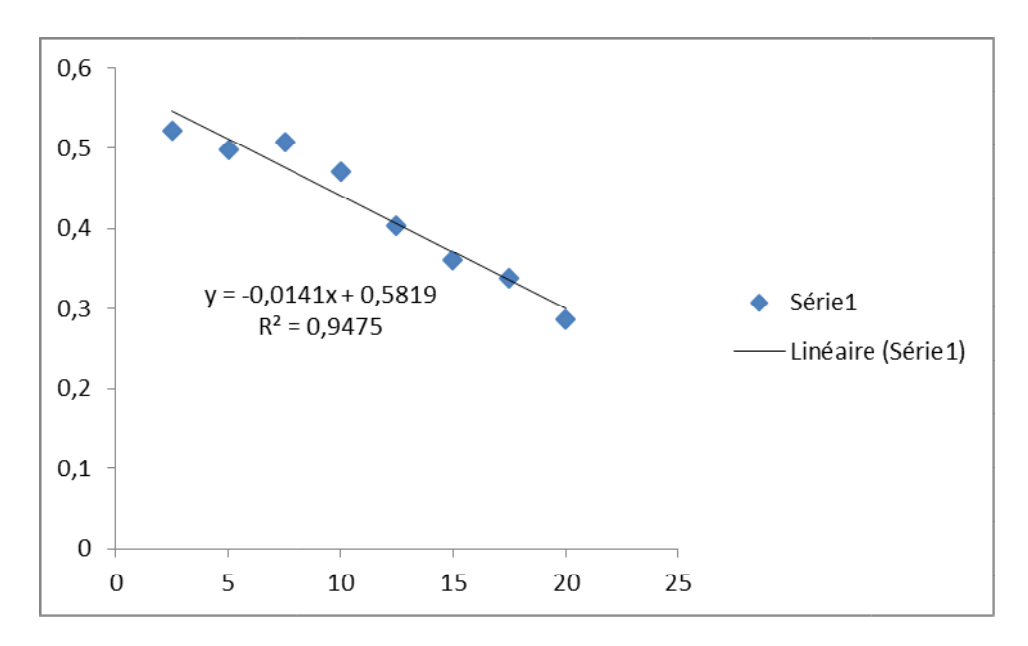


Courbe d'étalonnage de l'acide gallique

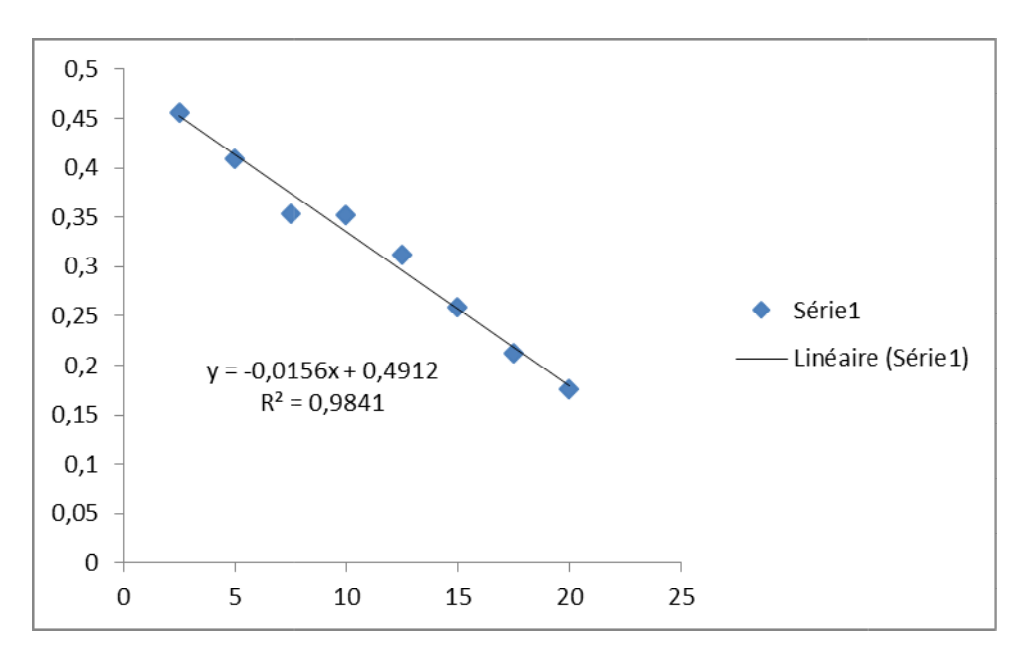


Courbe d'étalonnage de la quercétine

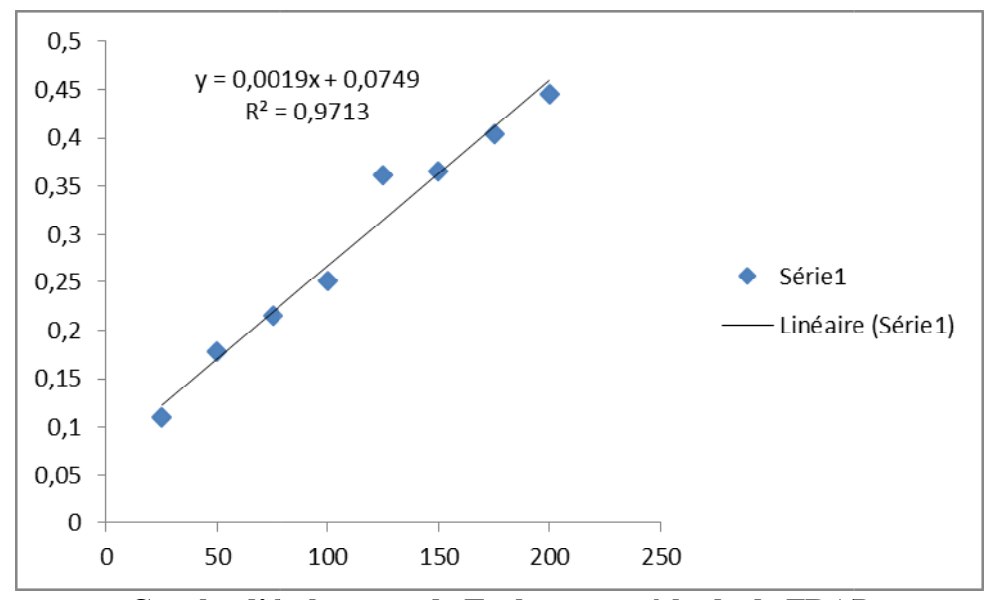
*



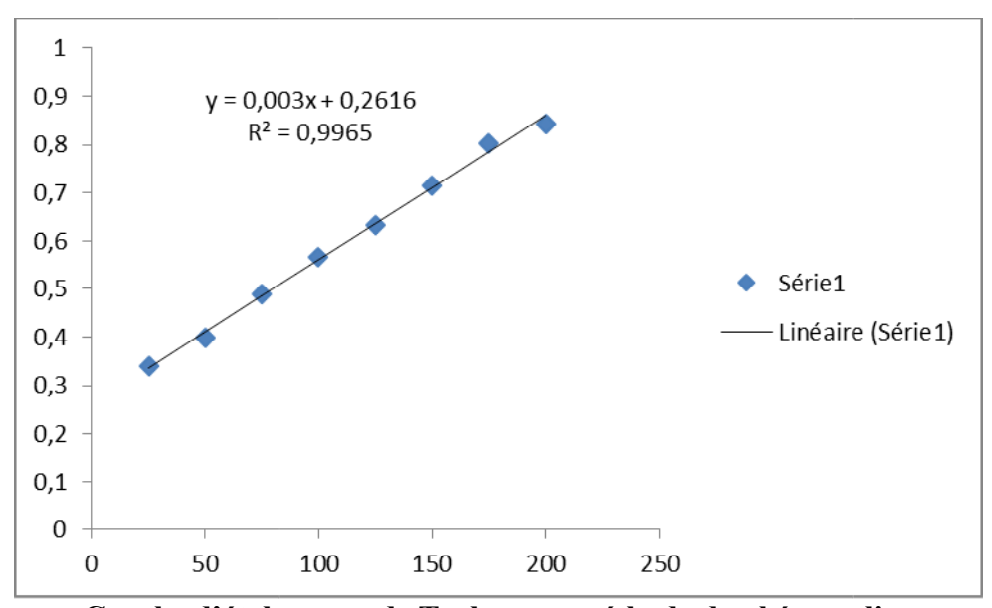
Courbe d'étalonnage de Trolox par méthode de DPPH



Courbe d'étalonnage de Trolox par méthode d'ABTS

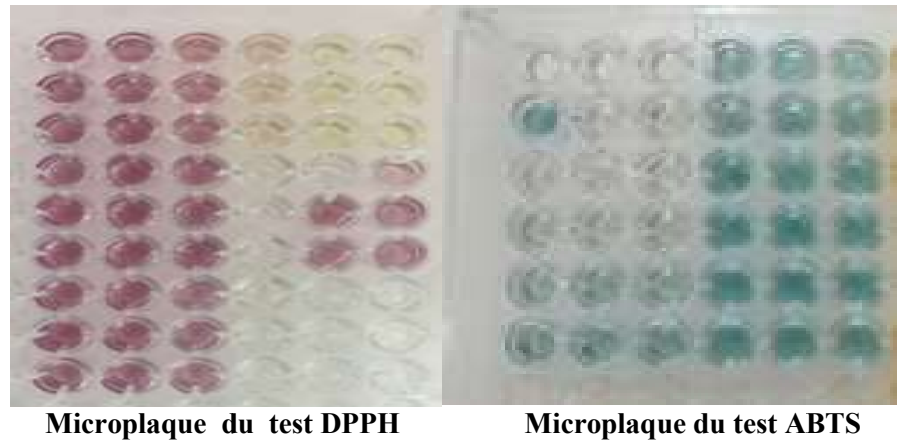


Courbe d'étalonnage de Trolox par méthode de FRAP



Courbe d'étalonnage de Trolox par méthode de phénotroline

ANNEXE 3



Microplaque du test DPPH

Microplaque du test ABTS

Microplaque du test Phenanthroline Mic

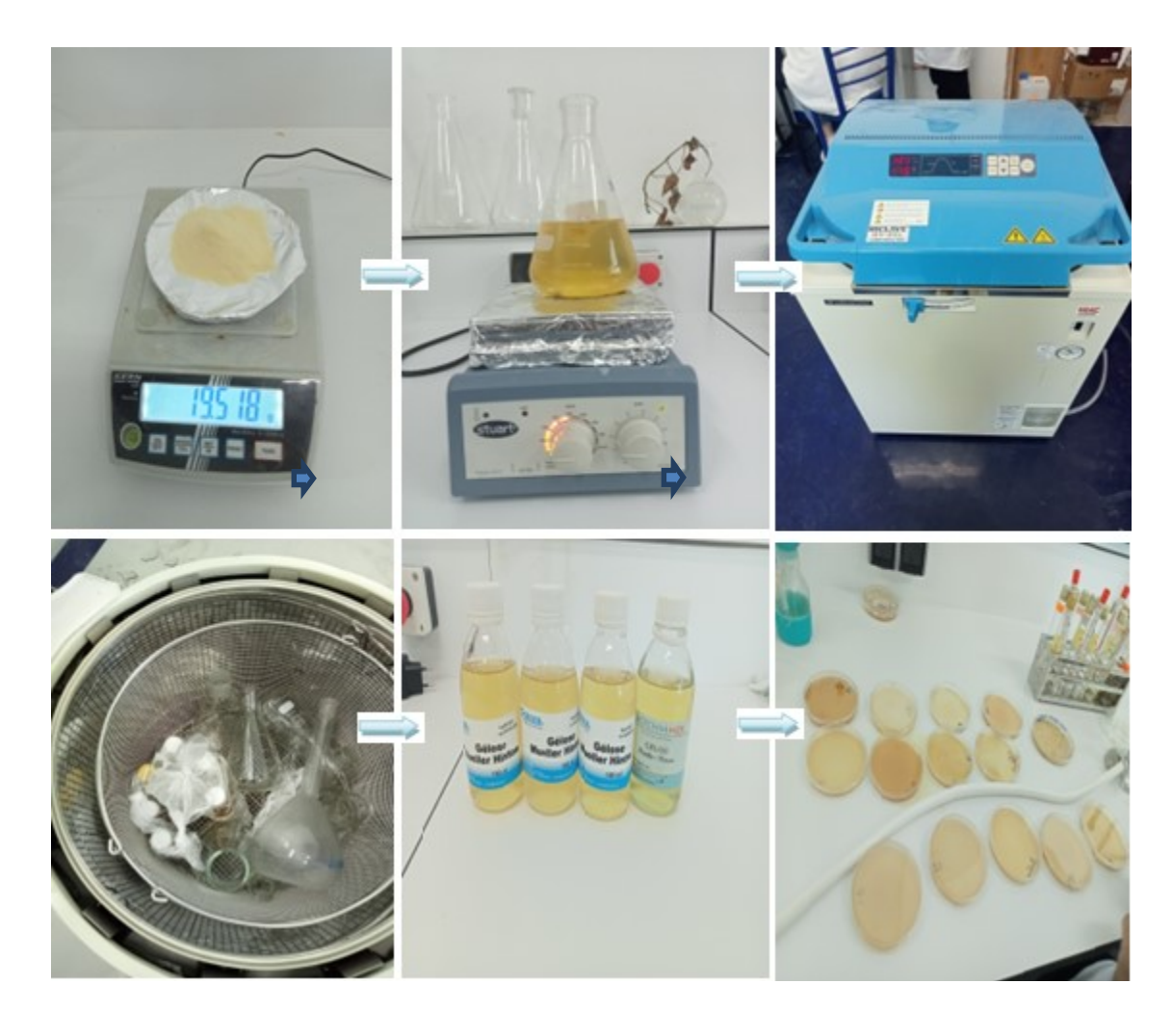
Microplaque du test FRAP

ANNEXE 4

Protocole de préparation des milieux de cultures

1) Milieu de culture Miller-Hinton

- Diluer 3,5 g de poudre de Miller-Hinton à 150 ml d'eau distillée.
- Agiter et chauffer le mélanger jusqu'à ce qu'elle soit complètement dissoute et claire.
- Placer la solution dans un autoclave et stériliser à 121°C pendant 15 minutes.
- Distribuer le milieu dans des flacons et les mettre dans l'Autoclave pour une stérilisation à 121°C pendant 20 min.



2) préparation milieu de culture (PDA)

- Mettre les petits morceaux la pomme de terre dans l'eau distille (360ml) et Chauffer sur une plaque chauffante jusqu'à l'ébullition (100°c).
- Filtrer pour récupérer le jus de pomme de terre En goute la quantité de glucose (9g) et d'Agar (9g) avec Agitation jusqu'a homogénéisation du milieu.

- Verser le mélange dans une éprouvette graduée. puis ajuster le volume jusqu'a 450ml par l'eau distille.
- Placer le volume (milieu) sur un agitateur chauffant Jusqu'à le début d'ébullition.
- Distribuer le milieu dans des flacons et les mettre dans l'Autoclave pour une stérilisation à 121°C pendant 20 min.



ANNEXE 5
TABLE DE STUDENT BILATERAL

		Risque 5 %	Confiance 95 %			
	DDL	t(crit)	t(crit)			
	1	12,70	63,66			
	2	4,30	9,93			
	3	3,18	5,84			
	4	2,78	4,60			
	5	2,57	4,03			
	6	2,45	3,71			
	7	2,37	3,50			
	8	2,31	3,36			
	9	2,26	3,25			
	10	2,23	3,17			
	11	2,20	3,11			
	12	2,18	3,06			
	13	2,16	3,01			
	14	2,15	2,98			
	15	2,13	3,95			
9	16	2,12	2,92			
	17	2,11	2,90			
	18	2,10	2,98			
	19	2,09	2,86			
	20	2,08	2,85			

ANNEXE 6
TABLE DE FISCHER - SNEDECOR

IB A	1	2	3	4	5	6	7	8	9
1	161,4	199.5	215,7	224.6	230,2	234,0	236,8	238,9	240,5
2	18,51	19.00	19,16	19.25	19,30	19,33	19,35	19,37	19,38
3	10,13	9.55	9,28	9.12	9,01	8,94	8,89	8,85	8,81
4	7,71	6.94	6,59	6,39	6,26	6,16	6,09	6,04	6,00
5	6,61	5,79	5,41	5,19	5,05	4,95	4,88	4,82	4,77
6	5,99	5,14	4,76	4,53	4,39	4,28	4,21	4,15	4,10
7	5,59	4,74	4,35	4,12	3,97	3,87	3,79	3,73	3,68
8	5,32	4,46	4,07	3,84	3,69	3,58	3,50	3,44	3,39
9	5,12	4,26	3,86	3,63	3,48	3,37	3,29	3,23	3,18
10	4,96	4,10	3,71	3,48	3,33	3,22	3,14	3,07	3,02
11	4,84	3,98	3,59	3,36	3,20	3,09	3,01	2,95	2,90
12	4,75	3,89	3,49	3,26	3,11	3,00	2,91	2,85	2,80
13	4,67	3,81	3,41	3,18	3,03	2,92	2,83	2,77	2,71
14	4,60	3,74	3,34	3,11	2,96	2,85	2,76	2,70	2,65
15	4,54	3,68	3,29	3,06	2,90	2,79	2,71	2,64	2,59
16	4,49	3,63	3,24	3,01	2,85	2,74	2,66	2,59	2,54
17	4,45	3,59	3,20	2,96	2,81	2,70	2,61	2,55	2,49
18	4,41	3,55	3,16	2,93	2,77	2,66	2,58	2,51	2,46
19	4,38	3,52	3,13	2,90	2,74	2,63	2,54	2,48	2,42
20	4,35	3,49	3,10	2,87	2,71	2,60	2,51	2,45	2,39
21	4,32	3,47	3,07	2,84	2,68	2,57	2,49	2,42	2,37
22	4,30	3,44	3,05	2,82	2,66	2,55	2,46	2,40	2,34
23	4,28	3,42	3,03	2,80	2,64	2,53	2,44	2,37	2,32
24	4,26	3,40	3,01	2,78	2,62	2,51	2,42	2,36	2,30
25	4,24	3.39	2,99	2,76	2,60	2,49	2,40	2,34	2,28
26	4,23	3.37	2,98	2,74	2,59	2,47	2,39	2,32	2,27
27	4,21	3.35	2,96	2,73	2,57	2,46	2,37	2,31	2,25
28	4,20	3.34	2,95	2,71	2,56	2,45	2,36	2,29	2,24
29	4,18	3.33	2,93	2,70	2,55	2,43	2,35	2,28	2,22
30	4,17	3,32	2,92	2,69	2,53	2,42	2,33	2,27	2,21
40	4,08	3,23	2,84	2,61	2,45	2,34	2,25	2,18	2,12
60	4,00	3,15	2,76	2,53	2,37	2,25	2,17	2,10	2,04
120	3,92	3,07	2,68	2,45	2,29	2,17	2,09	2,02	1,96
∞	3,84	3,00	2,60	2,37	2,21	2,10	2,01	1,94	1,88

Résumé

L'objectif de ce travail est la formulation d'une crème à base d'extraits obtenus par deux méthodes (macération et hydrodistilation) pour utilisation parapharmaceutique. Deux plantes ont été étudiées à savoir : la cardoncelle bleue (*Carthamus caeruleus L.*) et le cyprès (*Cupressus semprevirens L.*). Le travail est réparti en quatre parties. La première a porté sur l'optimisation de la macération par plan Box Behnken et l'extraction par macération et hydrodistillation. La deuxième sur l'étude de la cytotoxicité et l'activité antimicrobienne, antifongique, et antioxydante des différents extraits et les huiles essentielles (HEs). Enfin, la troisième et la quatrième parties ont porté sur le développement des crèmes, leur caractérisation ainsi que l'étude de l'activité anti-brûlure et cicatrisante *In vivo*. Les résultats montrent que la crème préparée exerce un potentiel antioxydant, antimicrobien, anti-brûlure et cicatrisant très élevés par rapports aux standards.

Mots clés :Cardoncelle bleu, Cyprès, Antioxydant, Antimicrobien, Anti-brûlure, Cicatrisant, Crème.

الملخص

الهدف من هذا العمل هو تكوين كريم يعتمد على المستخلصات التي تم الحصول عليها بطريقتين (النقع والتقطير المائي) للاستخدام شبه الصيدلاني. تمت دراسة نباتين هما: القرطم الأزرق (.Carthamus caeruleus L.) و السرو (Cupressus semprevirens L.). وينقسم العمل إلى أربعة أجزاء. ركز الأول على تحسين النقع عن طريق خطة Box المضاد Behnken والاستخلاص عن طريق النقع والتقطير المائي. والثاني حول دراسة السمية الخلوية والنشاط المضاد الميكروبات والفطريات ومضادات الأكسدة للمستخلصات المختلفة و الزيوت الأساسية (HEs). و أخيراً، ركز الجزءان الثالث والرابع على تطور الكريمات وتوصيفها بالإضافة إلى دراسة نشاطها المضاد للحروق وللجروح في الجسم الحي In أميكروبات، المجروق والجروح مقارنة بالمعايير.

الكلمات المفتاحية: القرطم الأزرق، السرو، مضاد الأكسدة، مضاد للميكروبات،مضاد الحروق، لأئم للجروح، كريم.

Abstract

The objective of this work is the formulation of a cream based on extracts obtained by two methods (maceration and hydrodistillation) for parapharmaceutical use. Two plants were studied, namely: blue cardoncell (*Carthamus caeruleus L.*) and Cypress (*Cupressus semprevirens L.*). The work is divided into four parts. The first focused on the optimization of maceration by Box Behnken plan and extraction by maceration and hydrodistillation. The second on the study of the cytotoxicity and the antimicrobial, antifungal, and antioxidant activity of the different extracts and essential oils (HEs). Finally, the third and fourth parts focused on the development of creams, their characterization as well as the study of the antiburn and healing activity *In vivo*. The results show that the prepared cream has very high antioxidant, antimicrobial, anti-burn and healing potential compared to standards. **Key words:**Blue cardoncella, Cypress, Antioxidant, Antimicrobial, Anti-burn, Healing, Cream.